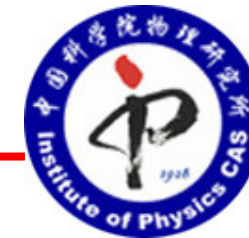


北京大学物理学院 - 2016, 11, 22



# 超快激光光谱方法的发展及其在天然 及人工光合体系中的应用研究

中国科学院物理研究所

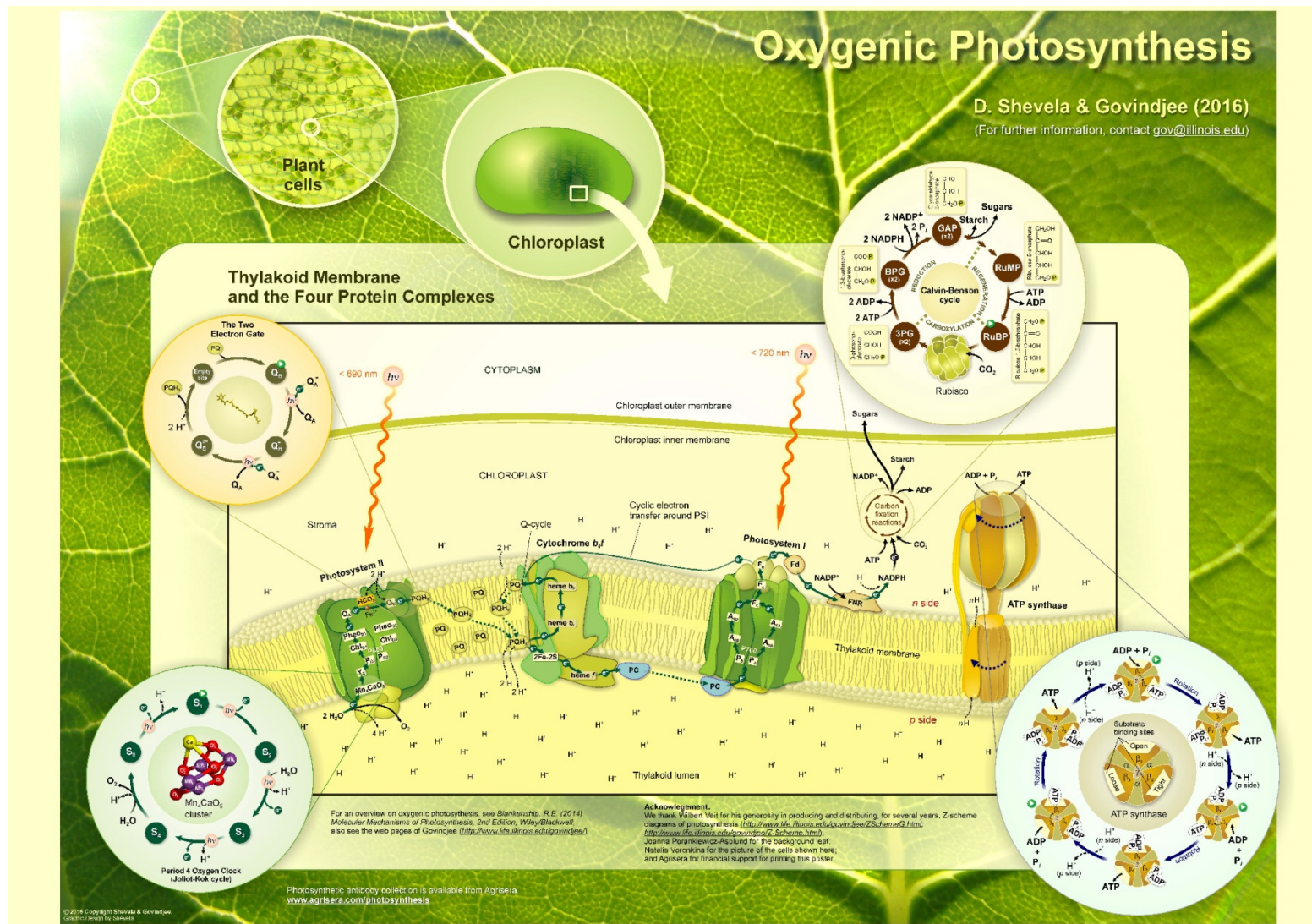
软物质院重点实验室

翁羽翔

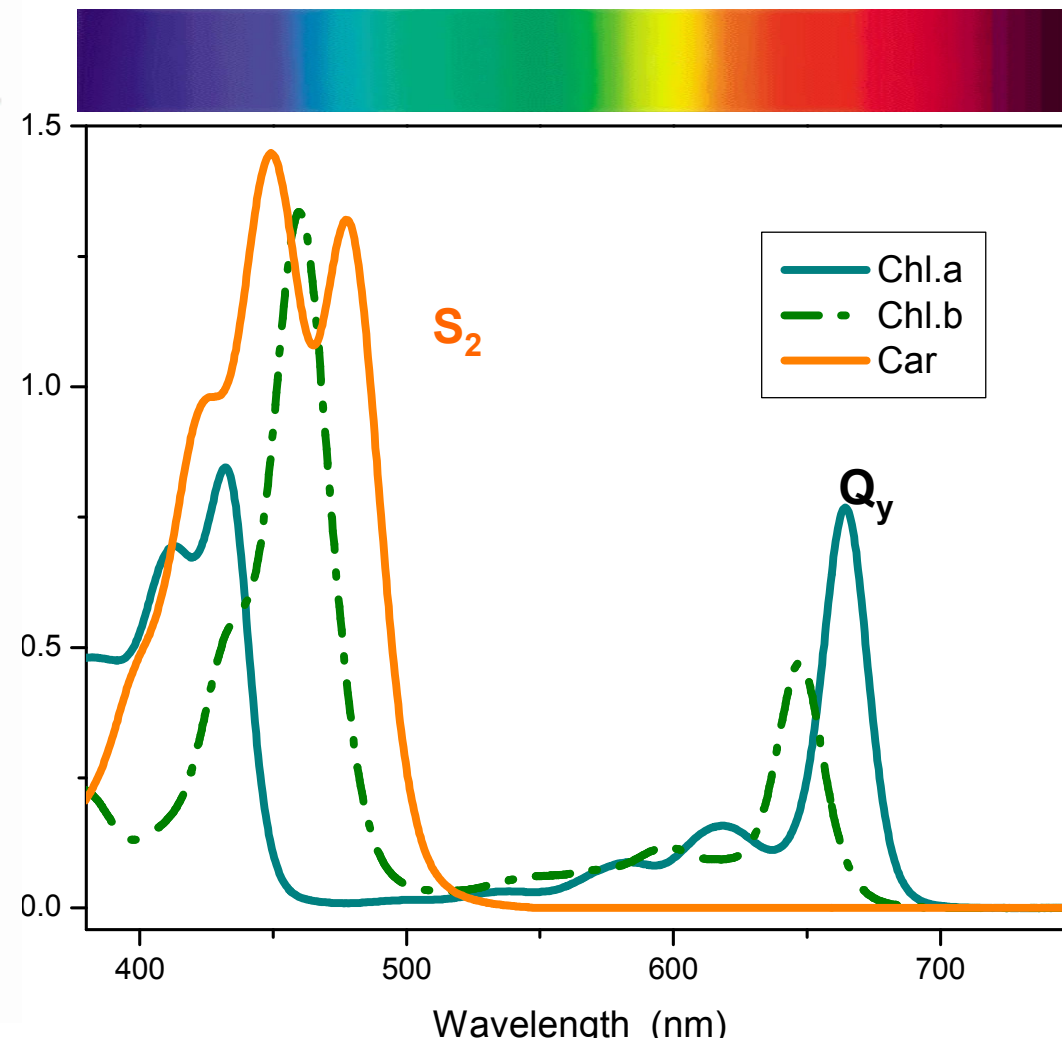
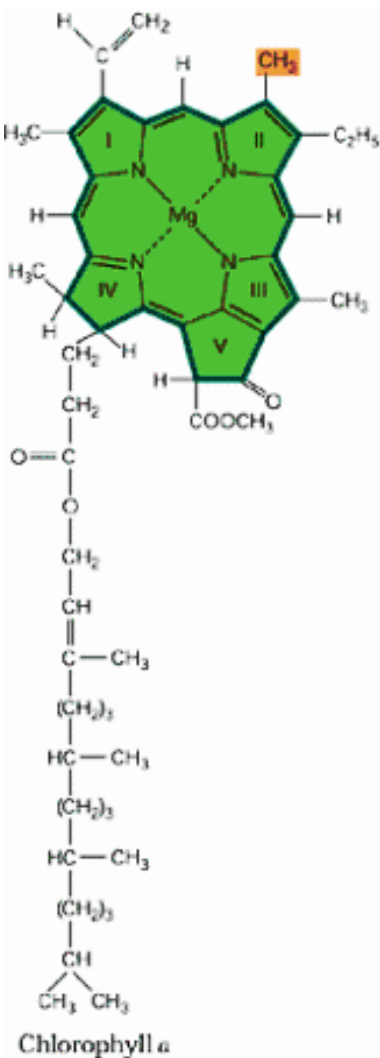
<http://sm06.iphy.ac.cn>

[yxweng@aphy.iphy.ac.cn](mailto:yxweng@aphy.iphy.ac.cn)

# 光合作用



# 光合作用色素分子



Herbert van  
Amerongen

Laboratory of  
Biophysics  
Wageningen

# 类胡萝卜素分子 Carotenoids

Lutein 叶黄素

Neoxanthin 新叶黄素

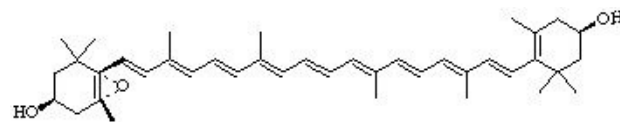
Violaxanthin 紫黄素, 茄菜黄素

Zeaxanthin 玉米黄素

Xanthin 花黄素

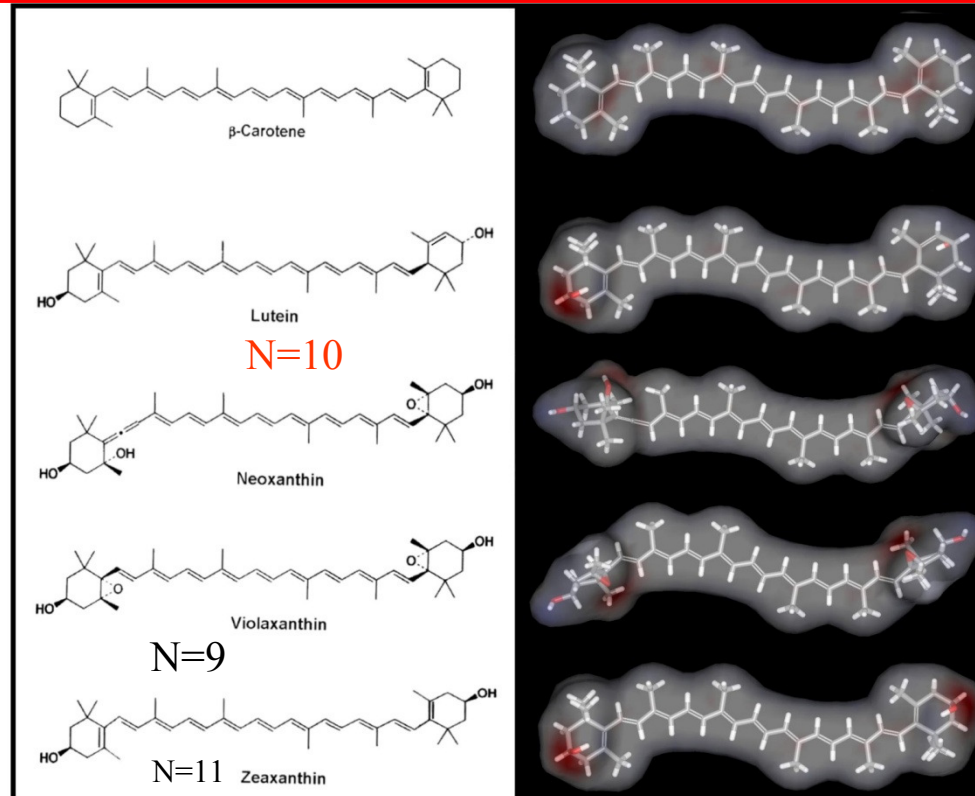
Xanthophyll 叶黄素, 胡萝卜醇

Antheraxanthin 环氧玉米黄质



Lumen 腔

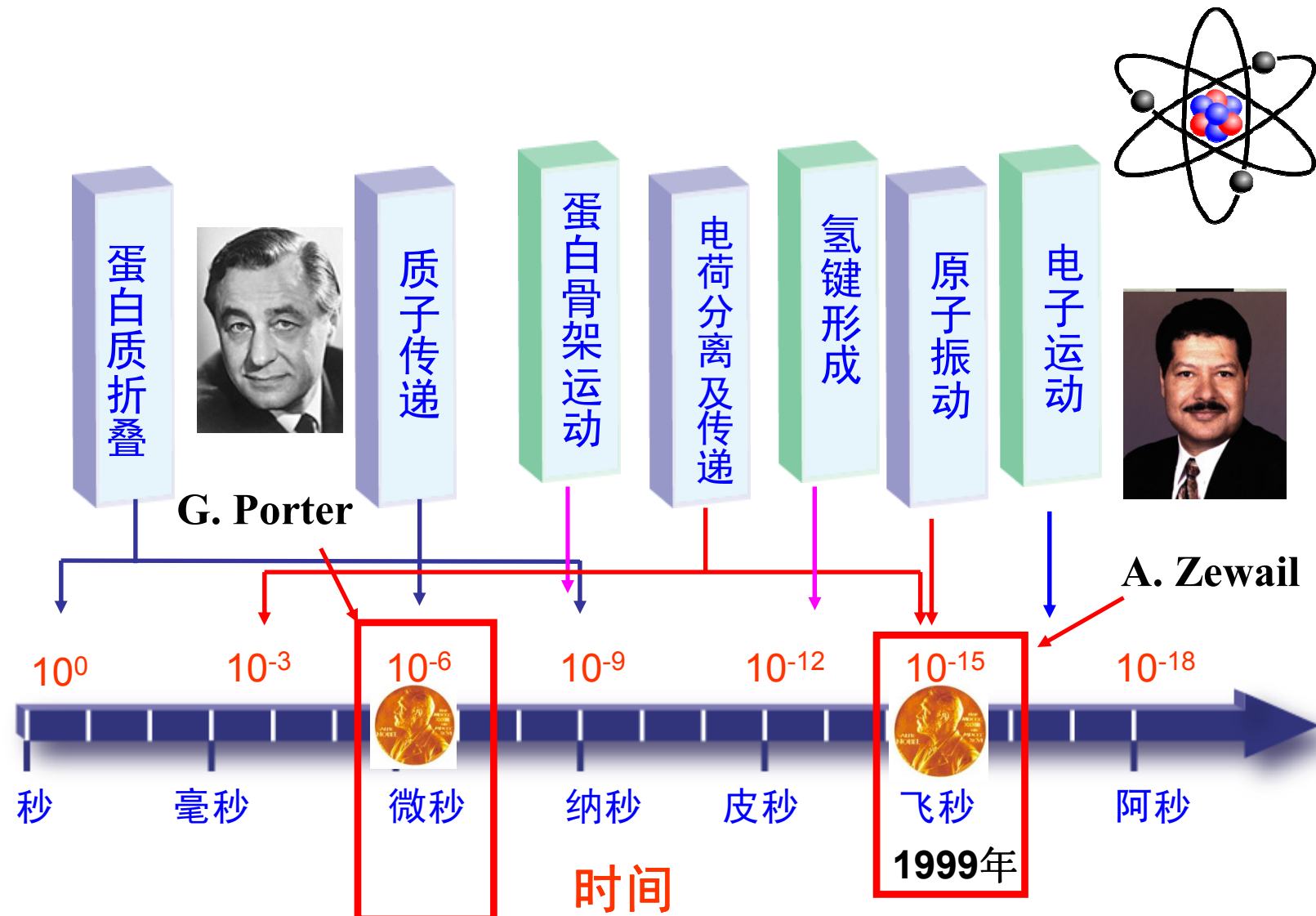
Stroma 基质



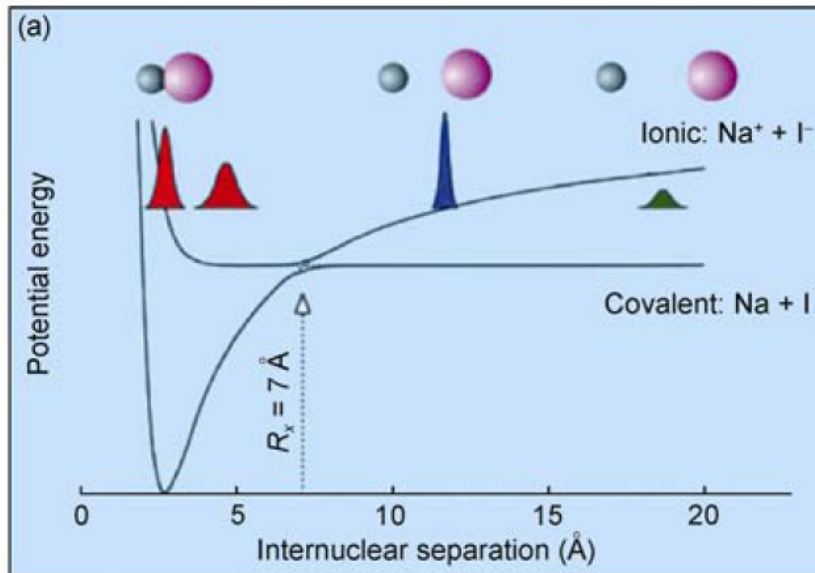
The group of xanthophylls includes lutein, zeaxanthin, , violaxanthin, and  $\alpha$  - and  $\beta$  - cryptoxanthin



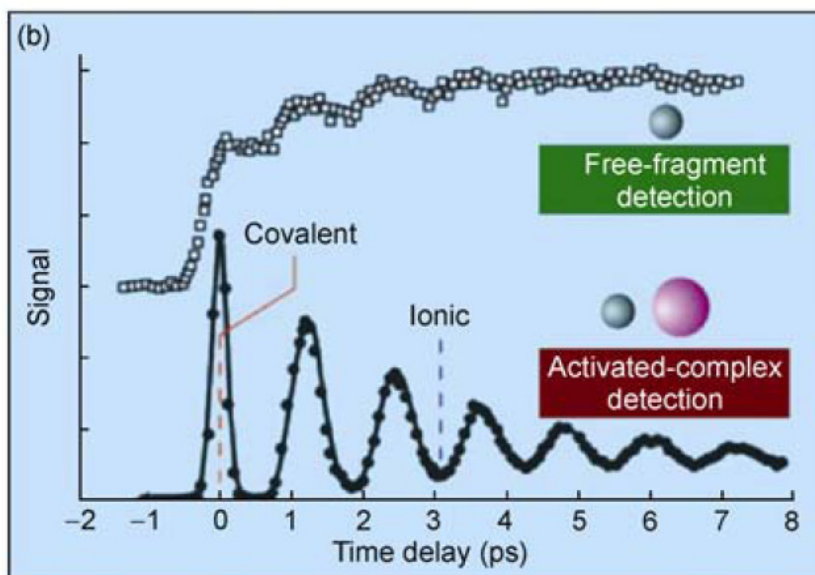
# 光 研究 物理 学



# Zewail组应用超快光谱对化学键断裂过程的实时观测

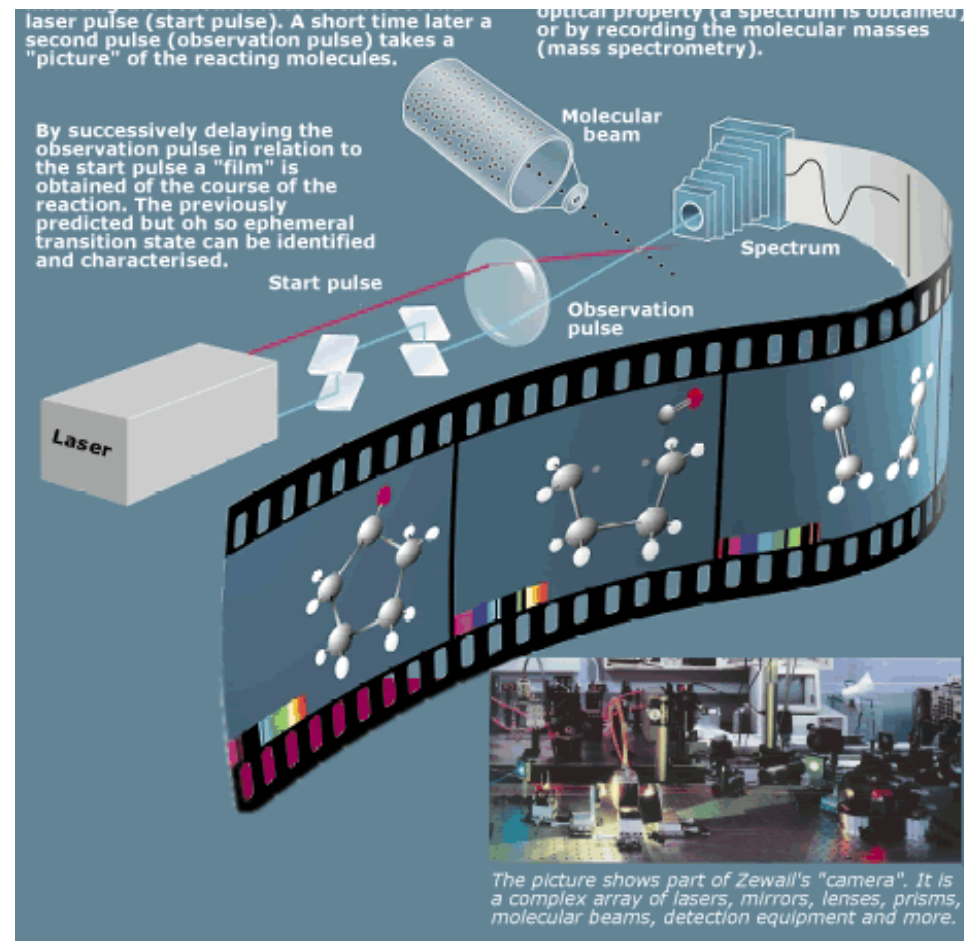


2016,8,2逝世



# Zewail: 学 实时

---

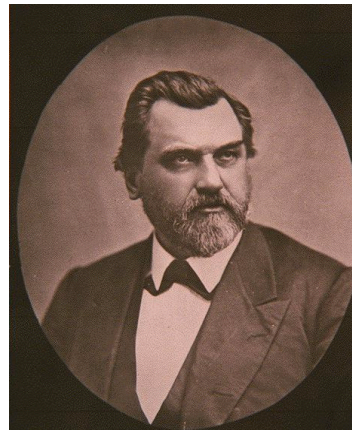


# 光 时间

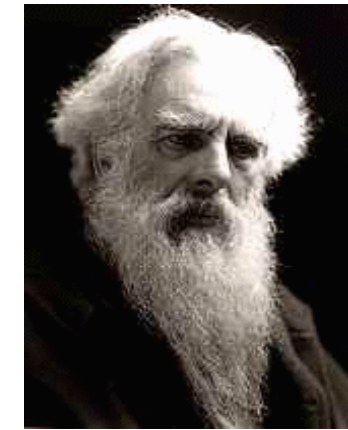
---



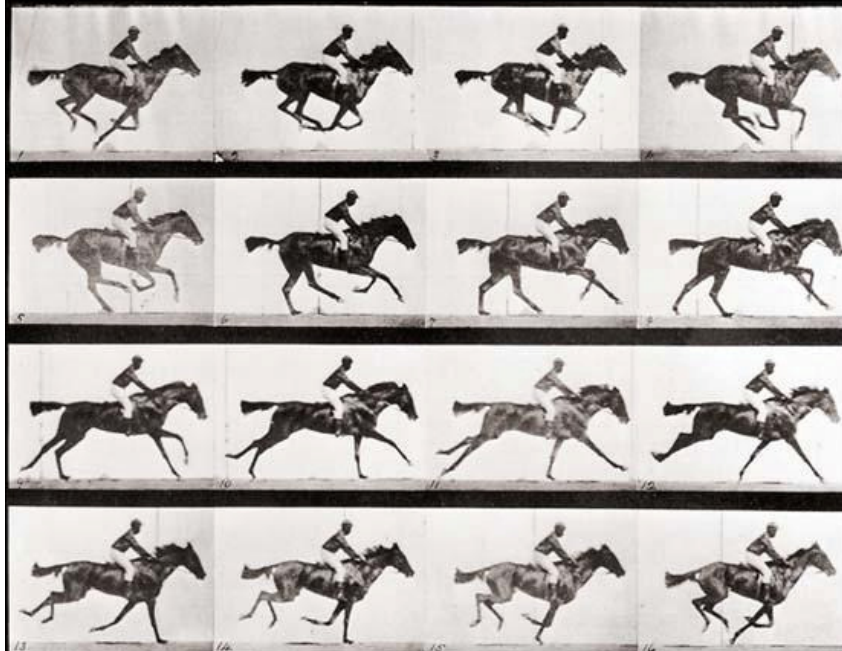
赌：  
马飞奔的时候  
四腿是否同时离地？



Leland Stanford

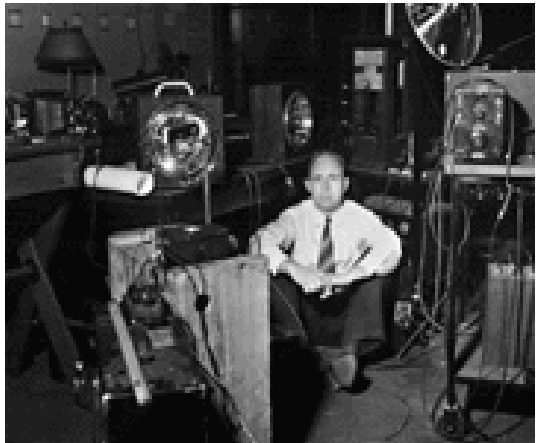


Eadweard Muybridge



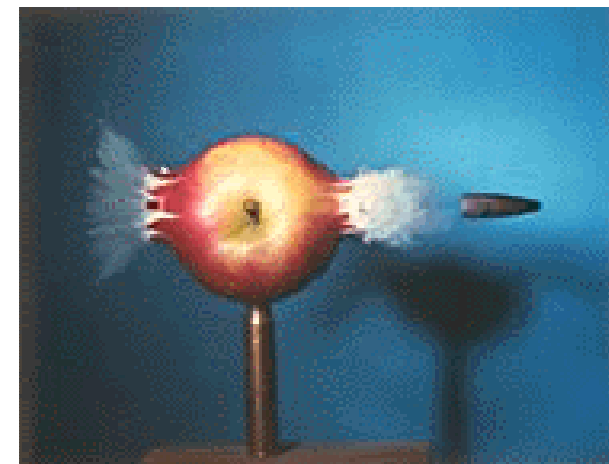
The “Galloping Horse”  
Controversy  
Palo Alto, CA 1872

Time resolution:  
1/60th of a second



“How to Make  
Apple sauce  
at MIT”  
1964

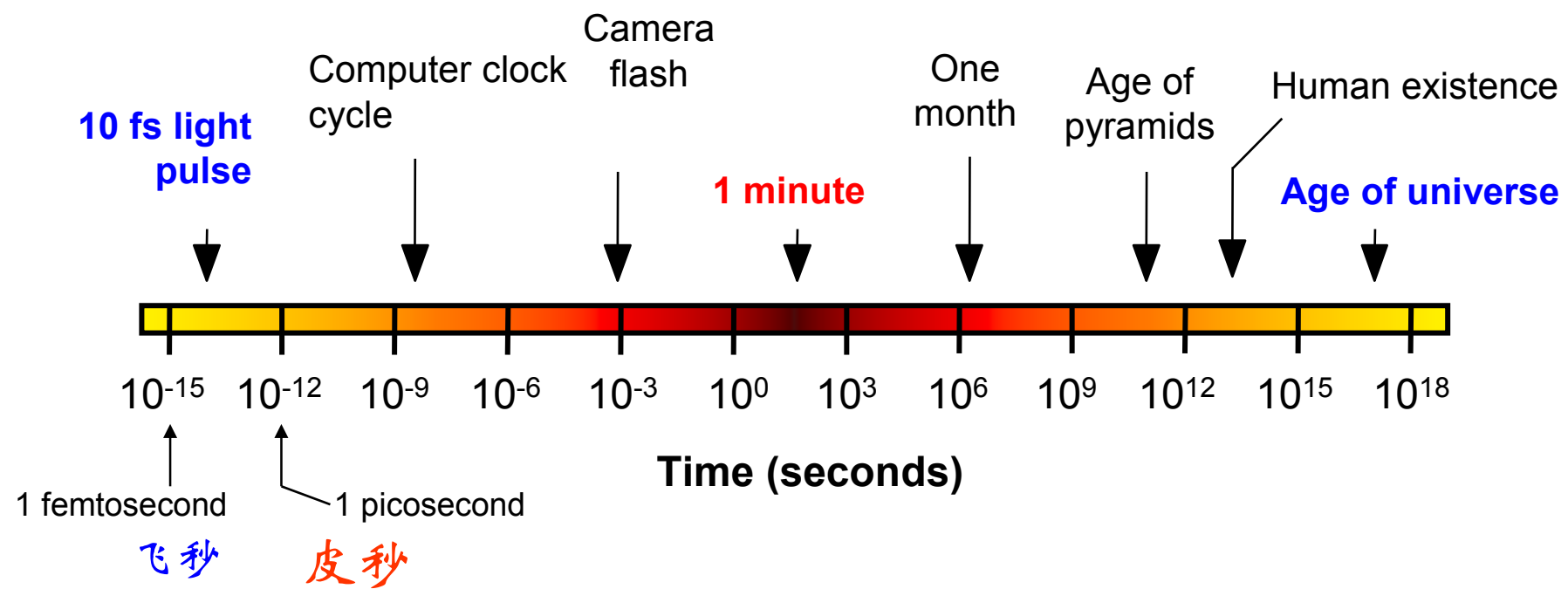
Harold  
Edgerton  
MIT, 1942



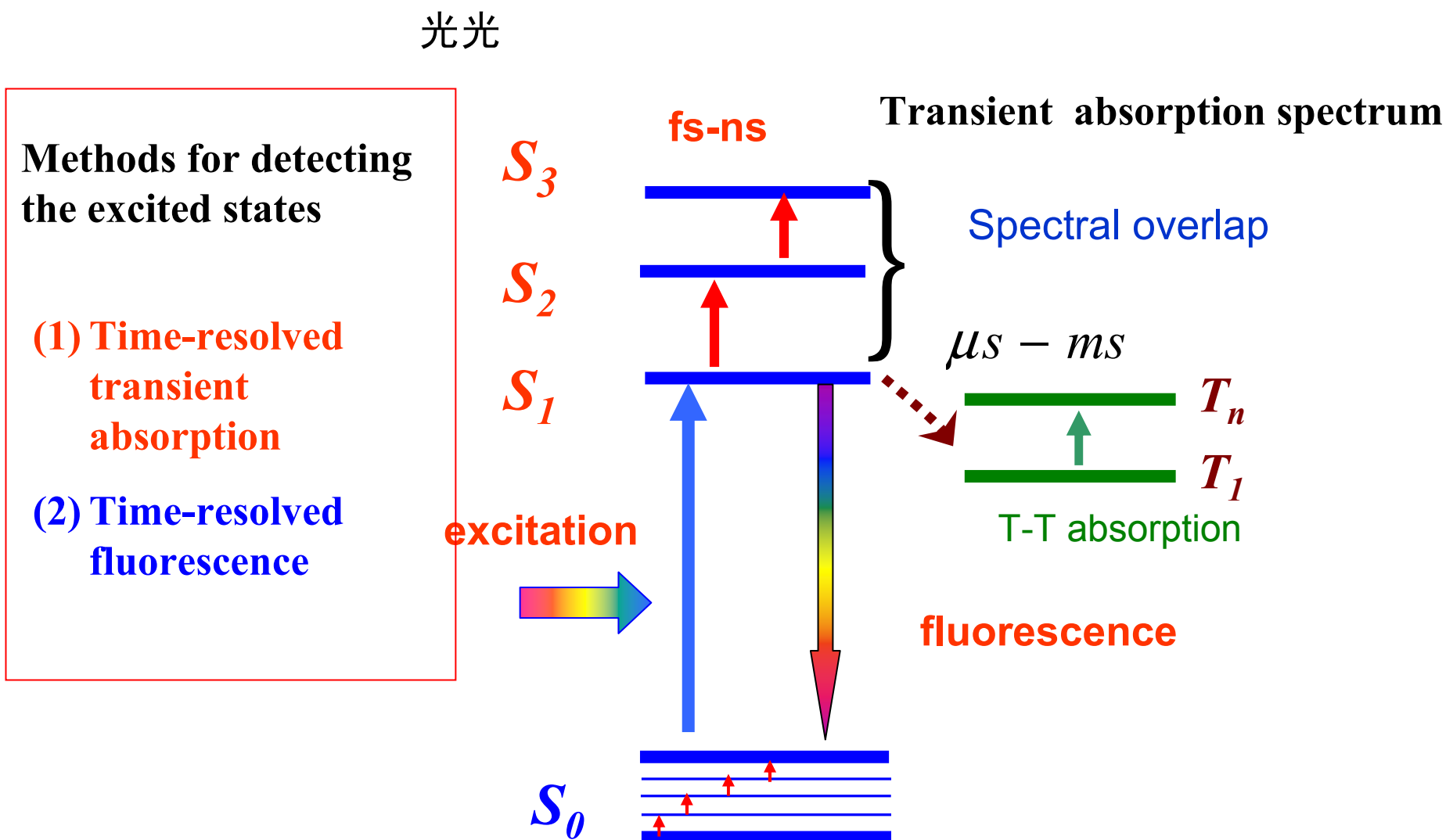
“Splash on a  
Glass”  
Junior High  
School  
student  
1996

时间分辨率：数微秒

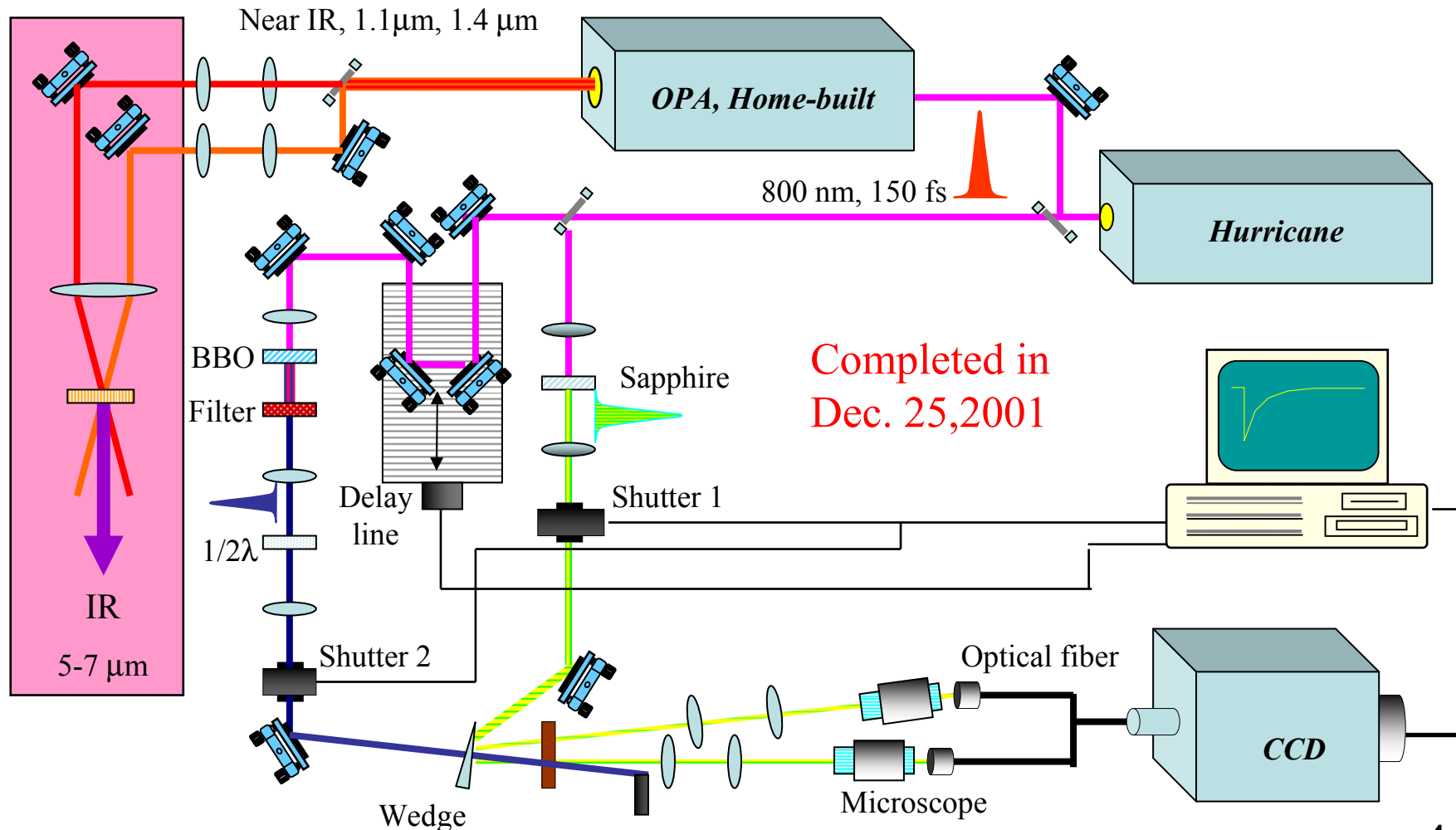
# 时间



# 超快时间分辨瞬态荧光光谱与瞬态吸收光谱



# 飞秒光



# 飞秒 光光 研究

---



150 fs Laser

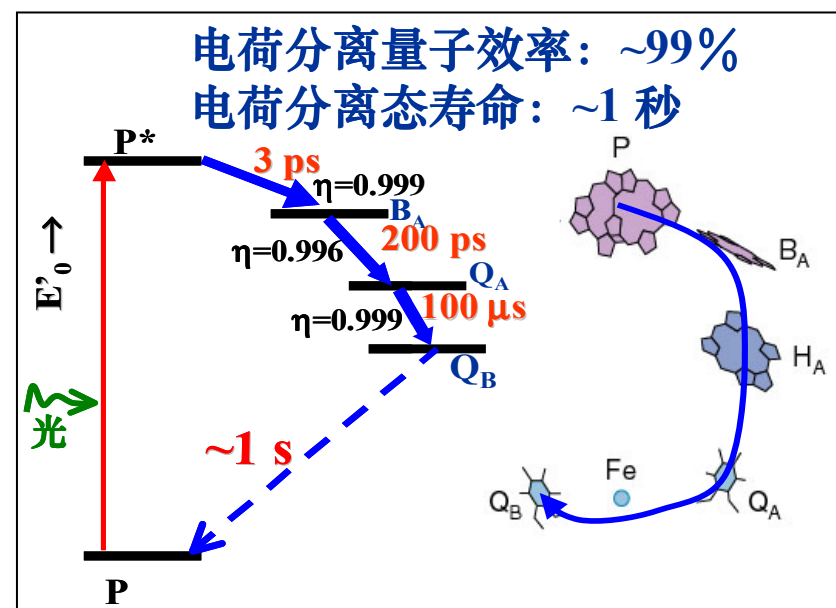
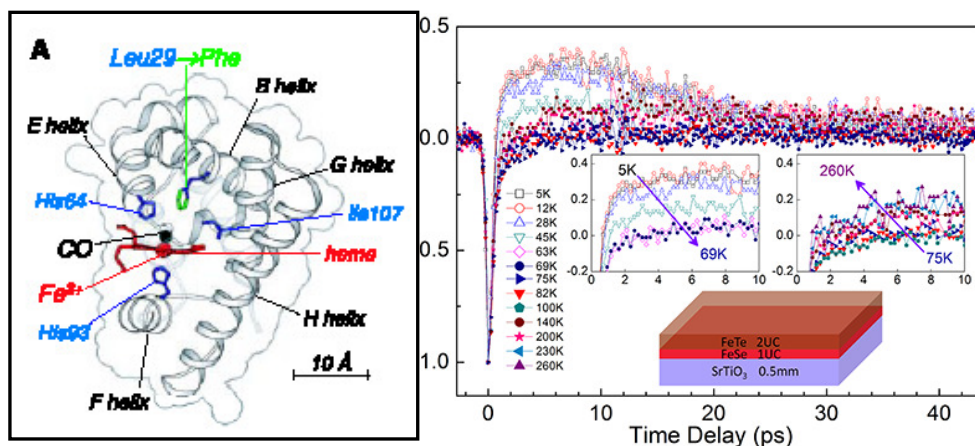
# 研究

飞秒生物：光合作用原初能量传递及电荷分离过程；蛋白质动态结构

飞秒物理：超导机制，自旋电子学

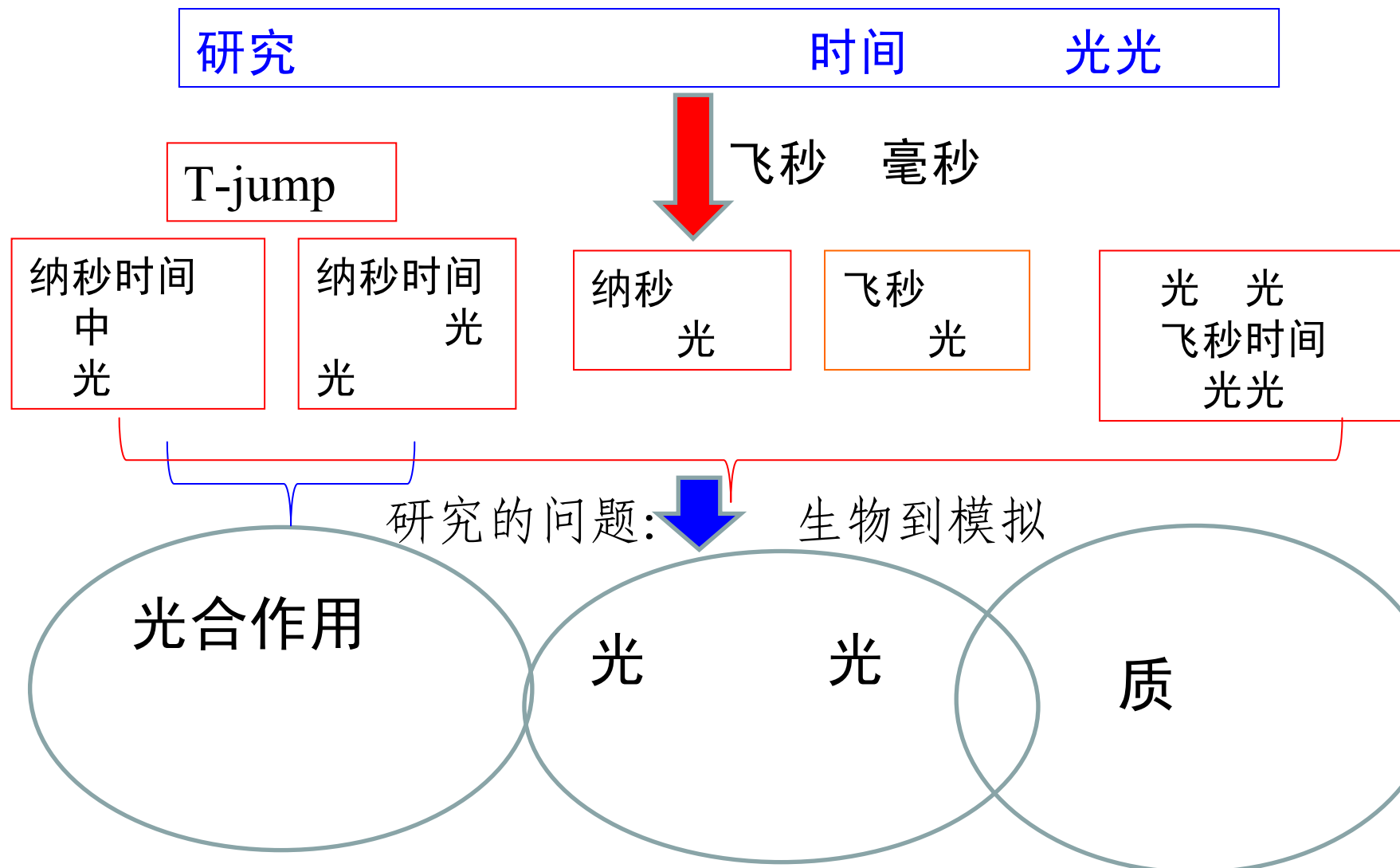
飞秒化学：化学反应，界面过程

飞秒材料：光伏材料，光催化材料



# 时间 物 研究 物理 学

---



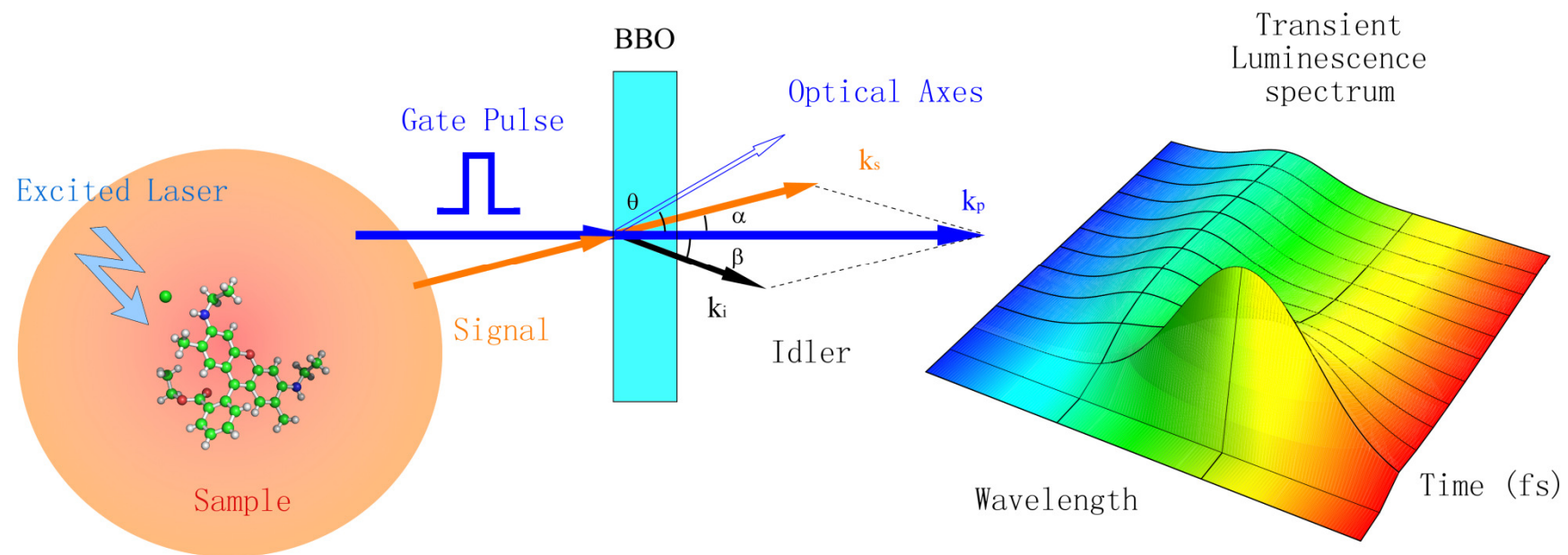
# 用

---

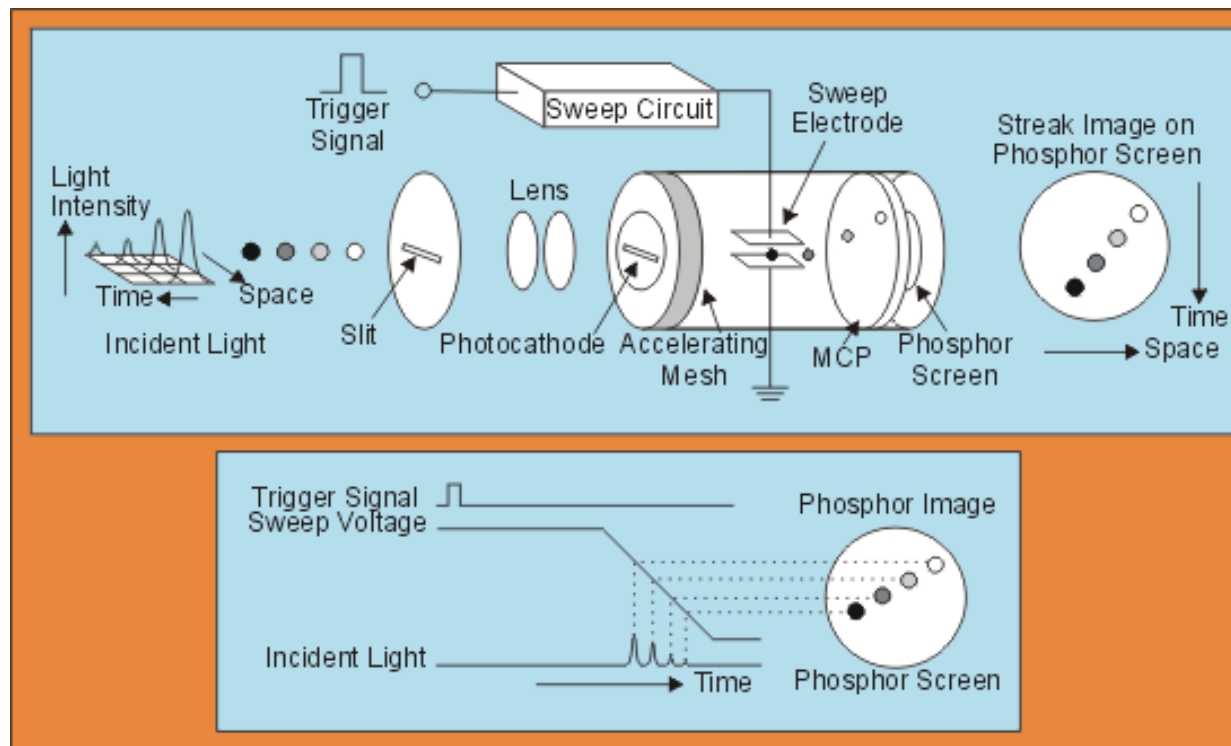
光 光 光 飞秒时间 光  
光 飞秒时间 中 — 光  
时间 中

# (1) 光光光用 飞秒时间

---

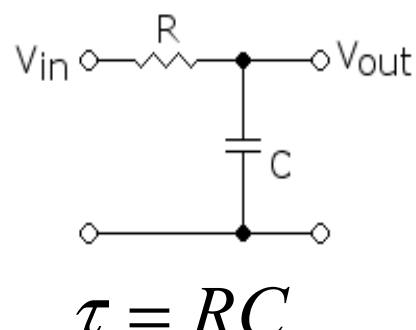


# 超快时间分辨荧光光谱商用设备：条纹相机工作原理



光电子的空间偏折

Hamamatsu,  
Japan



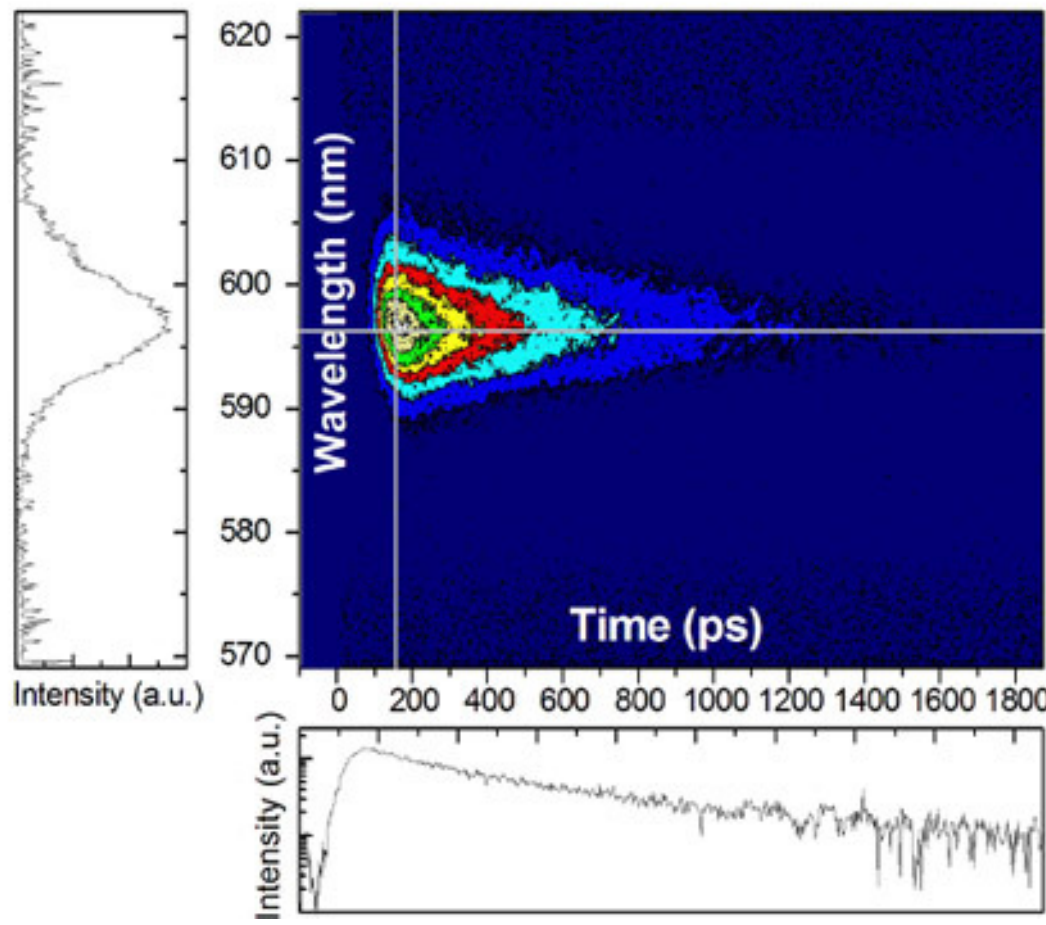
Advantages: Broad band spectrum, large temporal region

Very high photon to electron gain ( $10^8$ )

时间分辨率约 1 ps

# 时间 光 实

---

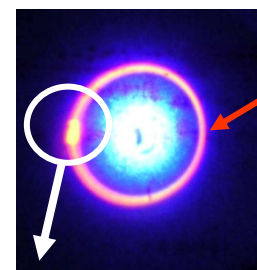
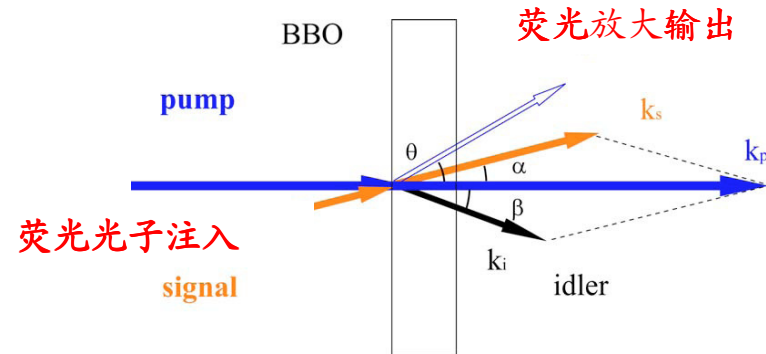


光 光 光

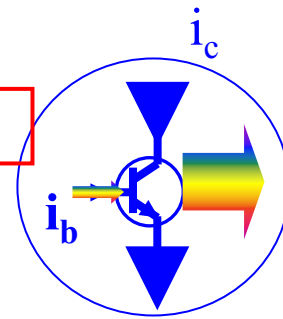
飞秒时间

光光

传统光测量方法（条纹相机）：光子→电子→电子学放大：时间分辨极限 1-2ps  
我们的方法：光子→光子放大：时间分辨率：小于1飞秒



荧光被放大 $10^6$ 倍！



BBO 晶体光学放大

超短光脉冲门采样

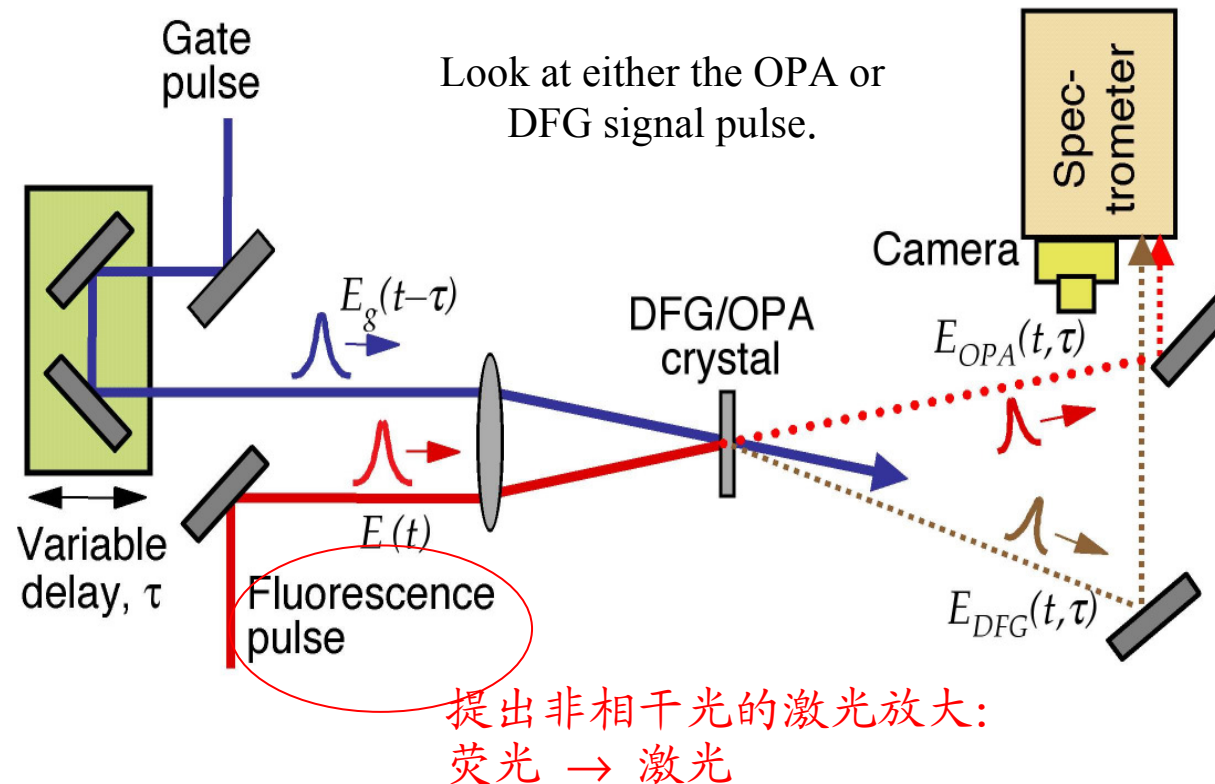
- (1) Chen; et al., *APL*. 2006, 89 , 061127 ;
- (2) Han; et al., *JOSA B* 2007, 24, 1633-1638;
- (3) Han; et al., *APL* 2008, 92 , 032102.
- (4) Han; et al., *APL* 2008, 92, 151109.
- (5) Weng.; et al., *JOSA B* 2008, 25, 1627-1631.
- (6) Chen.; et al., *JOSA B* 2009, 26 ,1627-1634;

- (7) Chen; et al., *Chin. J. Chem. Phys.* 2011, 24, 253-255;
- (9) Chen; et al., *Photosynthesis Res.* 2012, 111, 81-86;
- (10) Dang; et al., *Rev. Scientific Instr.* 2013, 84 (7) 073105
- (11) Liao; et al., *J. Mater. Chem. C* 2014, 2 (15), 2773-2778;
- (12 ) Mao; et al., *d. Rev. Scientific Instr.* 2015, 86,123113.

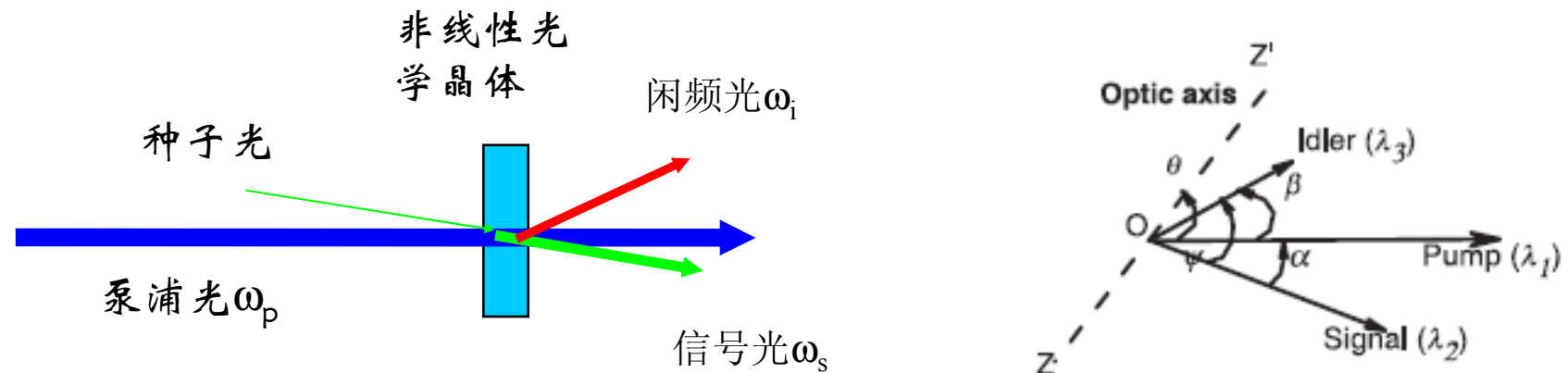
# 2003年张景园教授等首次提出用OPA光放大测量荧光

Optical Express, 11 (6) 601-609, 2003

种子光的能量为阿焦量级



## 非共线光参量放大 (Nonecolinear Optical Parametric Amplifier,NOPA) : 光-光放大原理简图



参量放大过程中能量守恒，动量守恒

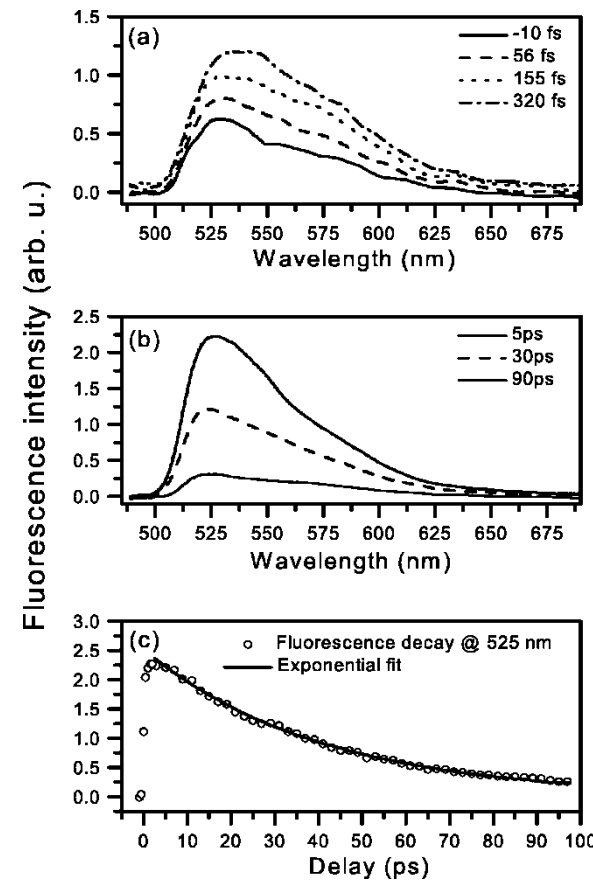
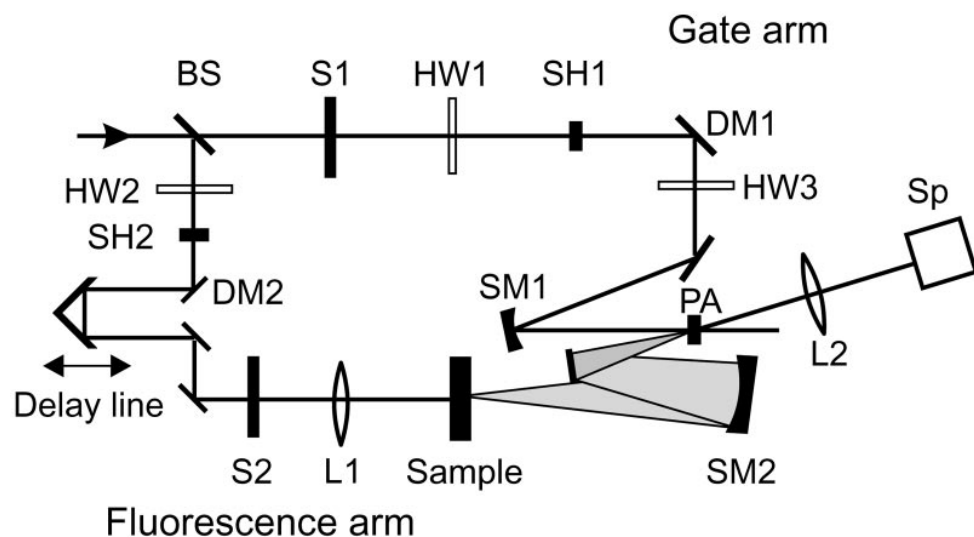
$$\omega_p = \omega_s + \omega_i \quad \vec{k}_p = \vec{k}_s + \vec{k}_i$$

群速度匹配:  $v_s = v_p \cos \alpha$

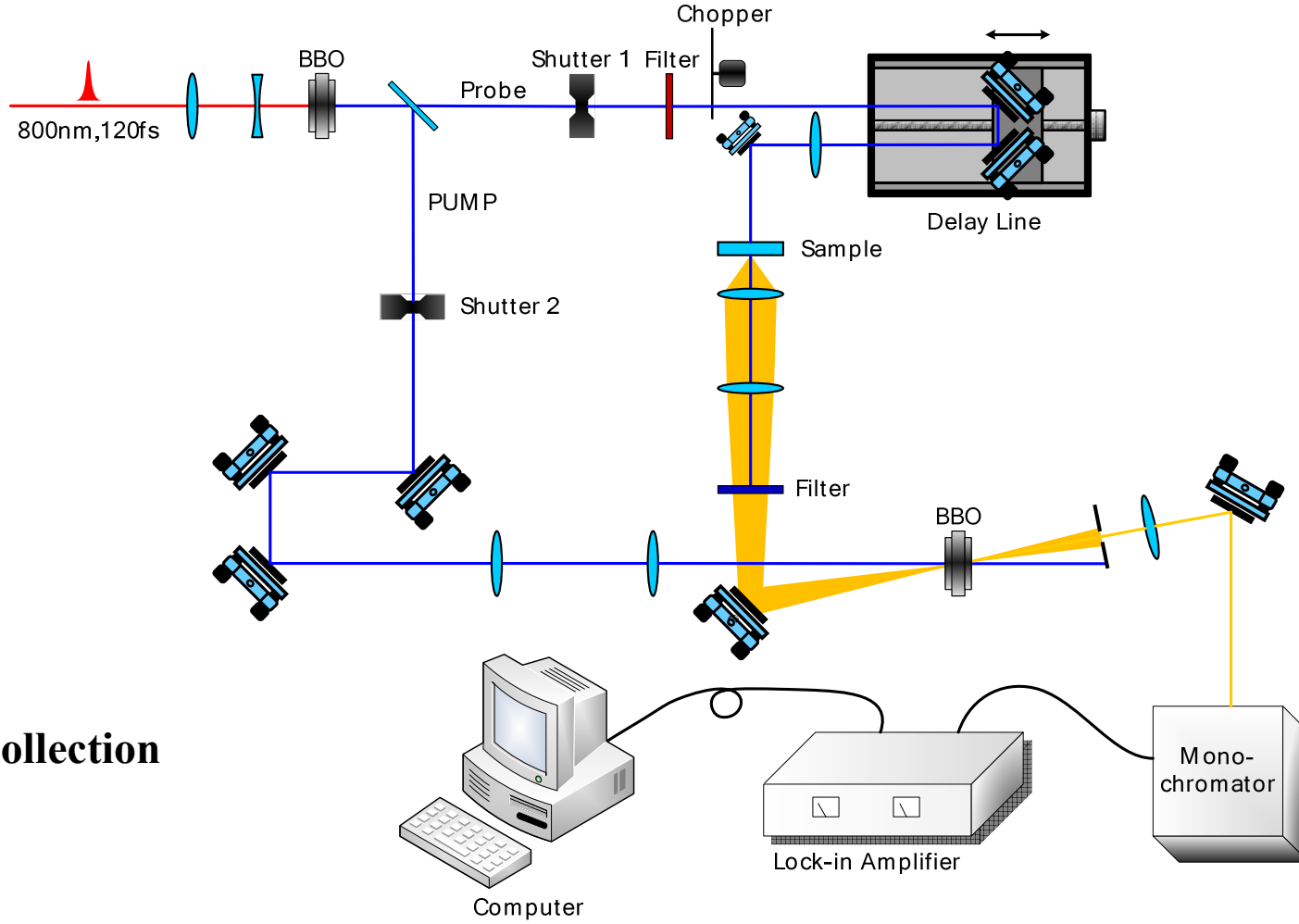
# 2005年波兰科学家首先在荧光飞秒OPA放大实验中完成了非相干光子OPA放大的原理性实验

Fita, P.; Stepanenko, Y.; Radzewicz, C

Femtosecond transient fluorescence spectrometer based on parametric amplification, Appl. Phys. Lett. 2005, 86, 021909



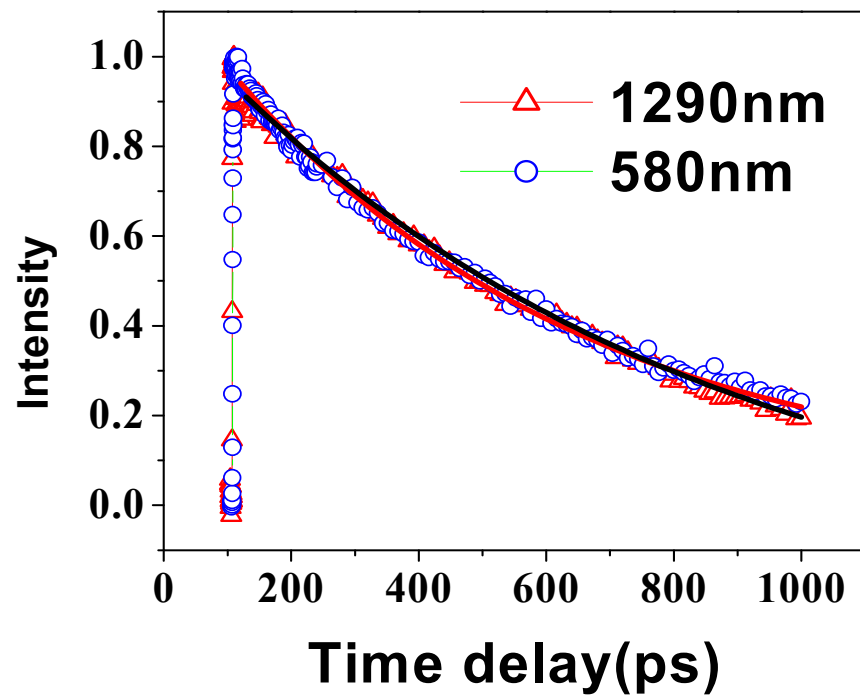
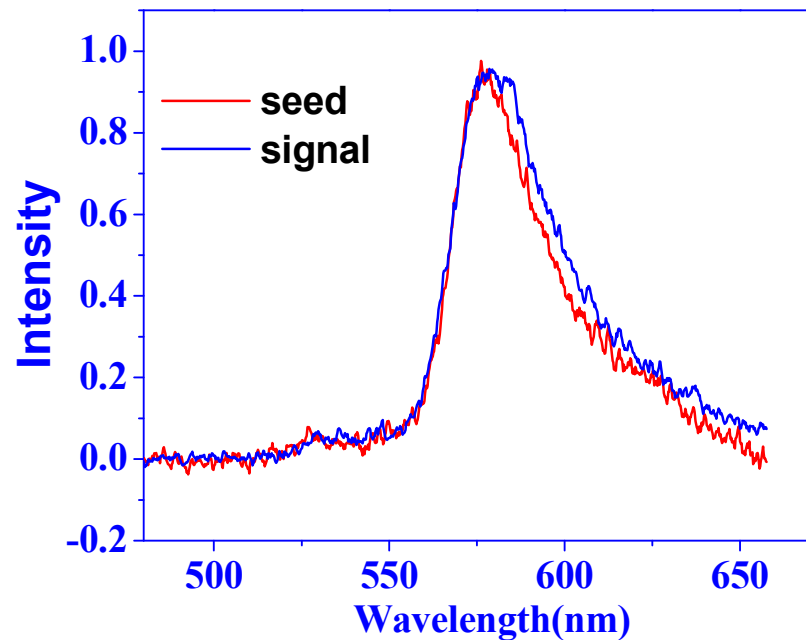
研究 实 光光 光光 光



2006年我们研究组首次报道了近红外光的飞秒OPA  
上频变换荧光放大实验

---

Rhodamine 6G



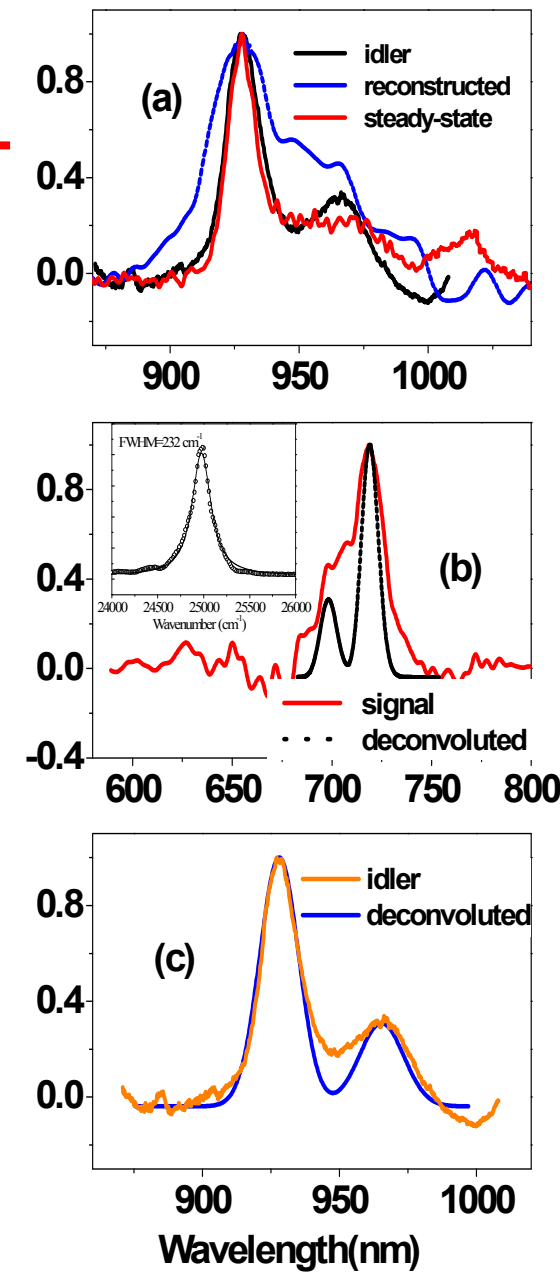
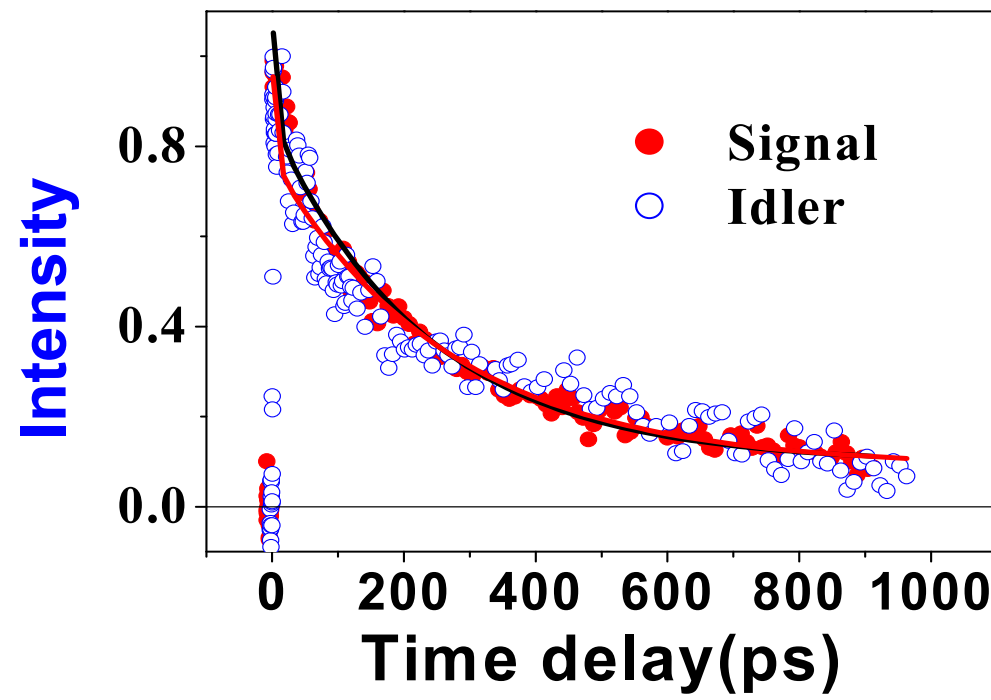
诺丹明6G的稳态荧光光谱（实线）  
和在2ps测得到瞬态荧光光谱（虚线）

诺丹明6G的荧光经参量放大后的  
信号光和闲频光的动力学曲线

# IR140 近红外荧光的上频变换测量

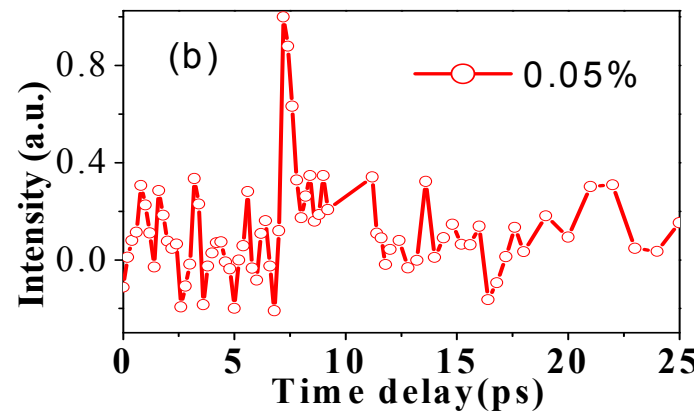
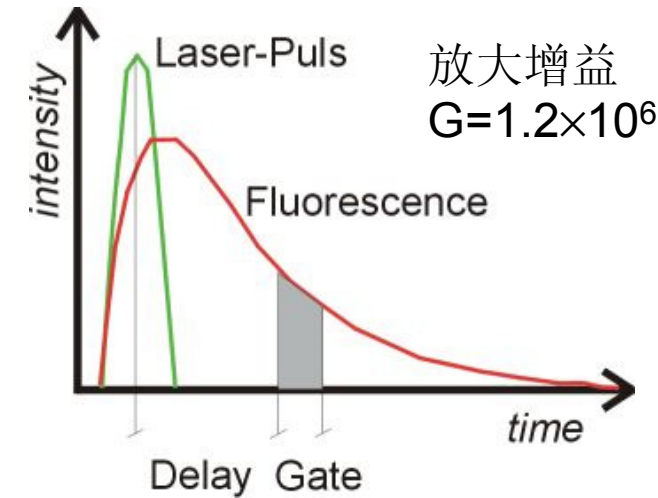
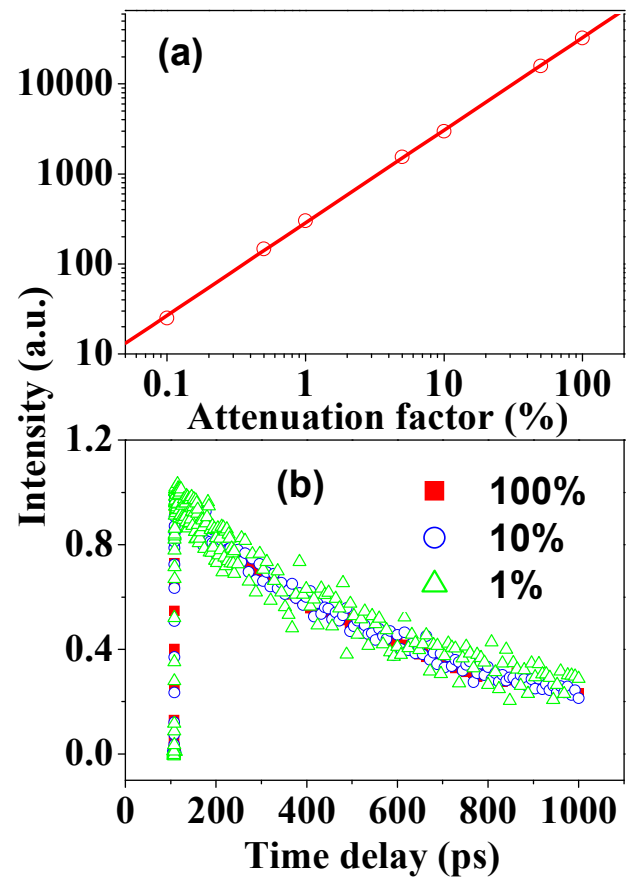
Appl. Phys. Lett. 2006, 89, 061127,  
Virtual Journal of Ultrafast Science, Sept. 2006

红外变到可见



# 光 光

J. Opt. Soc. Am. B 2007, 24(7), 1633-1638



参量荧光放大为线性增益

在580 nm处相当于15个光子

# 测量极限的再确定：与波兰科学家开展的学术争鸣

P. Fita and C. Radzewicz

Vol. 25, No. 10/October 2008/J. Opt. Soc. Am. B 1625

## 挑战方

### Comment on “Ultrasensitive femtosecond time-resolved fluorescence spectroscopy for relaxation processes by using parametric amplification”

Piotr Fita<sup>1,\*</sup> and Czeslaw Radzewicz<sup>1,2</sup>

<sup>1</sup>*Institute of Experimental Physics, University of Warsaw, 00-681 Warsaw, Poland*

<sup>2</sup>*Institute of Physical Chemistry, Polish Academy of Sciences, 01-224, Warsaw, Poland*

\*Corresponding author: [fita@fuw.edu.pl](mailto:fita@fuw.edu.pl)

Received November 2, 2007; revised March 27, 2008; accepted March 28, 2008;  
posted July 24, 2008 (Doc. ID 89271); published September 12, 2008

A recent paper [J. Opt. Soc. Am. B 24, 1633 (2007)] reports the gain and sensitivity of a time-resolved fluorescence spectrometer based on parametric amplification. We question the claimed detection limit and explanation for the unusual temporal shape of the measured signal at very low levels of fluorescence. We provide an alternative explanation for the observations. Several other points are also clarified. © 2008 Optical Society of America

OCIS codes: 190.4410, 190.4970, 300.6280, 300.6500.

Weng *et al.*

Vol. 25, No. 10/October 2008/J. Opt. Soc. Am. B 1627

## 应战方

### Determination of the detection limit for a noncollinear optical parametric amplification-gated femtosecond time-resolved fluorescence spectrometer—Reply to the Comment on “Ultrasensitive femtosecond time-resolved fluorescence spectroscopy for relaxation processes by using parametric amplification”

Yuxiang Weng,<sup>1,\*</sup> Xiaofeng Han,<sup>1</sup> and Jingyuan Zhang<sup>2</sup>

<sup>1</sup>*Laboratory of Soft Matter Physics, Institute of Physics, Chinese Academy of Sciences, and Beijing National Laboratory of Condensed Physics, Beijing 100080, China*

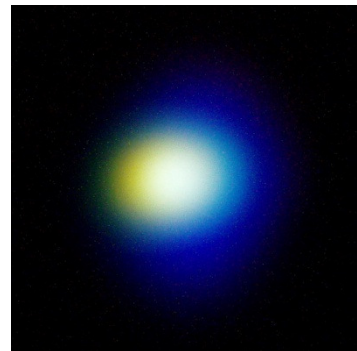
<sup>2</sup>*Department of Physics, Georgia Southern University, Statesboro, Georgia 30460, USA*

\*Corresponding author: [yxweng@aphy.iphy.ac.cn](mailto:yxweng@aphy.iphy.ac.cn)

Received April 22, 2008; revised August 5, 2008; accepted August 5, 2008;  
posted August 7, 2008 (Doc. ID 95343); published September 12, 2008

A backward fluorescence collection method is employed in a noncollinear optical parametric amplification-gated femtosecond time-resolved fluorescence spectrometer to determine the detection limit of this recently developed technique. In this way the supercontinuum generation that interferes with the determination of the detection limit is completely excluded, and the achieved upper limit of the detectable photon number with the 150 fs gating pulse is approximately 19. © 2008 Optical Society of America  
OCIS codes: 190.4410, 190.4970, 300.6280, 300.6500.

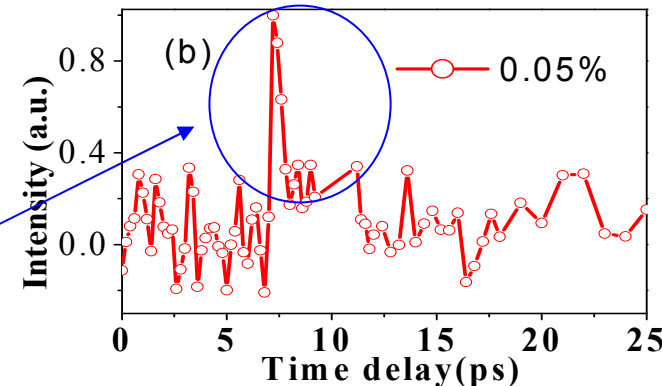
# 争论焦点： 荧光激发焦点产生白化光的干扰



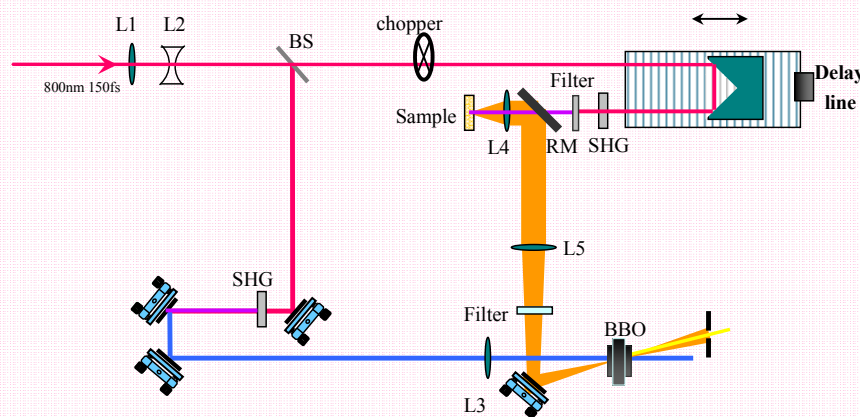
前向收集荧光

争论焦点

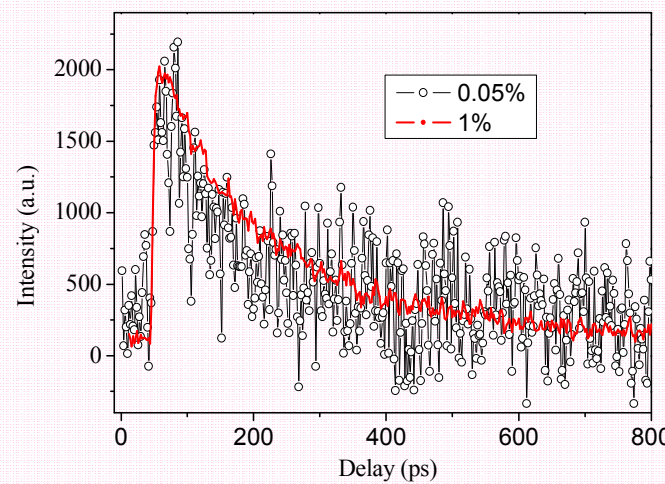
超连续白光：相干光



种子光衰减2000，极限15个光子



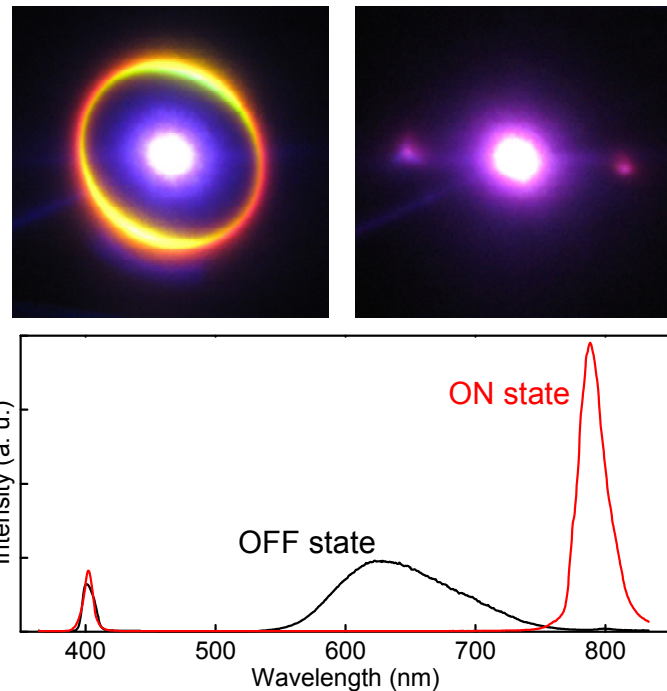
背向收集荧光



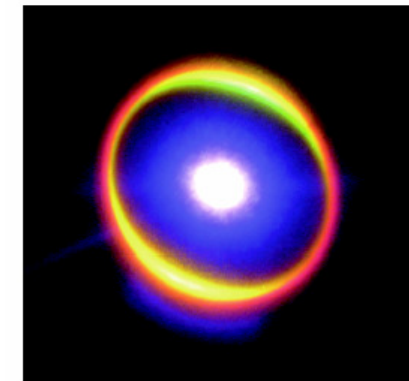
种子光衰减2000, 极限<19个光子

# 单光子水平的光参量放大飞秒 全光开关演示实验

ALL-OPTICAL SWITCHING  
Single-photon power



合作方：赵继民，吴令安



*Appl. Phys. Lett.* **92**, 151109 (2008)  
All-optical switching has the potential to offer ultrafast switching speeds that are not subject to conventional electronic limitations, and could help revolutionize communication and information processing. Researchers in China have now demonstrated an all-optical switch based on three-wave-mixing parametric amplification in a nonlinear crystal.

**Nature Photonics,**  
**Vol (2) , 331, 2008**

中国学者在非线性光学  
四波混频光参量放大的  
基础上演示了全光开关

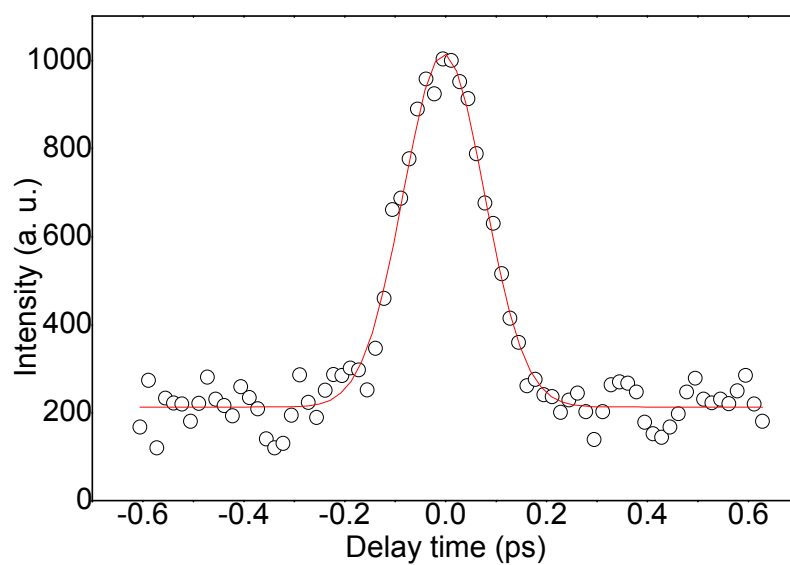
Applied Physics Letters, 2008

The idea underlying the scheme involves using a weak beam of light to turn a stronger beam of light on and off. This is essential for cascaded classical and quantum computation elements. Although the concept has already been demonstrated using four-wave mixing, Xiao-Feng Han and colleagues present an approach based on three-wave-mixing optical parametric amplification in a nonlinear crystal. Using a beta barium borate crystal as the core switching element, they show that a beam containing single photons (with an average of 0.75 photons per pulse) can be used to turn a beam containing up to  $5.9 \times 10^8$  photons on and off. The switching can be performed within 400 fs. Analysis of the on/off states shows that they are well defined and that the switch has a broad bandwidth of 10 nm (or 5 THz).

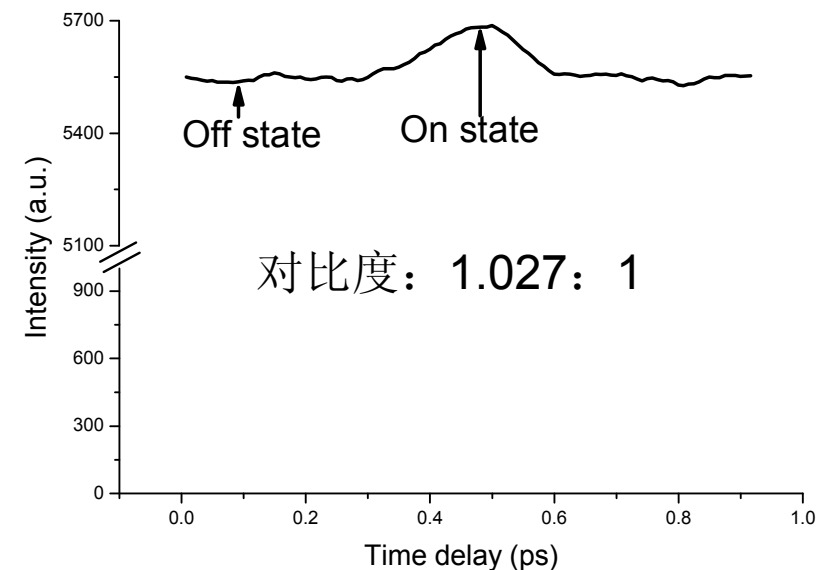
# 单光子水平的光子计数测定：0.75个光子

TABLE I. Probability of obtaining  $n$  photons in one pulse for an average photon number of  $\mu$ .

$\mu$	$n=0$	$n=1$	$n=2$	$n=3$	$n=4$	$n=5$	$n=6$
1	0.368	0.368	0.184	0.061	0.015	0.003	0.0005
0.75	0.472	0.354	0.133	0.033	0.006	0.0009	0.0001
0.4	0.670	0.268	0.054	0.007	0.0007	0.000057	0.0000038



斩波器斩种子光获得的信噪比



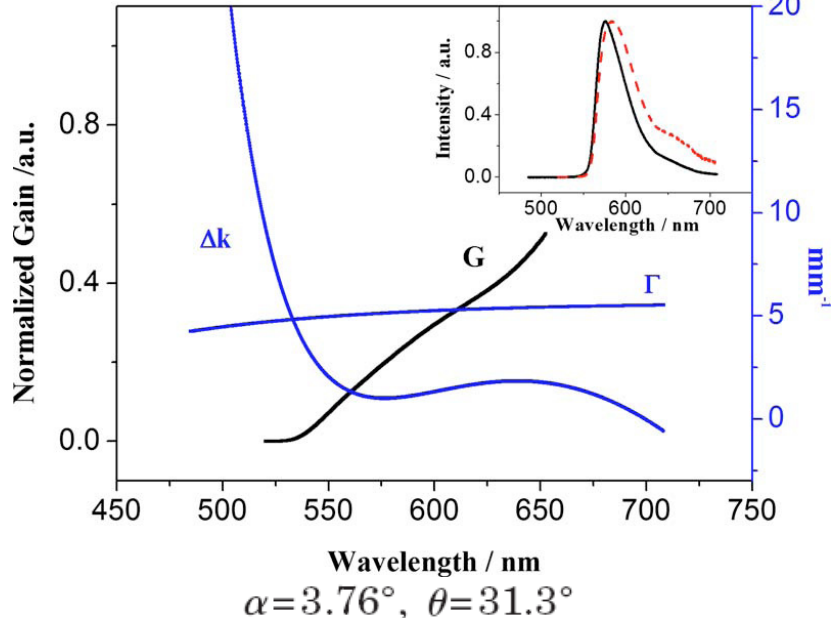
斩波器斩泵浦光获得的信噪比

# 依靠精确调整匹配角及入射角将极为困难

$$\text{gain} \quad G = 0.25 \exp\{2[\Gamma^2 - (\Delta k/2)^2]^{1/2}L\}$$

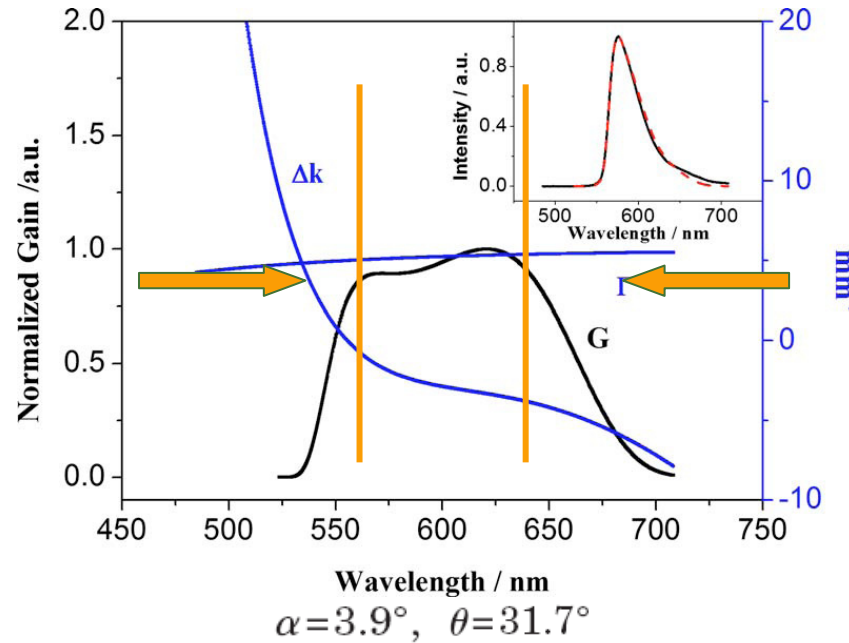
$$\text{parametric gain coefficient} \quad \Gamma = 4\pi d_{\text{eff}}[I_p/(2\varepsilon_0 n_p n_s n_i c \lambda_s \lambda_i)]^{1/2}$$

$$\text{phase mismatch} \quad \Delta k = k_p(\theta) - k_s \cos \alpha - k_i \cos \beta$$



a maximum gain bandwidth around central peak.

***Distortion!***



Critically choosing  $\alpha$  and  $\theta$   
spectral width > **2500 cm<sup>-1</sup>**.

*Very difficult!*

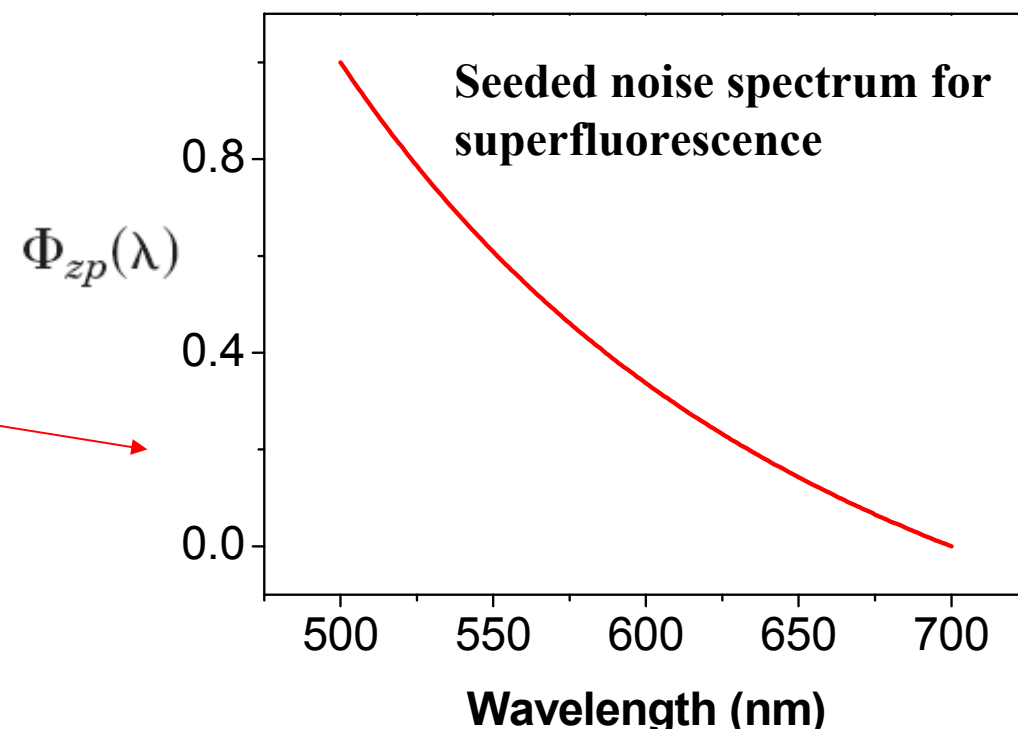
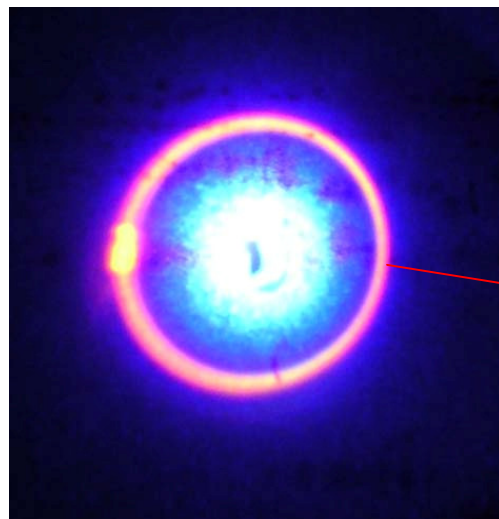
# 应用真空量子噪声放大谱作为内禀荧光光谱校正源

---

$$\Phi_{sf}(\lambda; \alpha, \theta) = \Phi_{zp}(\lambda)[G(\lambda; \alpha, \theta) - 1]$$

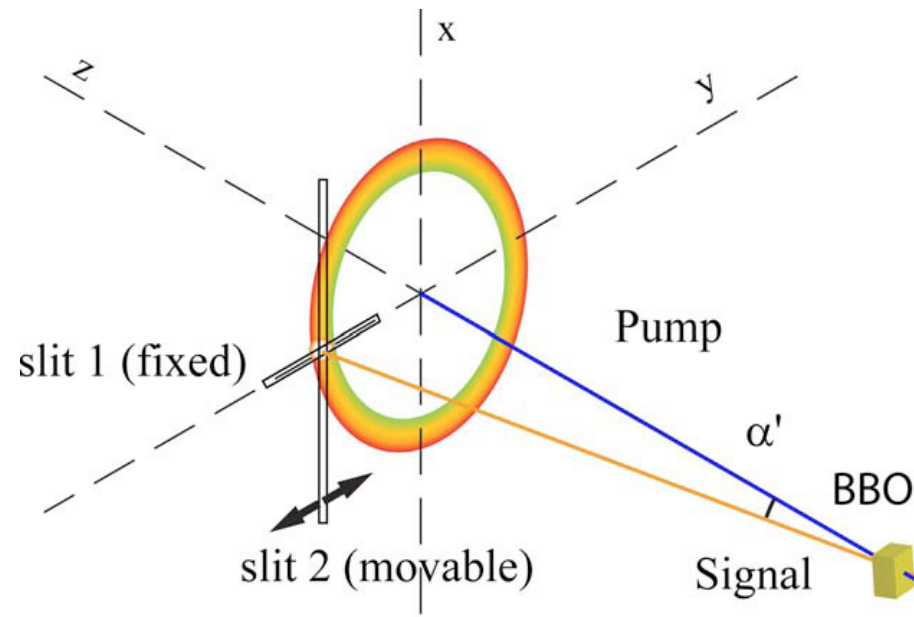
$\Phi_{sf}(\lambda; \alpha, \theta)$     **Experimentally measured**

the equivalent noise spectrum due to the zero-point fluctuations, :  $hc^2 / \lambda^3 d\lambda$   
in bandwidth  $d\lambda$ .

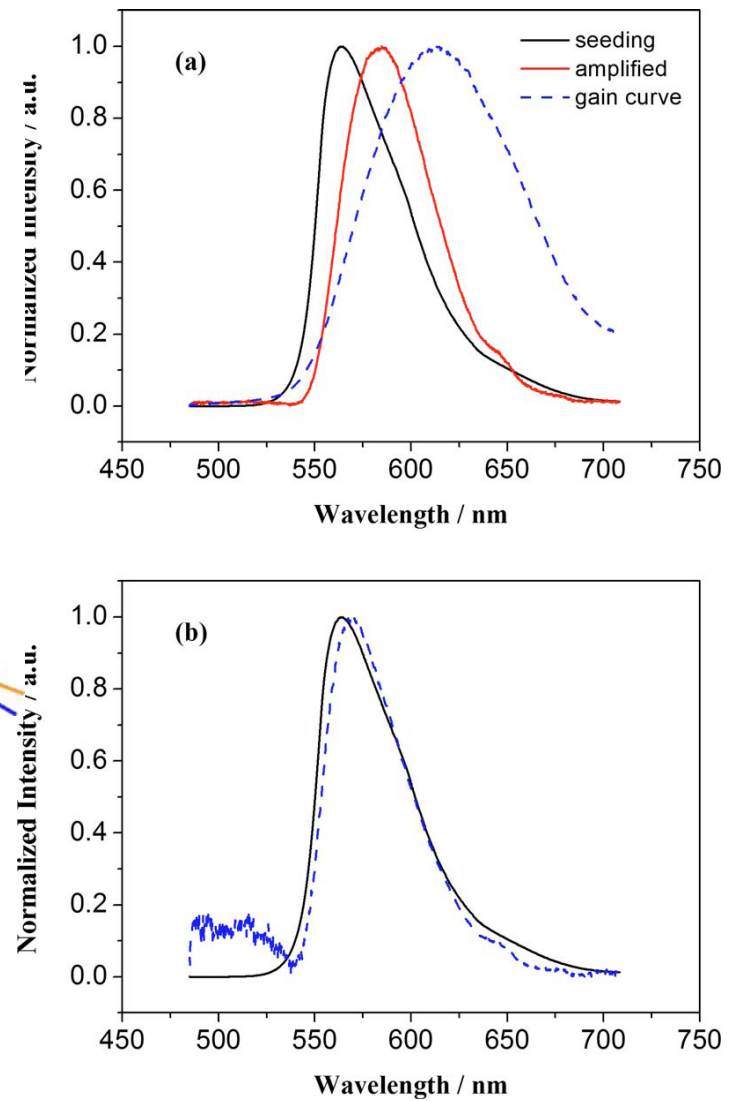


# 光 实

Undistorted spectrum:  $2500\text{cm}^{-1}$  at fixed angles

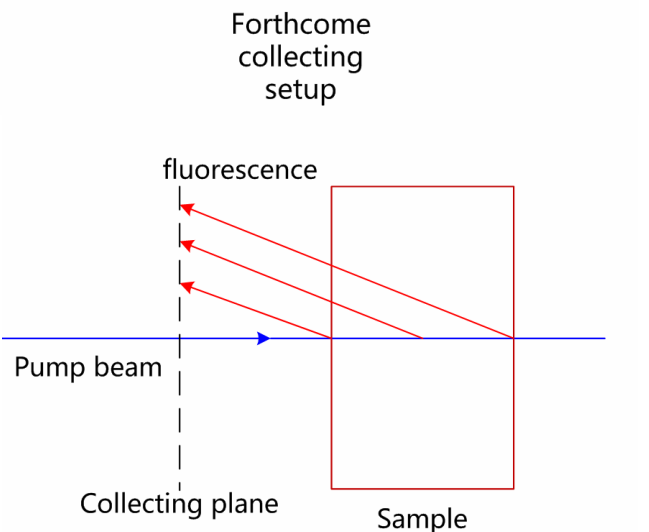
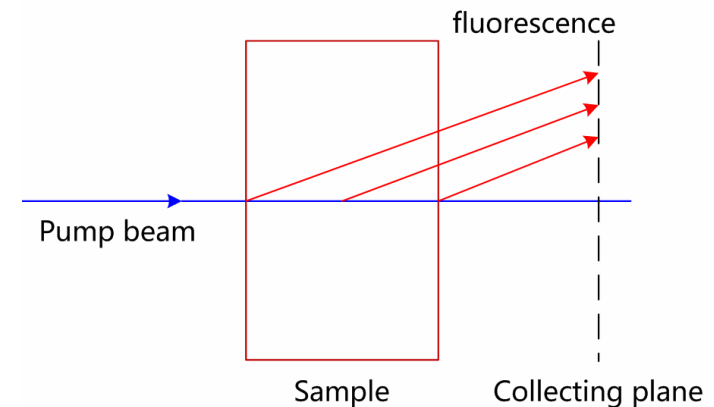
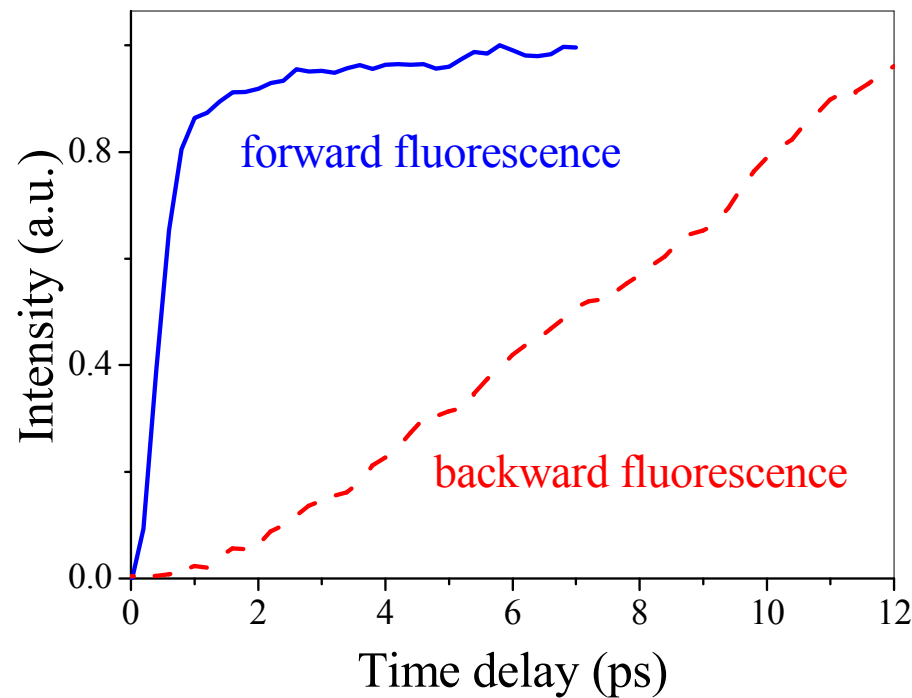


Determination of amplified noise spectrum



**Chen, HL, et al., Journal of Optical Society of America B, 2009, 24(7), 1633-1638.**

光

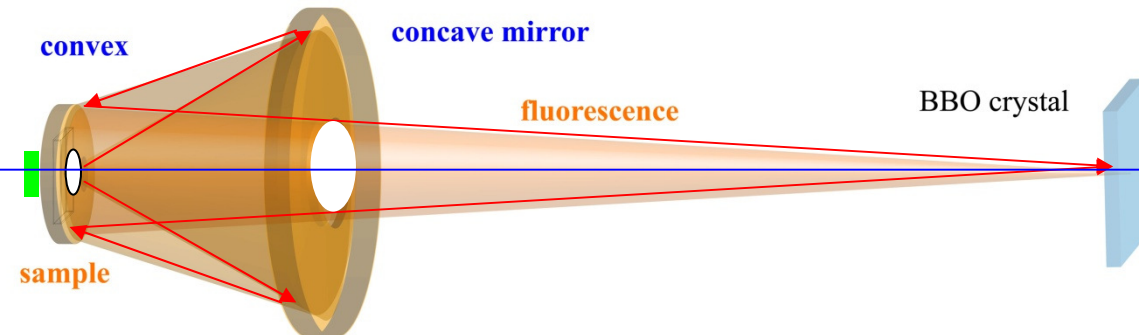


Backwards  
collecting  
setup

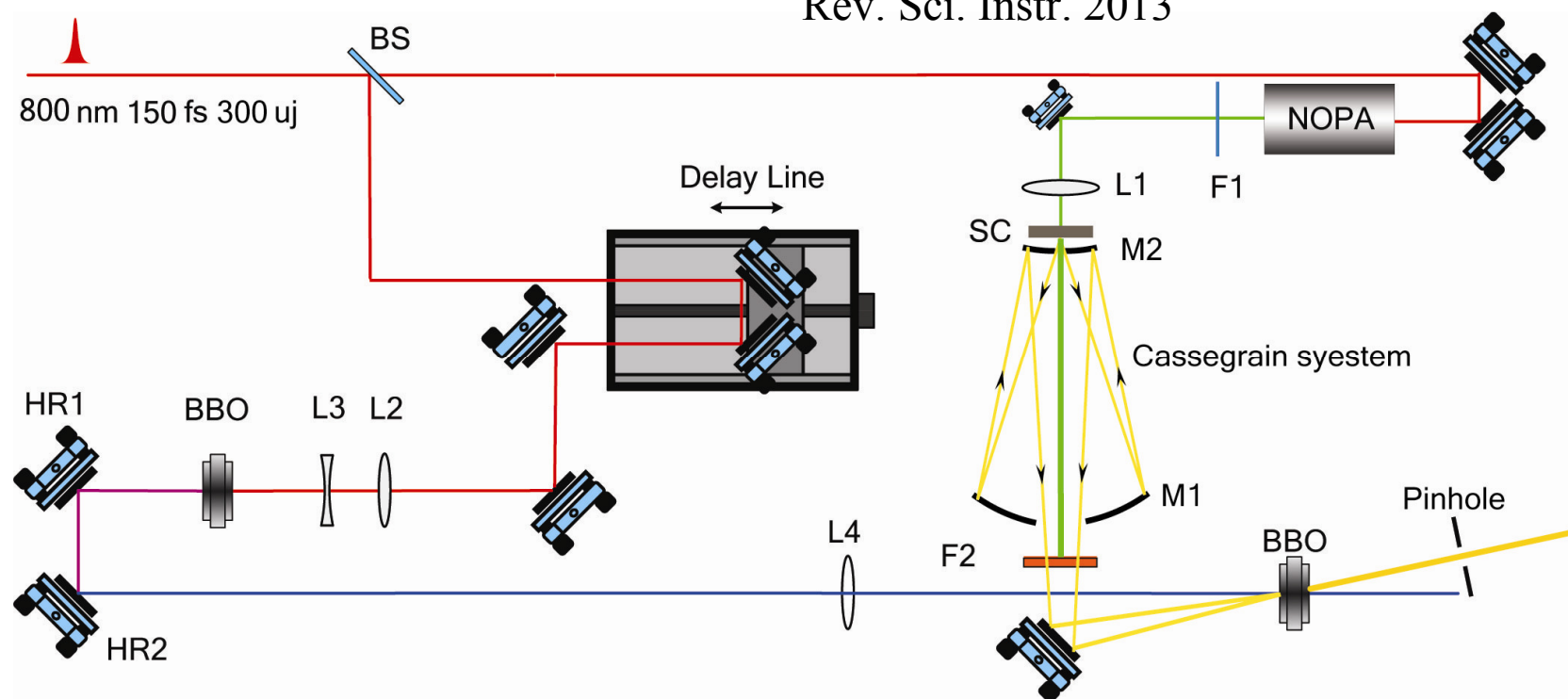
光

光

Cassegrain  
Object



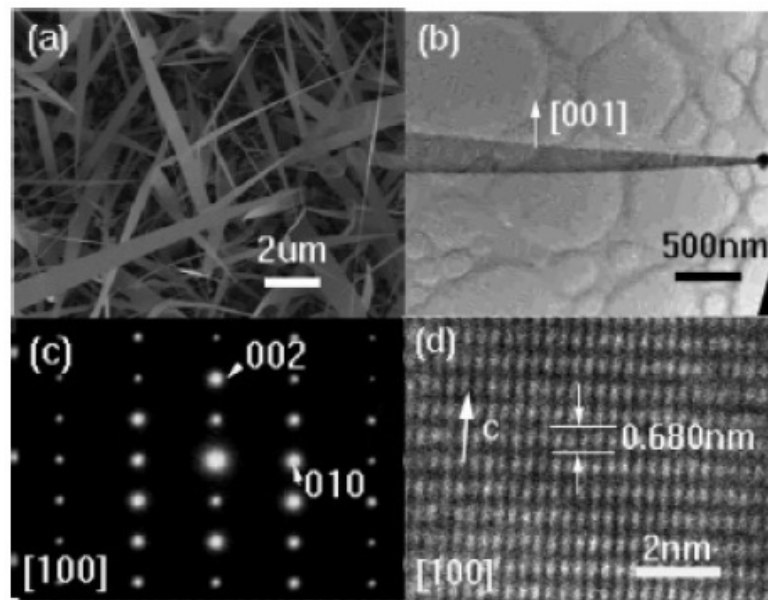
Rev. Sci. Instr. 2013



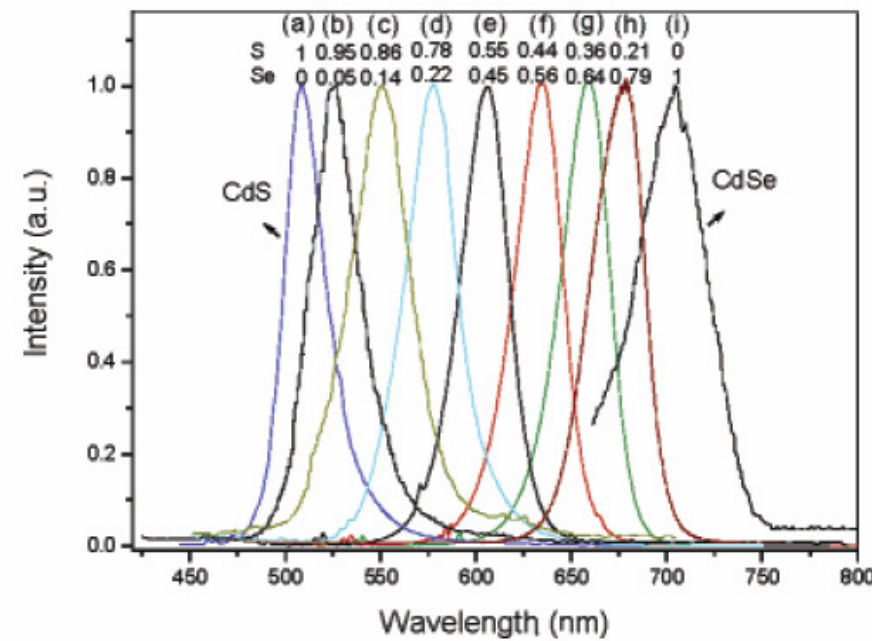
# 应用实例1：CdS<sub>x</sub>Se<sub>1-x</sub>时间分辨荧光光谱及超快驰豫动力学

新材料CdS<sub>x</sub>Se<sub>1-x</sub>纳米带

J. Am. Chem. Soc. 2006, zhou et al



CdS<sub>x</sub>Se<sub>1-x</sub>纳米带

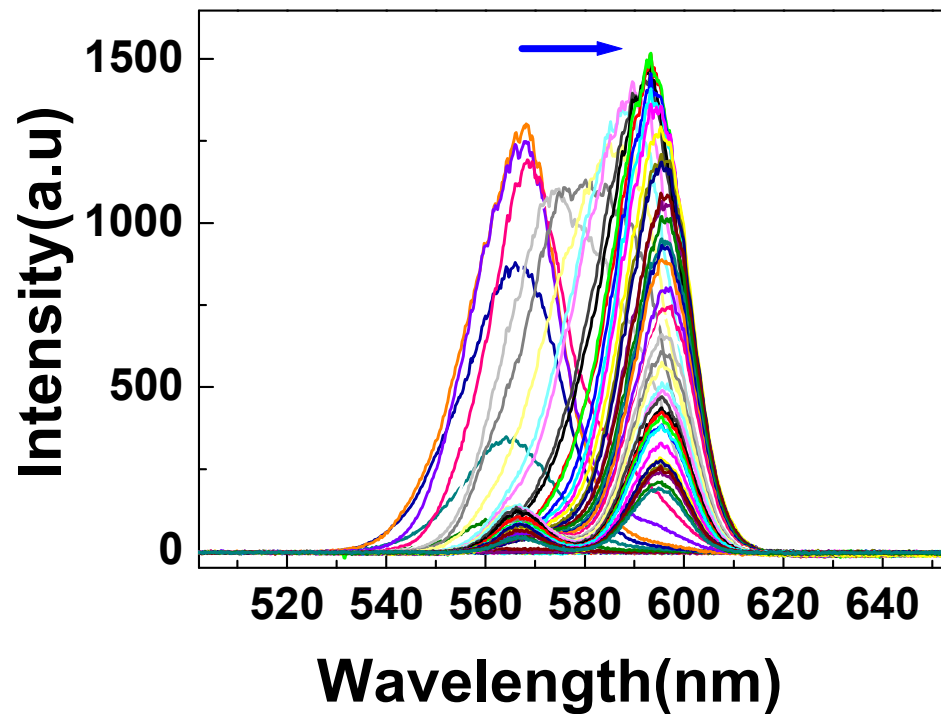


CdS<sub>x</sub>Se<sub>1-x</sub>发射光谱

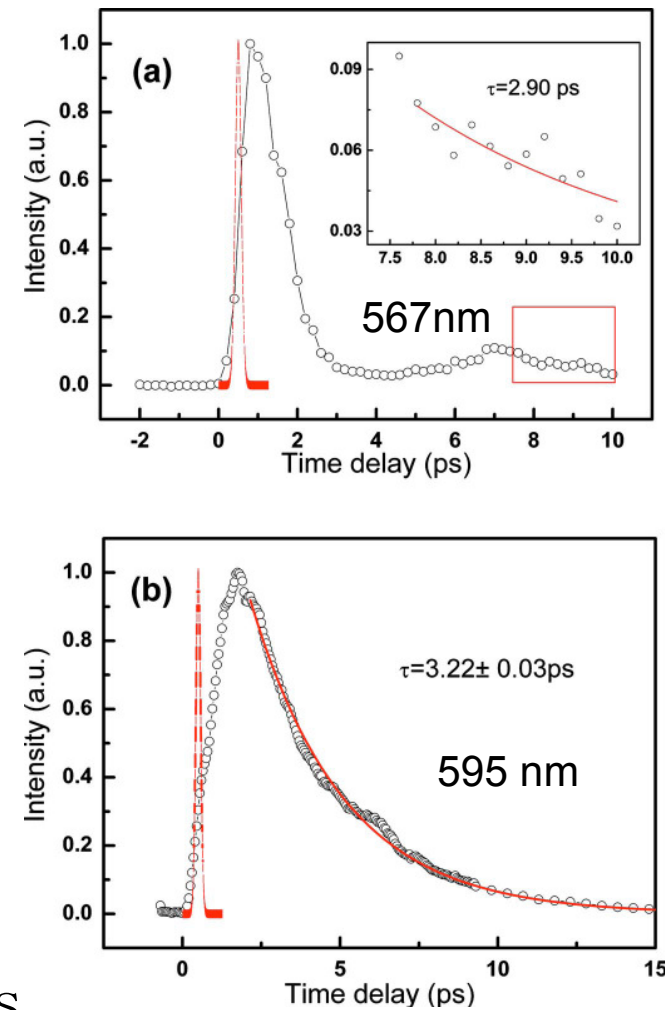
CdS<sub>x</sub>Se<sub>1-x</sub> 调节组分可改变发射光谱

# 应用实例：CdS<sub>x</sub>Se<sub>1-x</sub>时间分辨荧光光谱及超快驰豫动力学

Applied Physics Letter, 92, 032102, 2008.

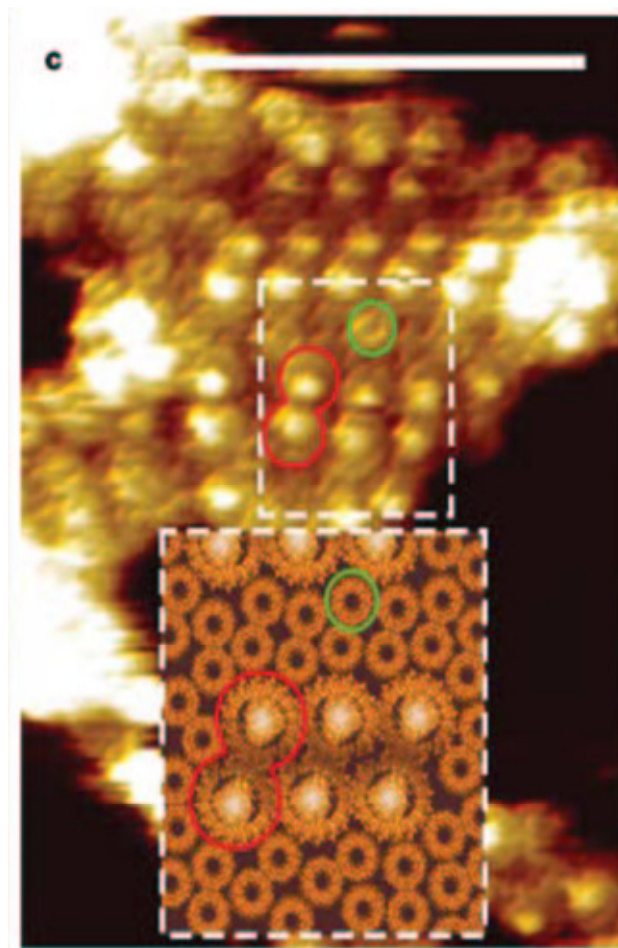
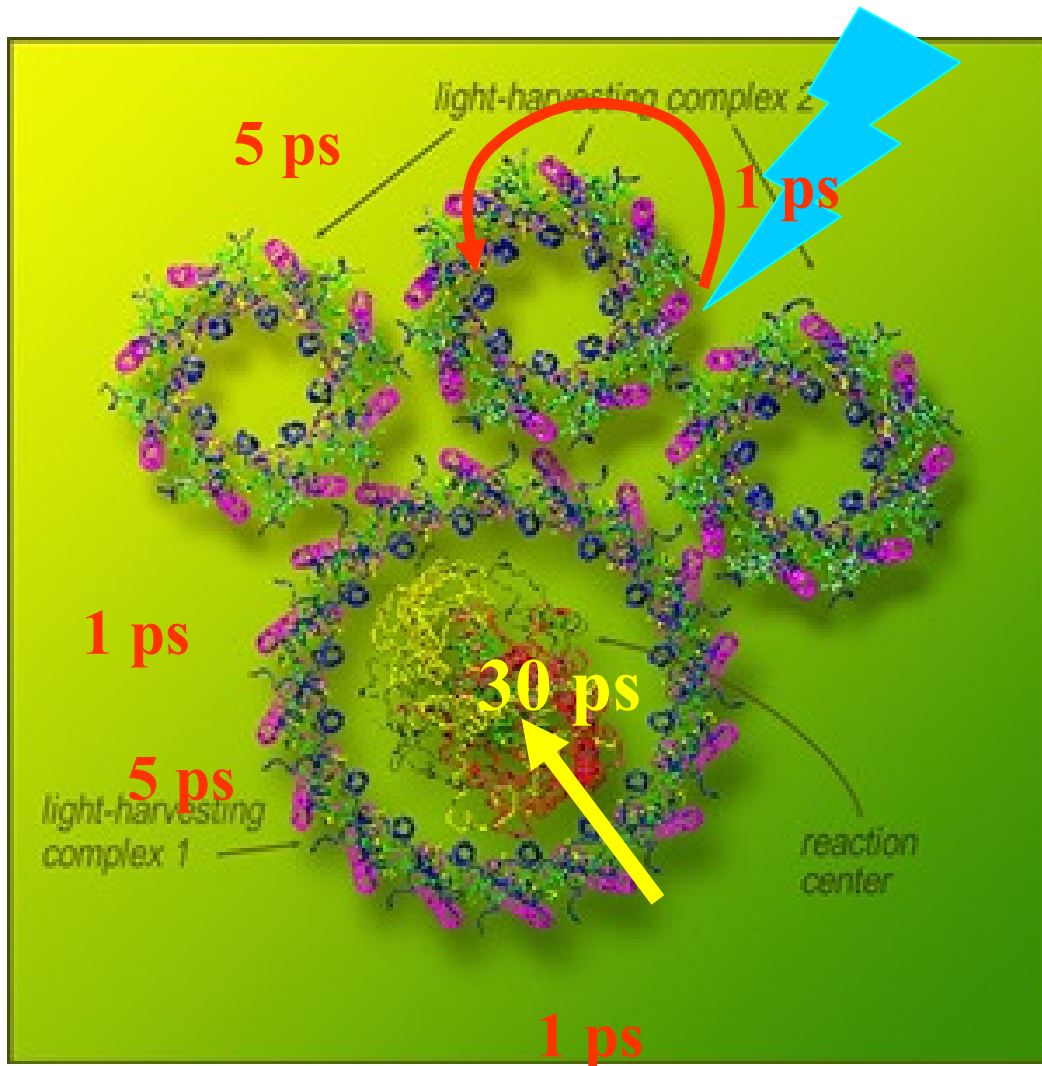


时间分辨荧光光谱 时间间隔0.2 ps

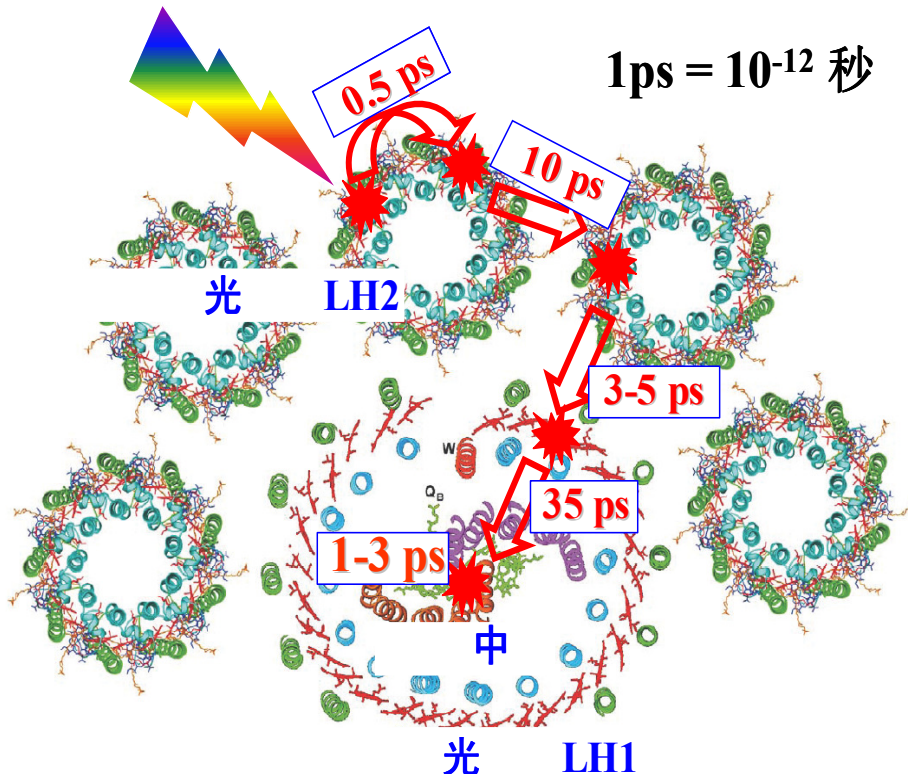


弛豫动力学: 迟滞荧光

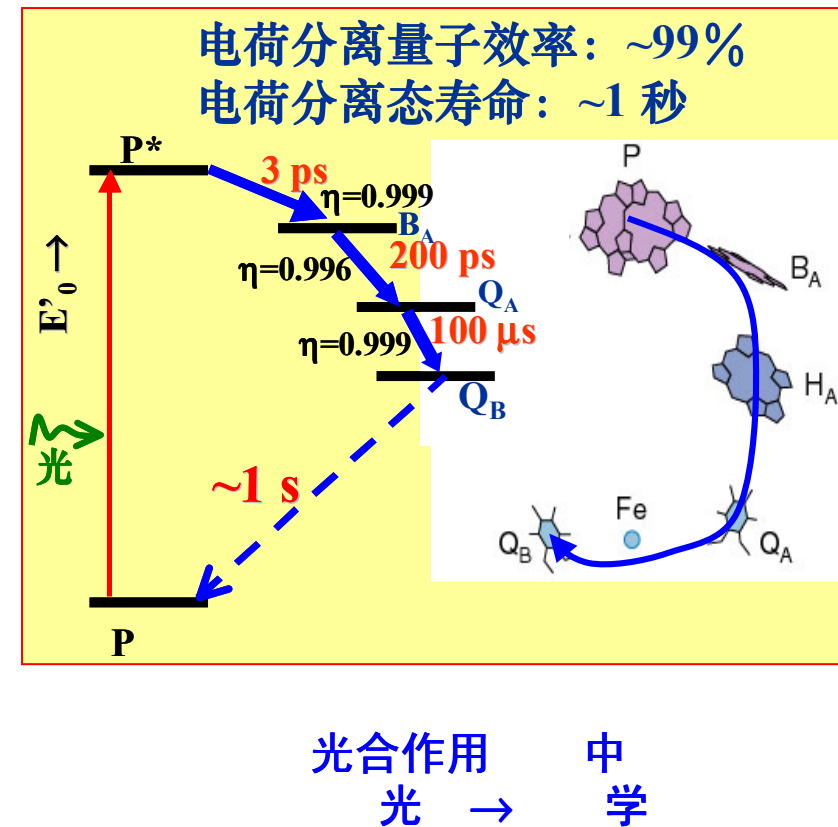
# 光合作用 光



# 天然光合作用与超快光谱研究



1ps =  $10^{-12}$  秒

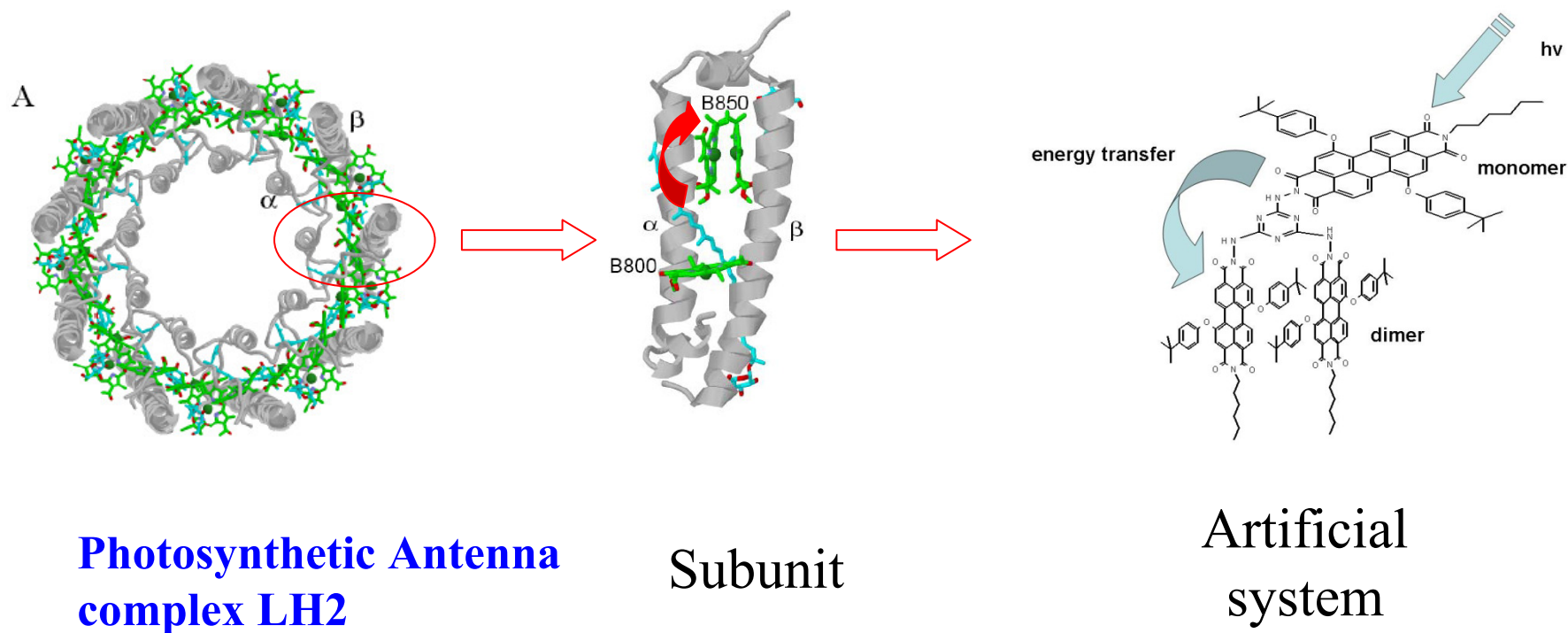


多个功能单元（多元）协同作用

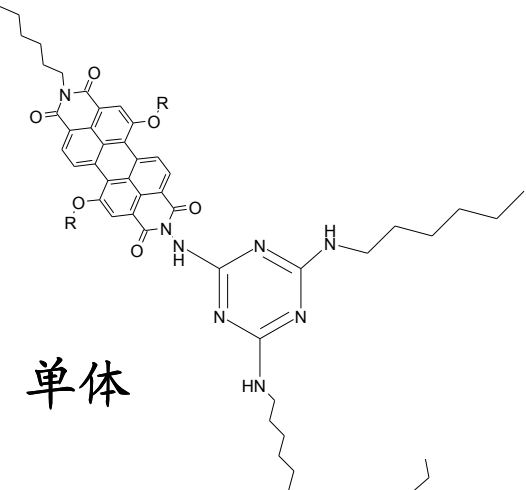
多步、高效率、电荷分离长寿命

## 应用实例2:光合模拟系统超快传能研究

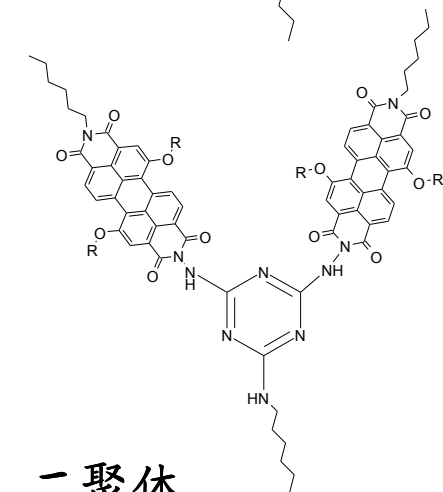
Mimicry of energy transfer from the monomer to dimer in LH2



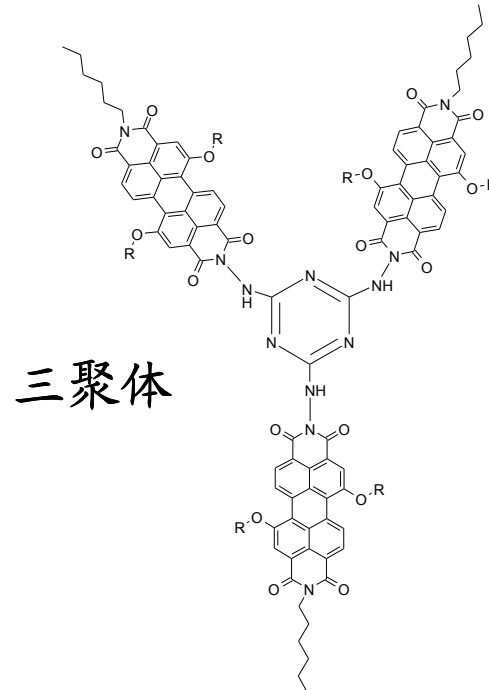
# 茈四甲酰二亚胺



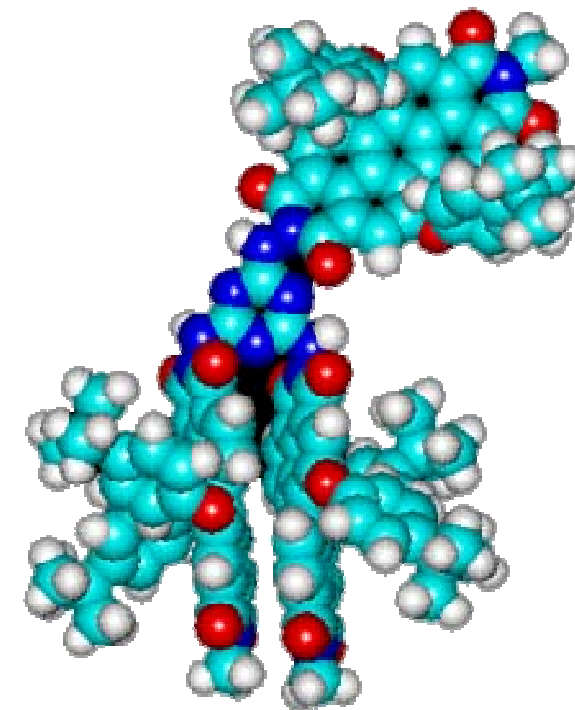
单体



二聚体



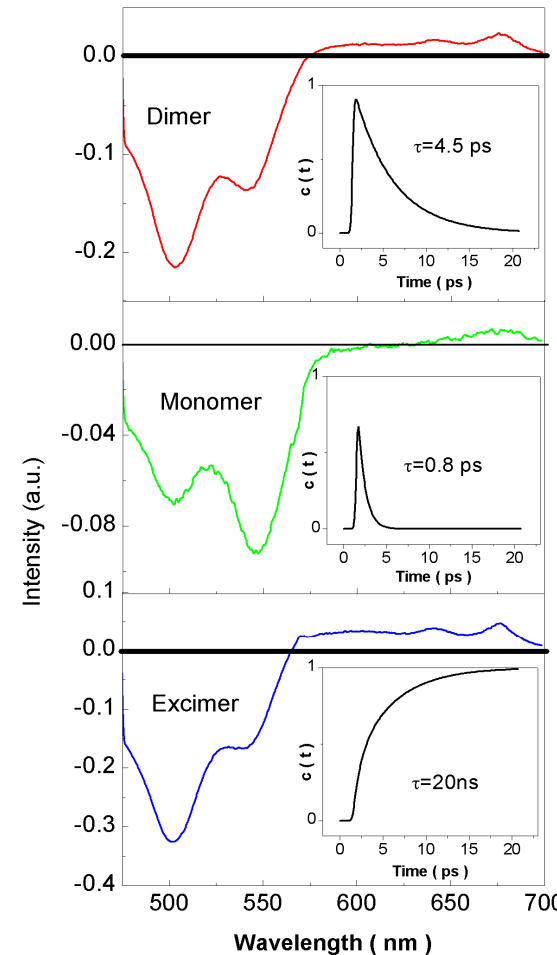
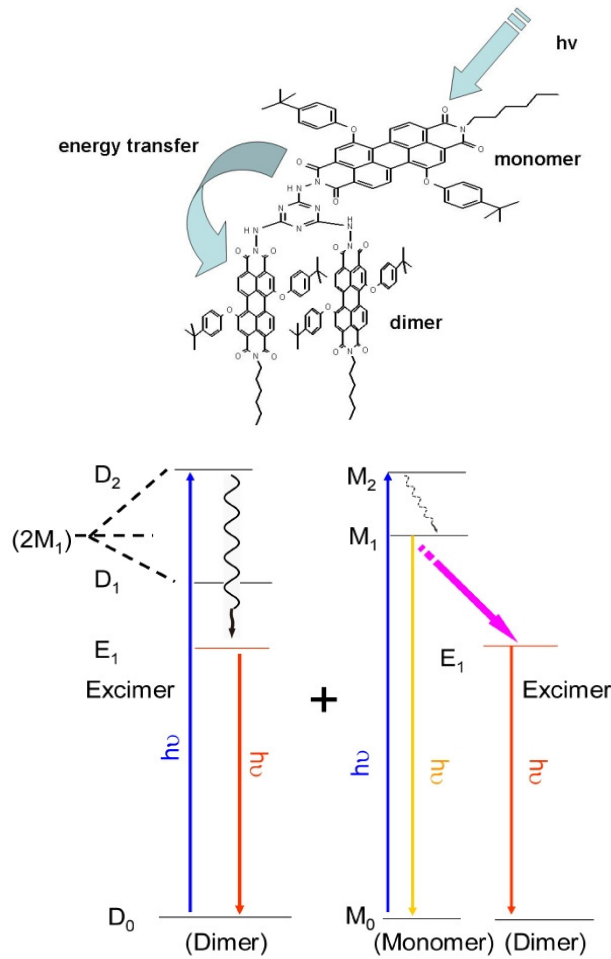
三聚体



Perylenetetracarboxylic diimide (PDI)

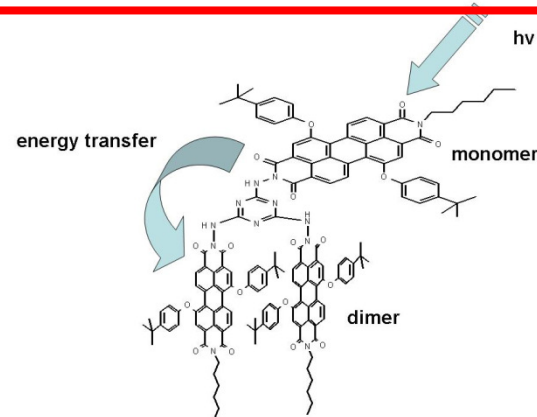
# 三聚体分子内单体向二聚体能量转移的超快光谱研究

J. Am. Chem. Soc., 2009, 131 (1), pp 30–31

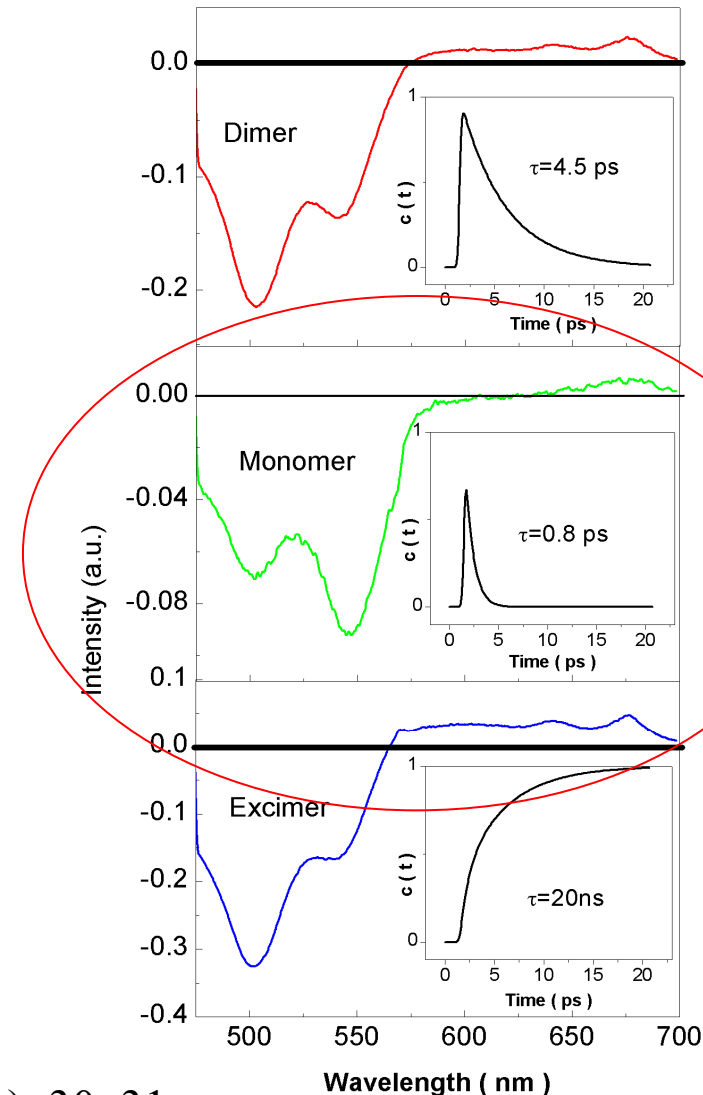
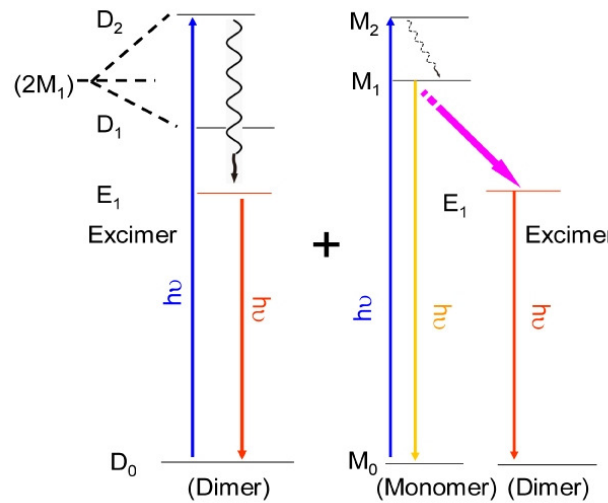


与山大李希友合作

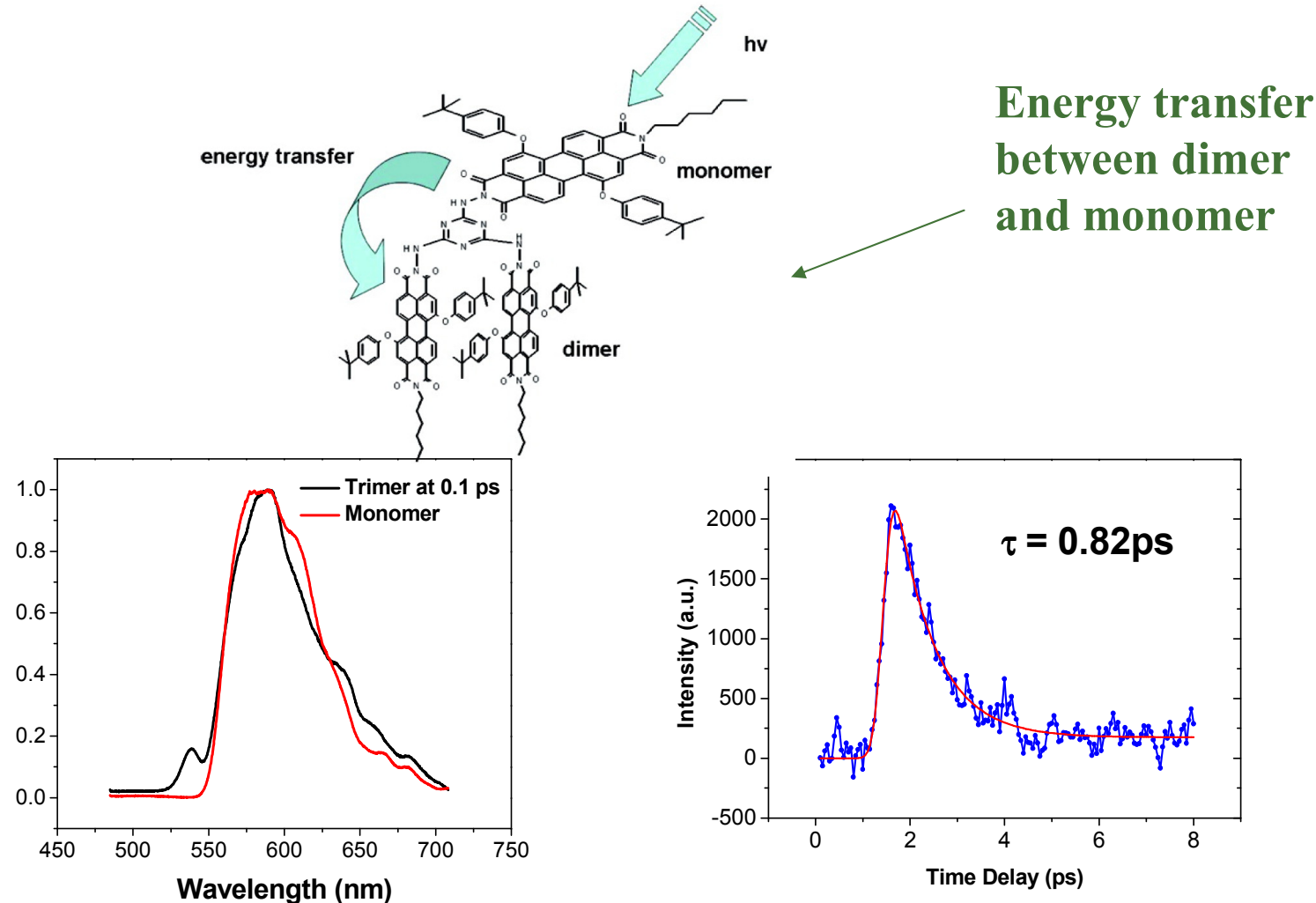
# 由飞秒瞬态吸收光谱推断的单体到二体的超快传能过程



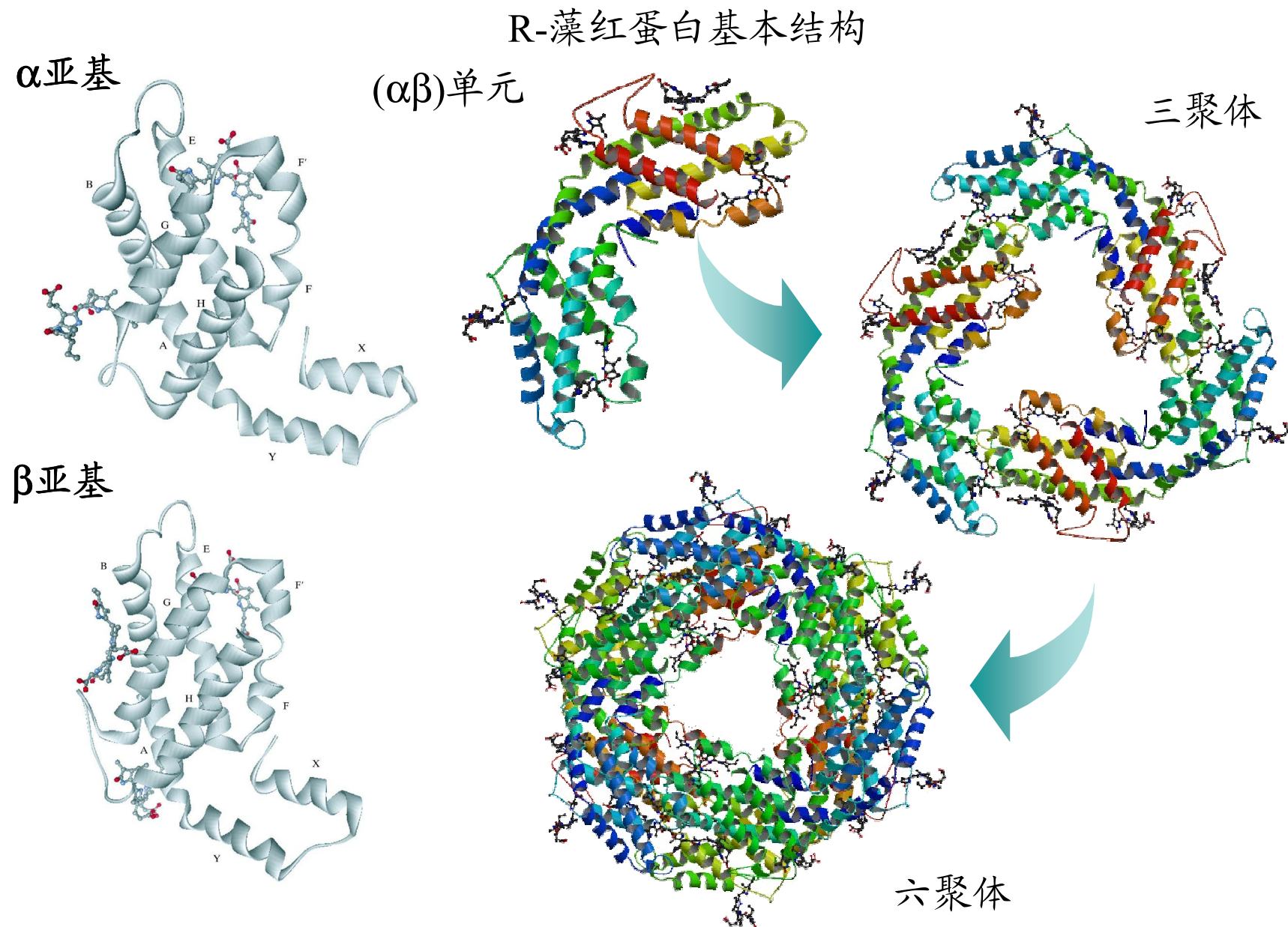
Perylenetetracarboxylic Diimide (PDI)



# 飞秒时间分辨瞬态荧光光谱证实的超快传能过程

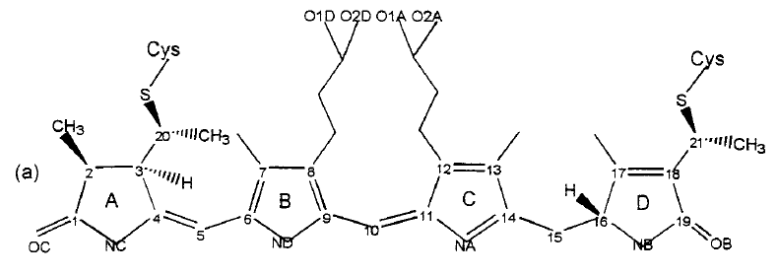


# 应用实例3. 海藻光合天线的超快传能过程研究

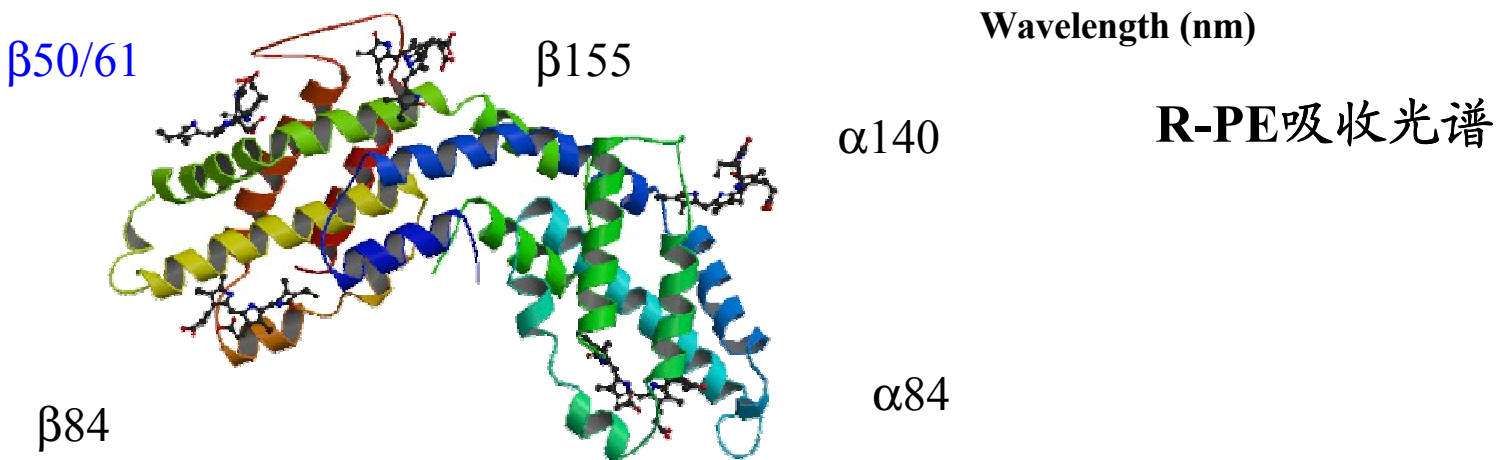
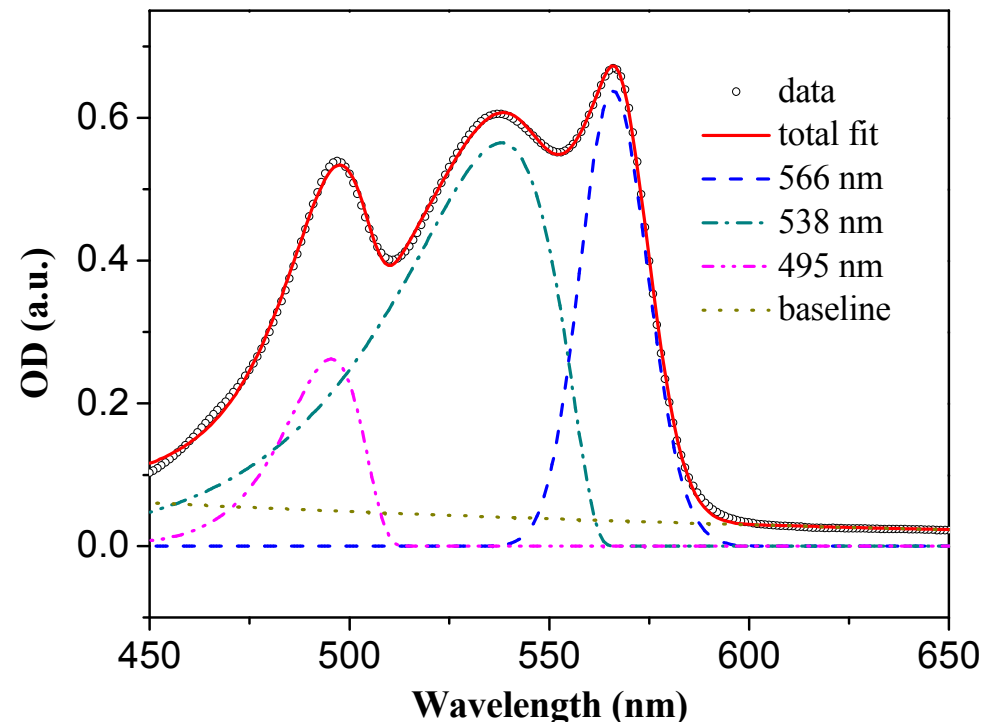
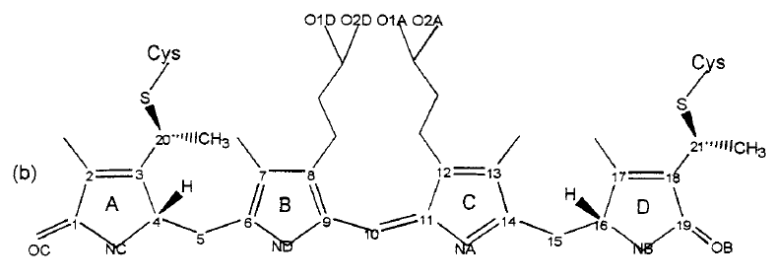


# 发色团性质

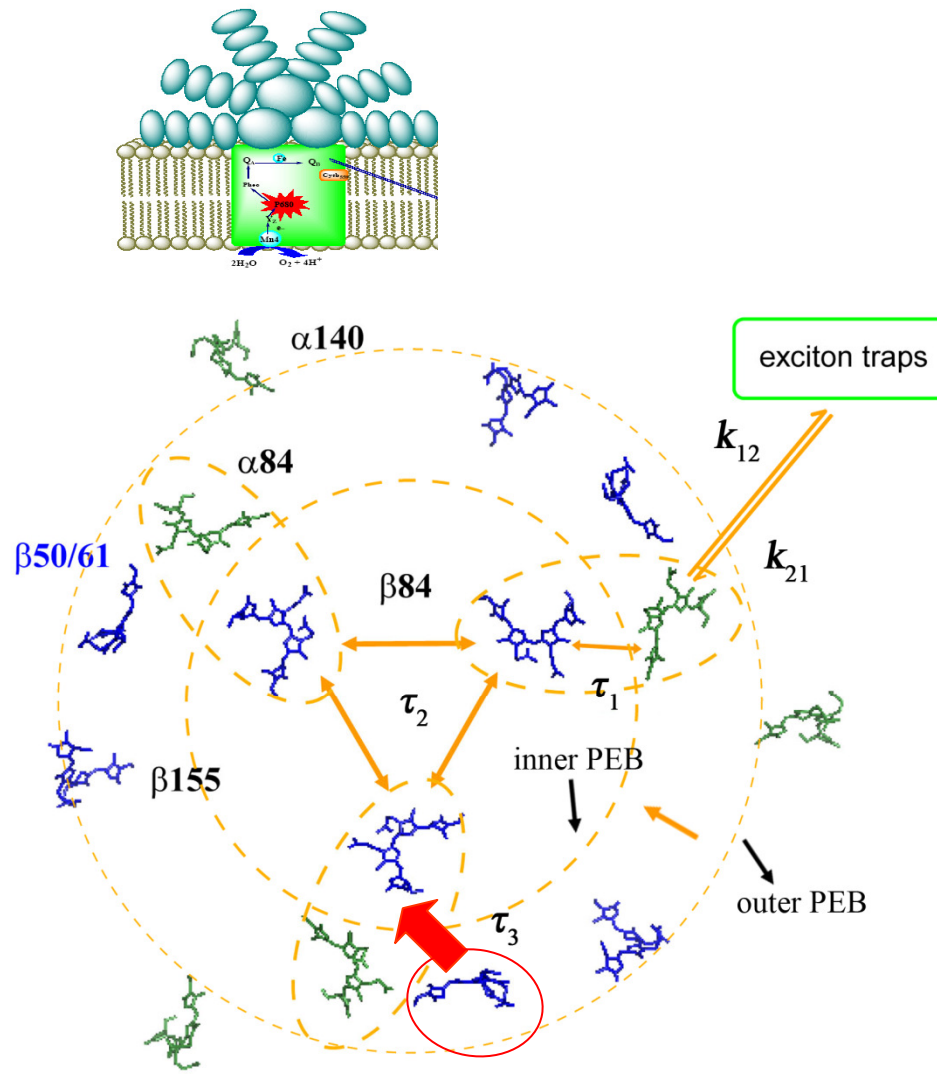
Phycoerythrobilin (PEB)



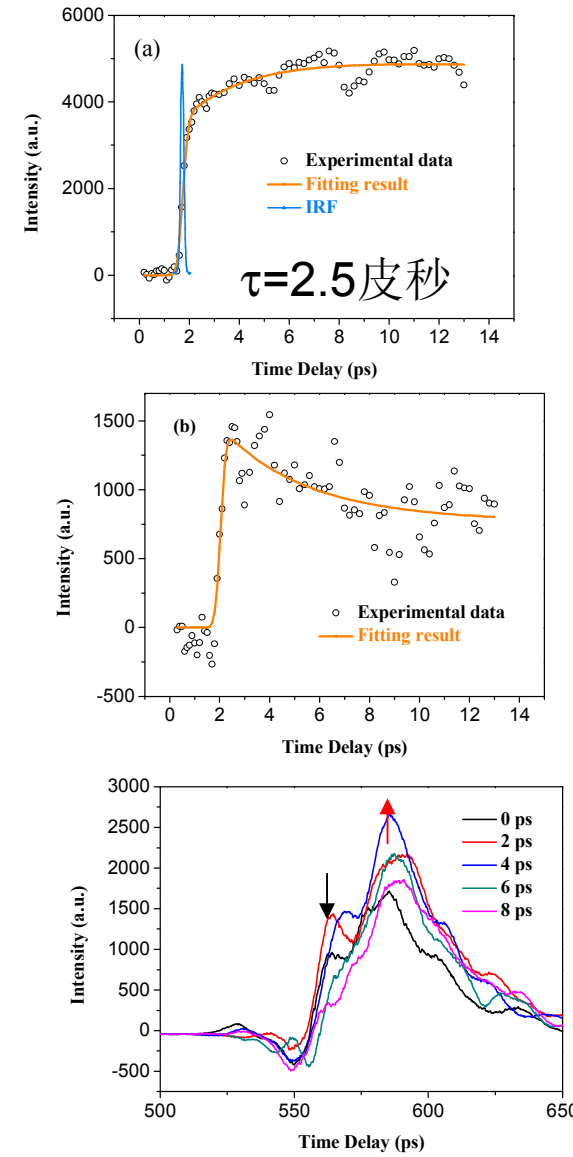
Phycourobilin (PUB)



# 海藻光合天线的超快传能过程

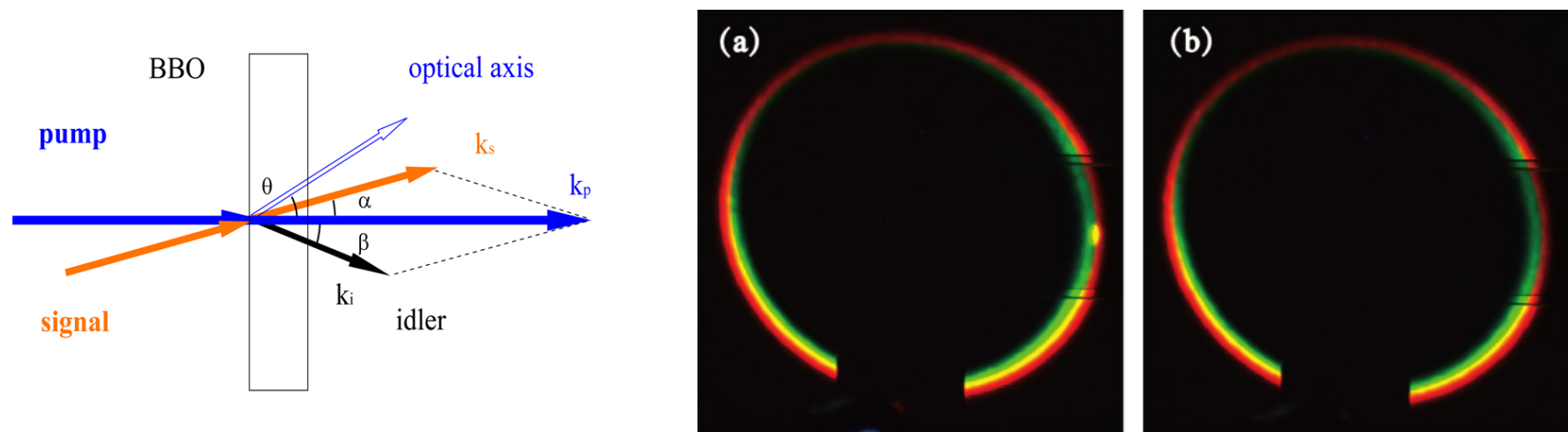


Chen, et al., Photosynthesis Research , 2011



# 荧光放大系统的改进

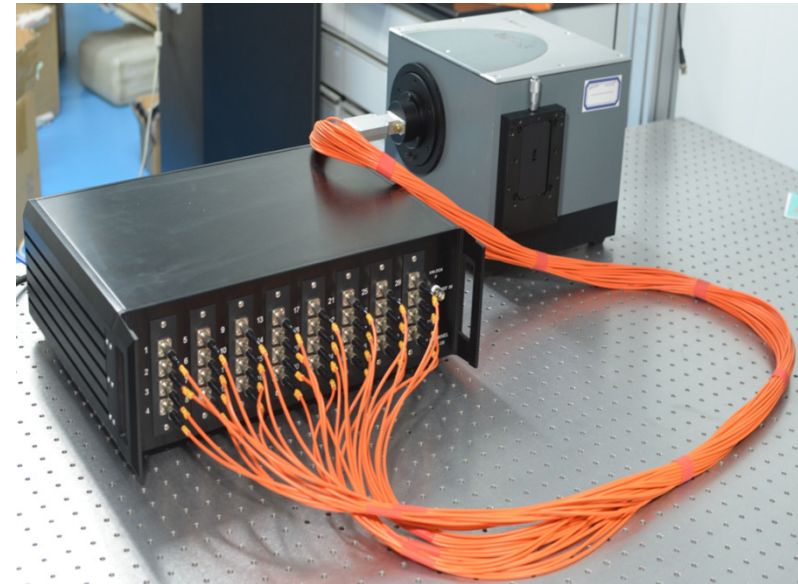
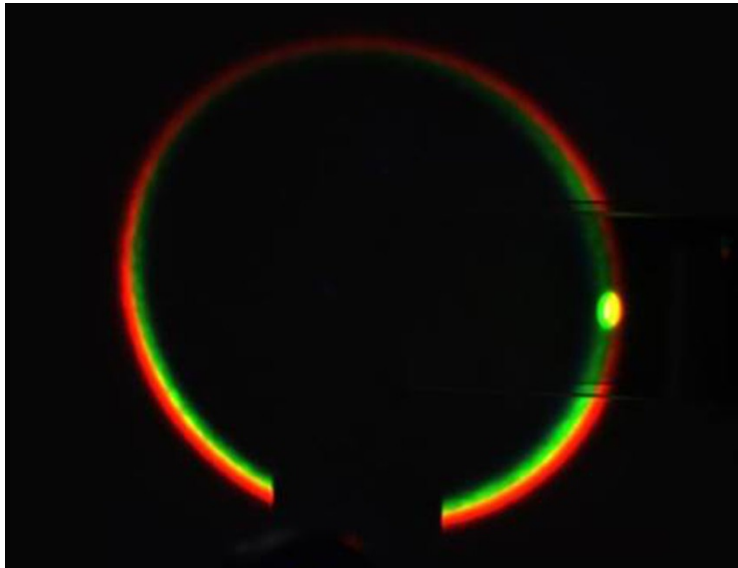
- 真空量子噪声被泵浦光放大产生荧光环
- 荧光环与信号时间和空间均不可分开
- 量子噪声完全随机无法减掉



$10^{-3}$  M与 $10^{-5}$  M罗丹明6G溶液被放大效果投影图

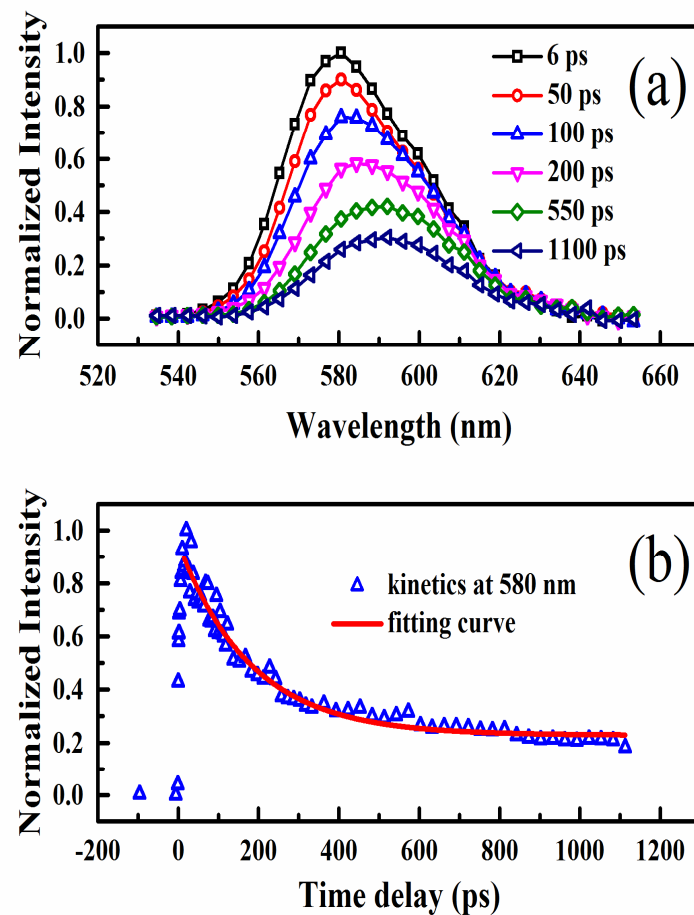
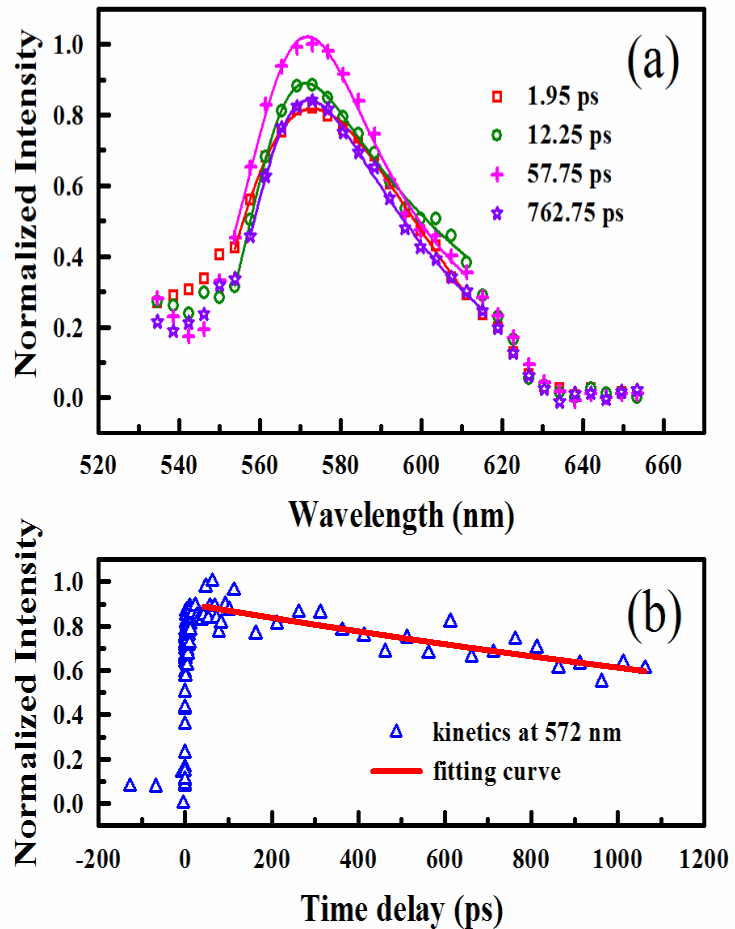
# 实验系统的改进

---



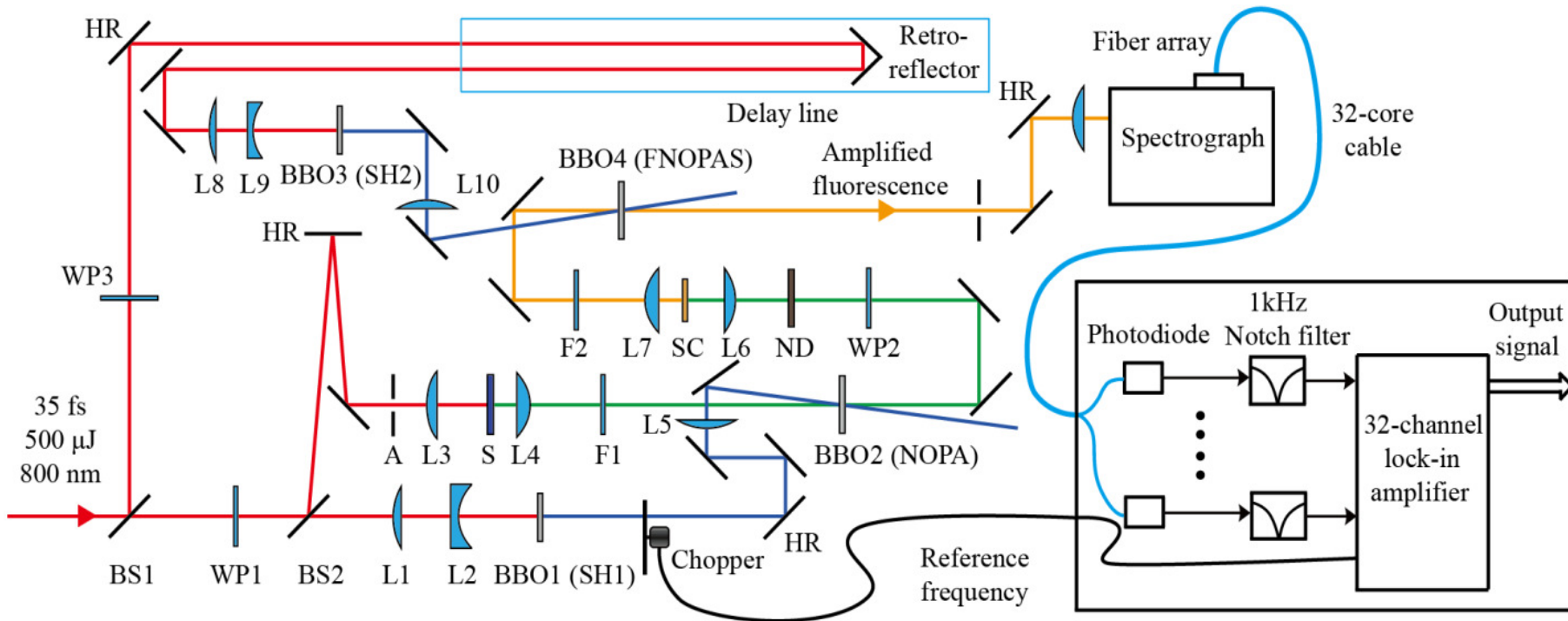
合作研发的光纤接口32通路并行数字锁相放大器

- 荧光环抑制能力: **1/300—1/100**
- 动态范围**100 dB**, 响应极限 **$10^{-13}$  A**
- 同时摄谱**122 nm**或**256 nm**



**10<sup>-5</sup> M与10<sup>-3</sup> M的R6G乙醇溶液的时间分辨光谱与峰值处的动力学曲线**

# 荧光放大系统简介

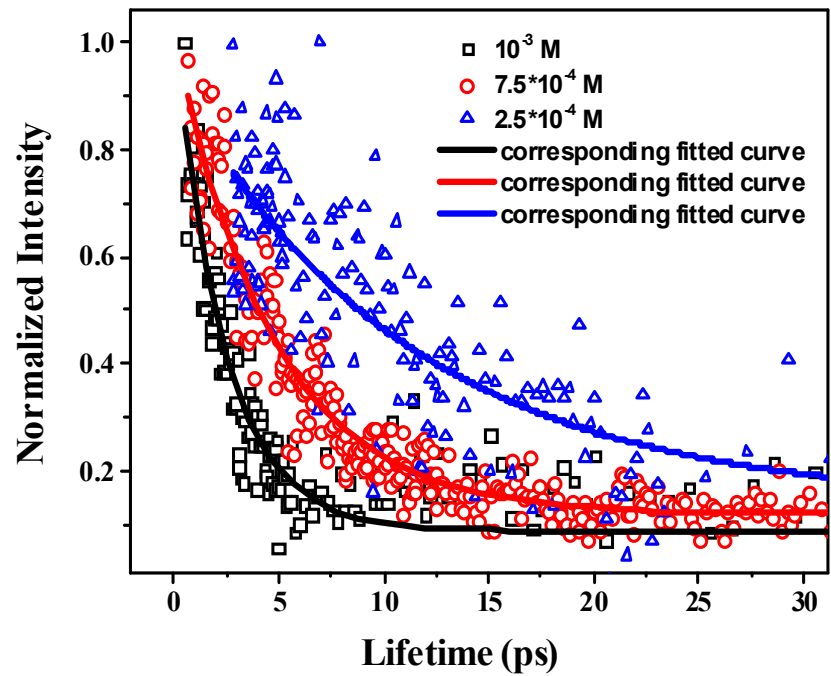


优点：时间分辨率**100 fs**

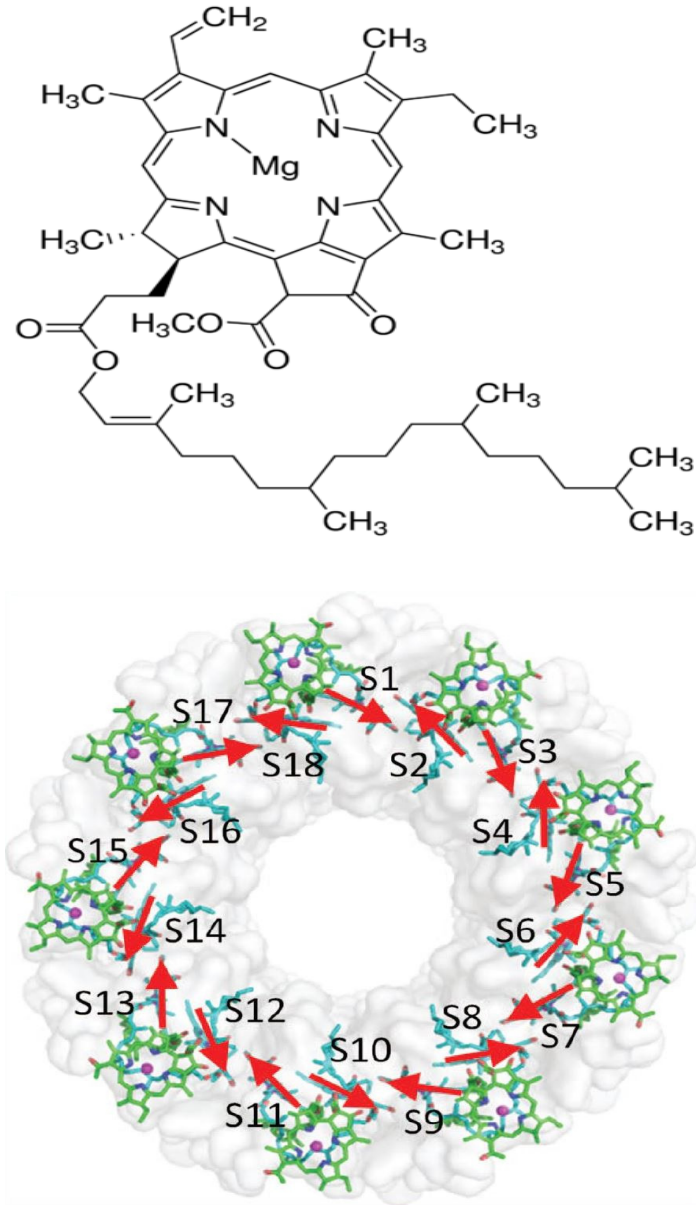
有增益测量，探测极限**13个非相干光子**

可见光区域单次放大光谱范围 **110 nm (2500 cm<sup>-1</sup>)**

# 改进后系统的应用（叶绿素a）



叶绿素a的荧光寿命随浓度的变化关系



当前位置： 首页 > 新闻动态 > 科研动态

---

中国科学院物理研究所  
北京凝聚态物理国家实验室

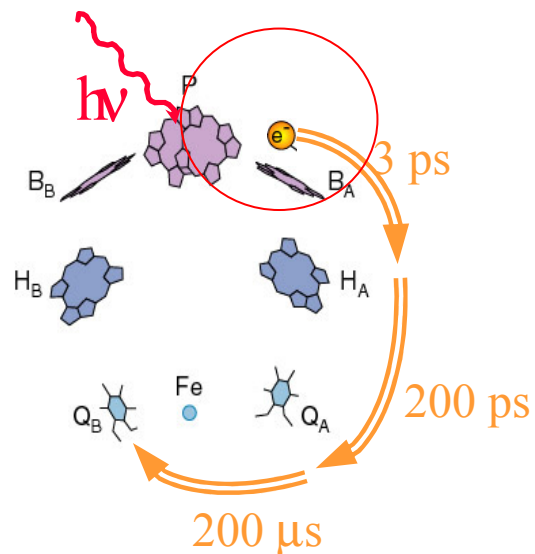
SM6组供稿

第71期

2015年12月31日

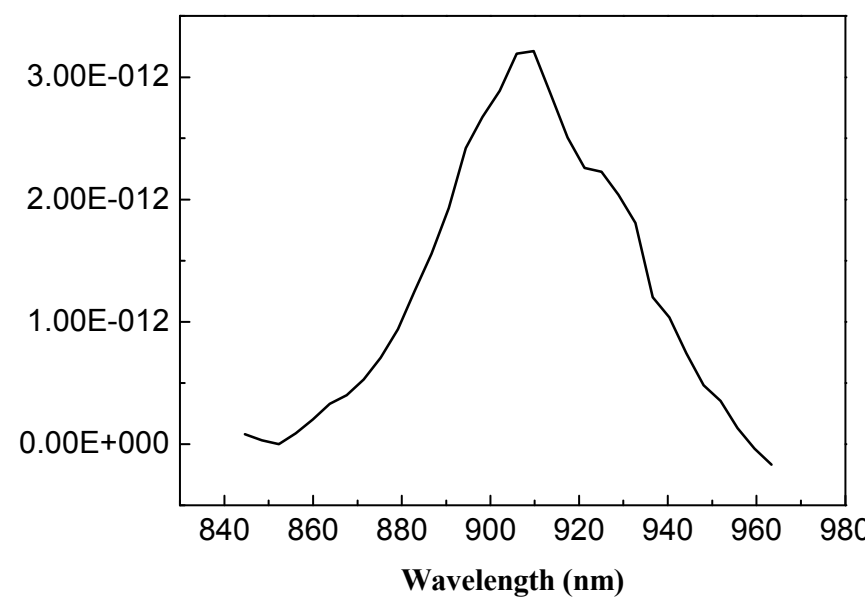
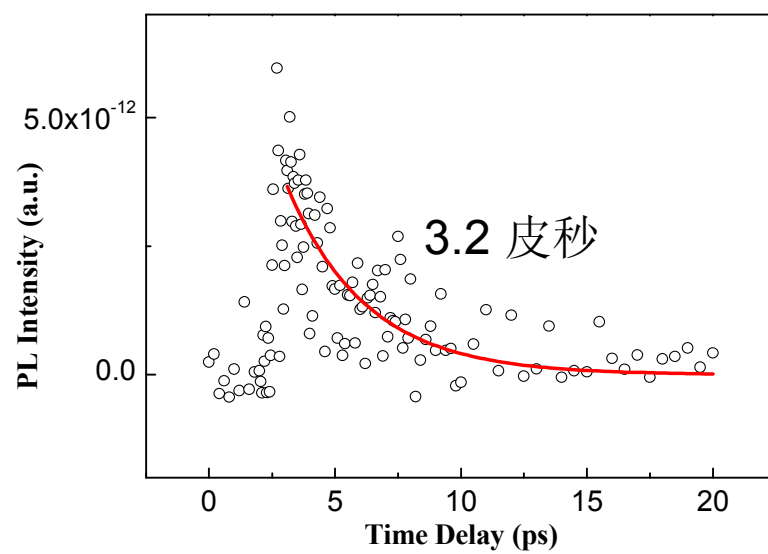
## 相干焉否单光子？成败荣辱一噪声—飞秒时间分辨荧光光谱新方法取得新进展

“与其临渊羡鱼，不如退而结网”这一谚语是告诫那些手中没有工具的人，不要在别人收获的季节去凑热闹，幻想着去分一杯羹，而是静下心来，好好去打造自己的工具，等待属于自己的机会。这句古训不仅仅是古人生存经验的总结，对今日现代科学的研究的指点也寓意犹新。



荧光量子效率 1%

3.0 ps – 4.0 ps averaged



## (2) 飞秒时间分辨可见及中红外瞬态吸收光谱

---

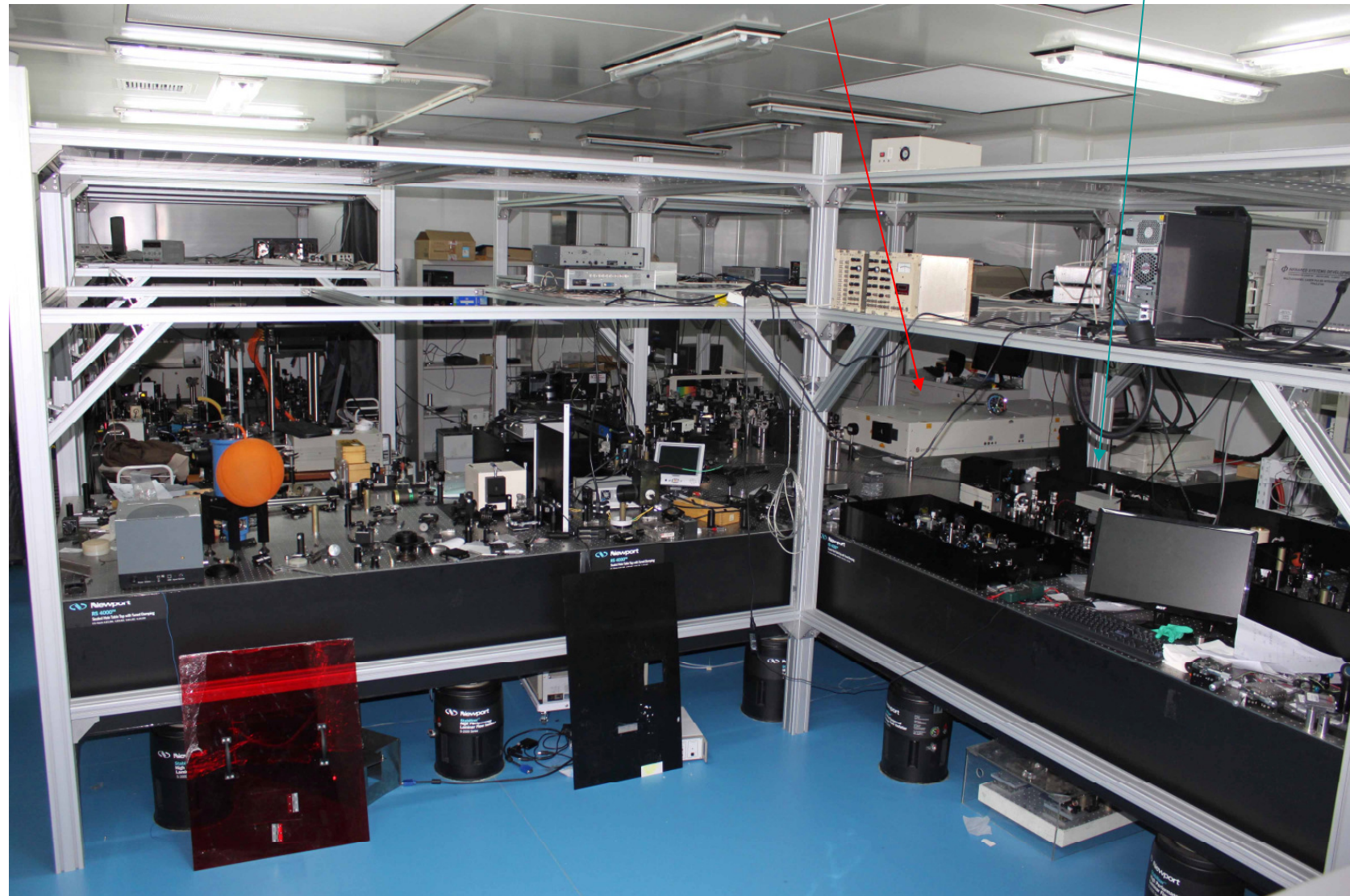
有机小分子半导体薄膜中存在光生自由载流子的实验证明

长春应化所闫东航研究组合作

Scientific Reports 2015

fs时间分辨中红外光谱

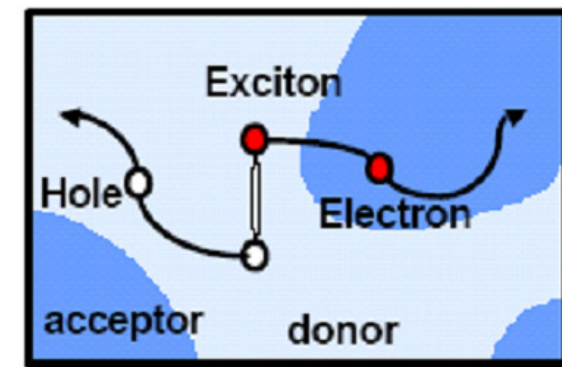
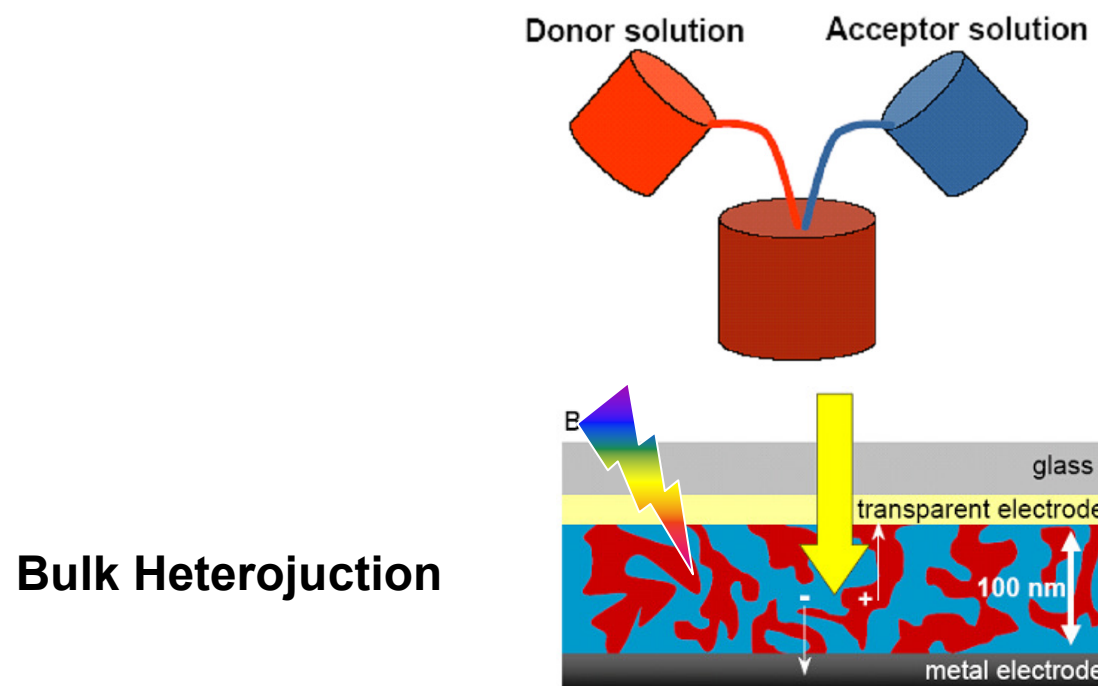
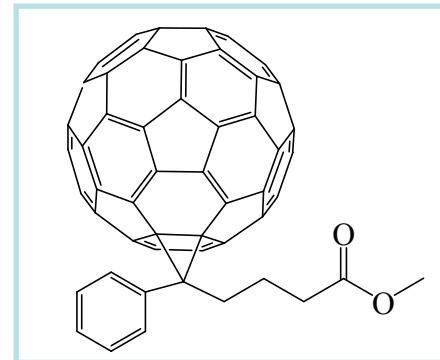
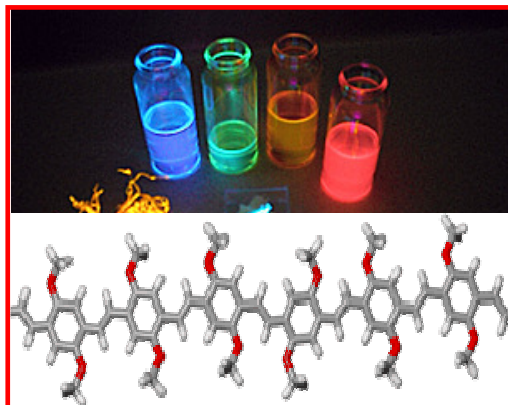
# 35飞秒激光器



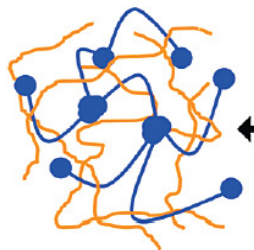


软

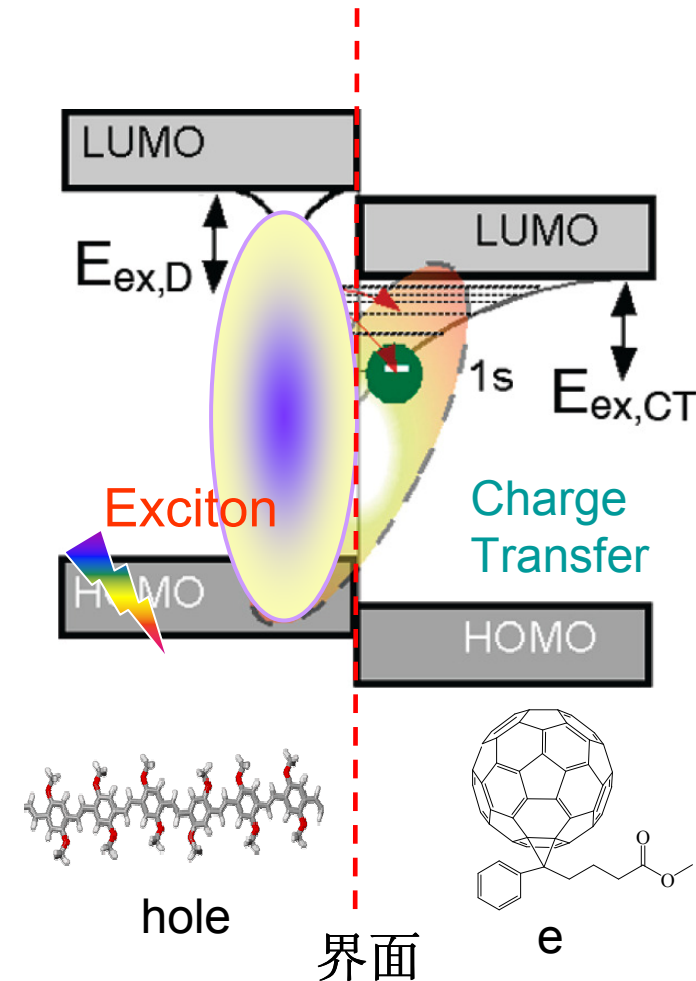
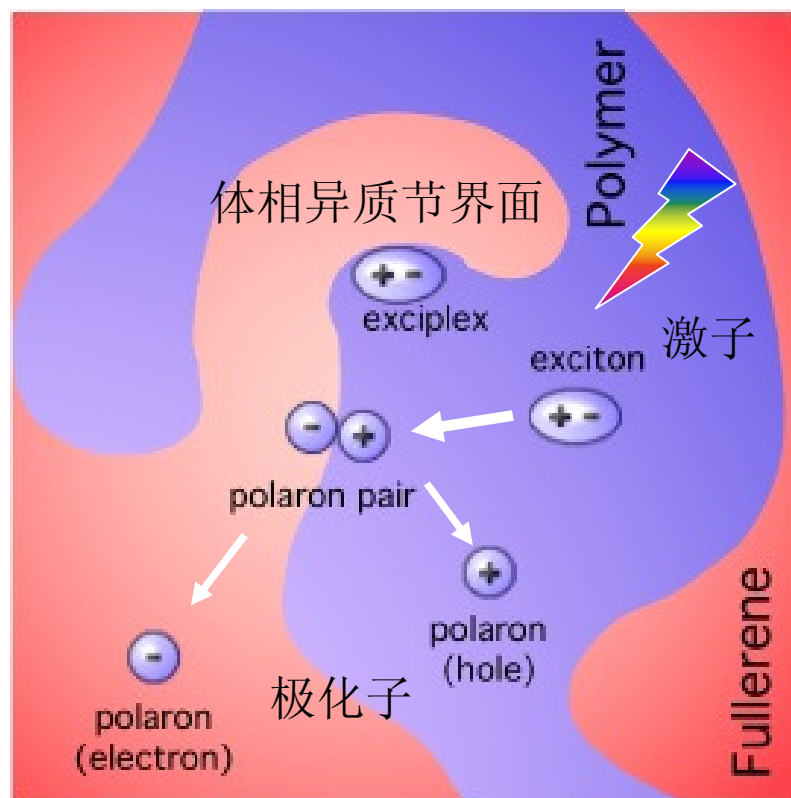
# 两种有机半导体材料：1. 共轭长链高分子



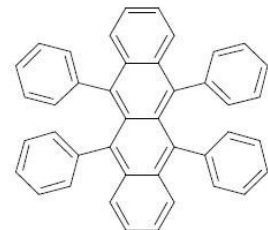
# 激子扩散长度决定光电转换效率



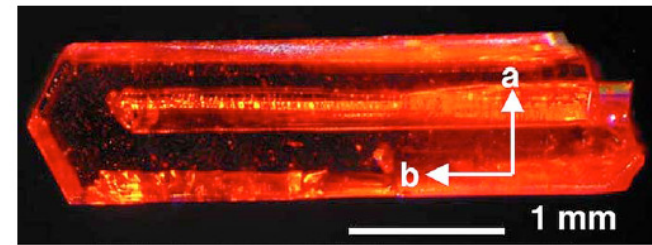
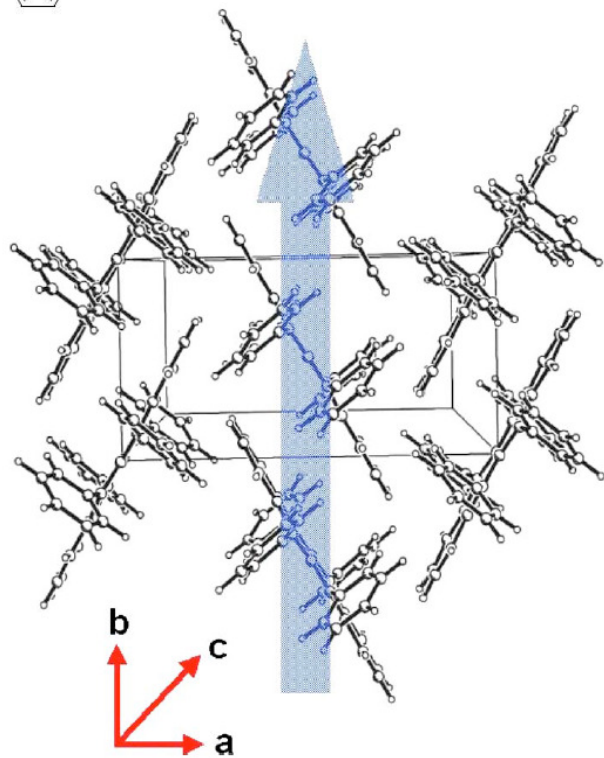
高分子聚合物一般难以形成完整的晶格，无法形成能带结构



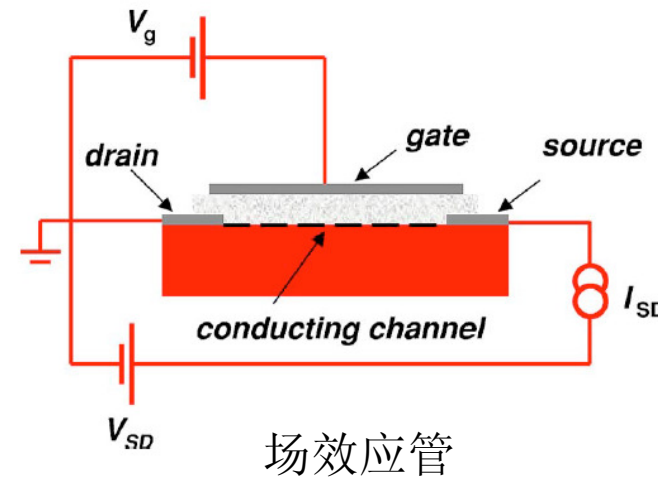
## 两种有机半导体材料：2. 平面共轭有机小分子



Rubrene 红荧烯

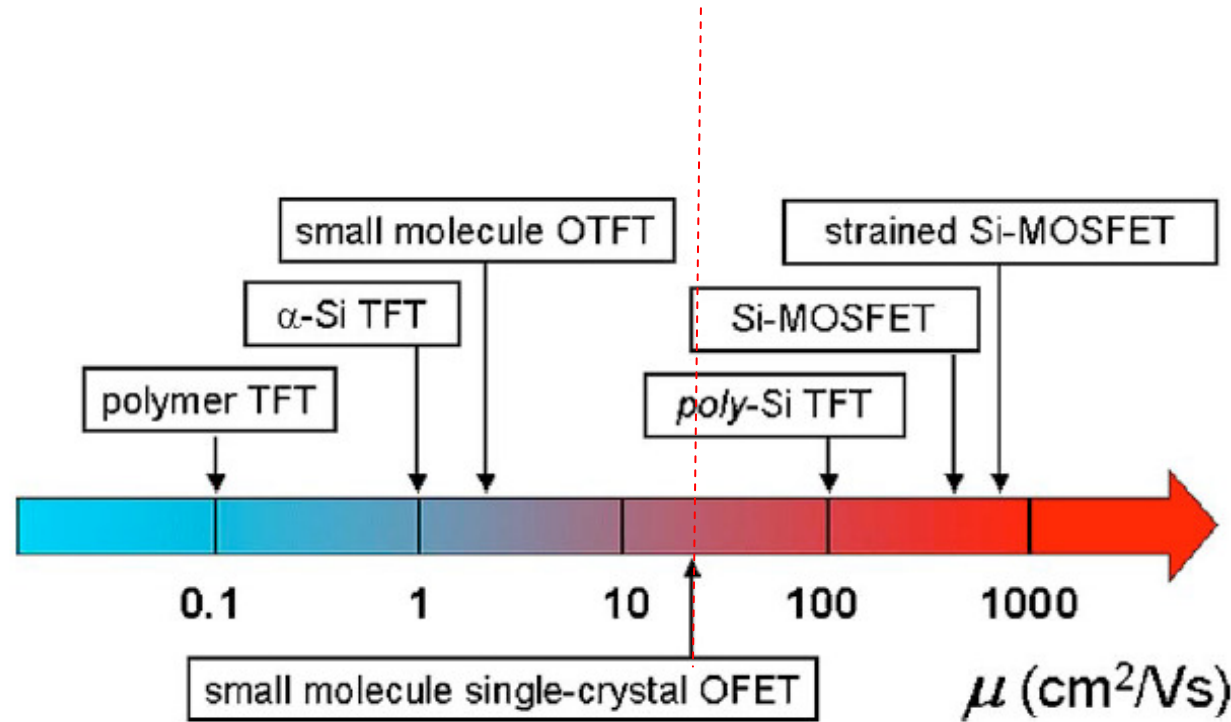


2008 THz 瞬态光电导实验提出可能存在光生自由载流子  
Ostroverkhova, APL, 2006, 88, 162101



Gershenson, M.; Podzorov, V.; Morpurgo, A. *Rev. Modern Phys.* **2006**, 78 (3), 973.

# 有机场半导体和无机半导体迁移率的差异



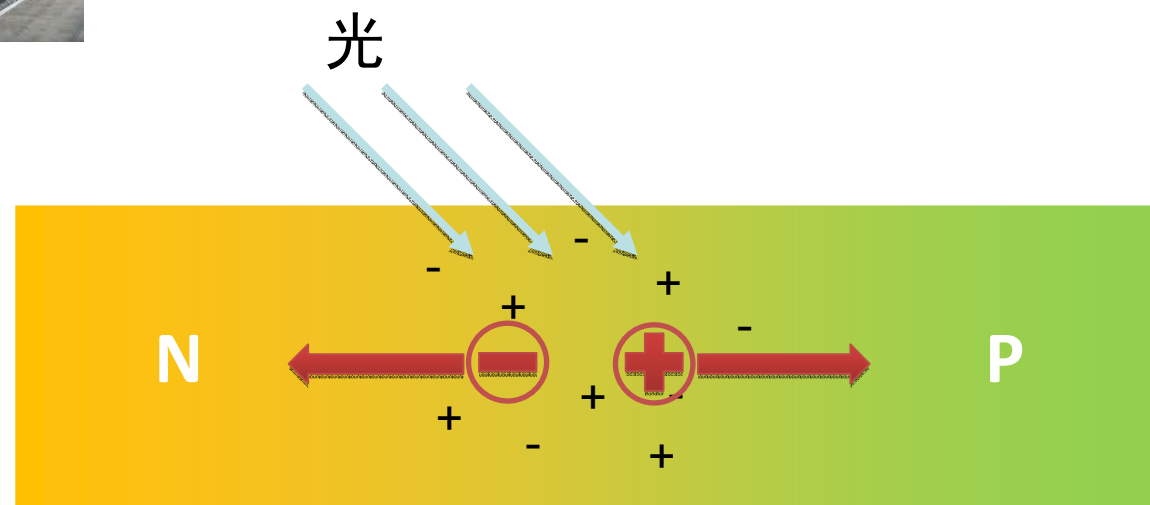
Gershenson, M.; Podzorov, V.; Morpurgo, A. *Reviews of Modern Physics* **2006**, 78 (3), 973

# 光 光

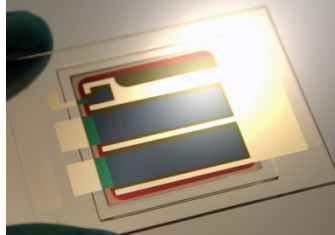
---



- 1.共价键作用，相邻原子间作用强
- 2.介电常数大，对电荷屏蔽作用大

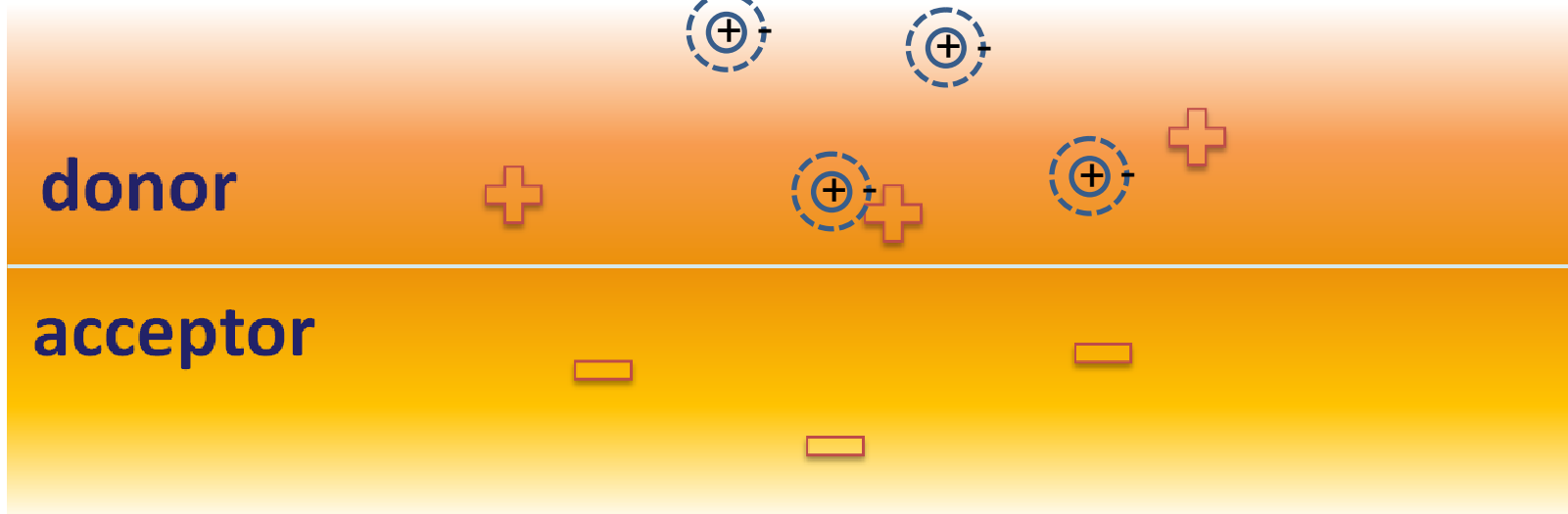


# 光



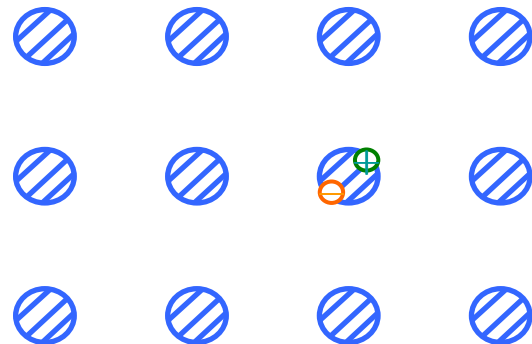
光

1. 有机材料中分子间耦合作用弱
2. 有机材料内介电常数低

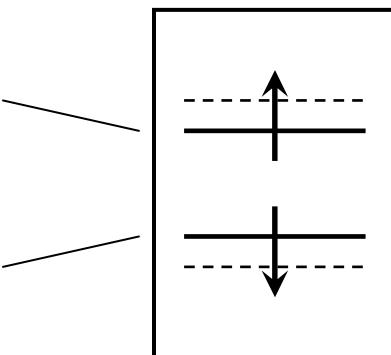
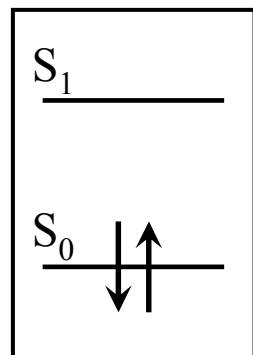


# 有机小分子半导体是否存在本征光生自由载流子

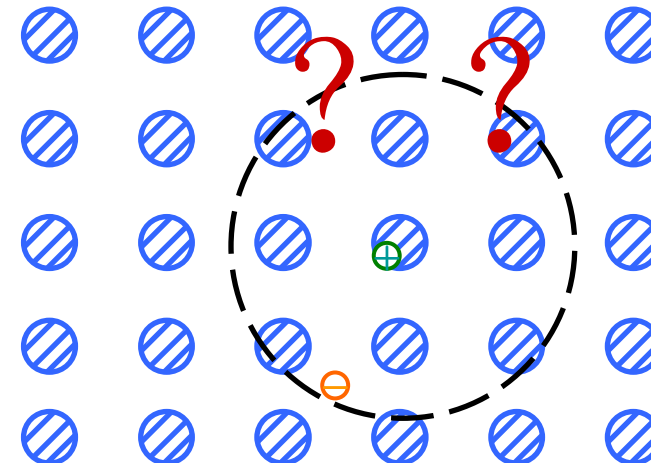
(a) Frenkel Excitation



Molecular picture



(b) Wannier Excitation



Semiconductor picture

Conduction Band

Valence Band

Conduction Band

Valence Band

何谓本征光生载流子

---

光

学

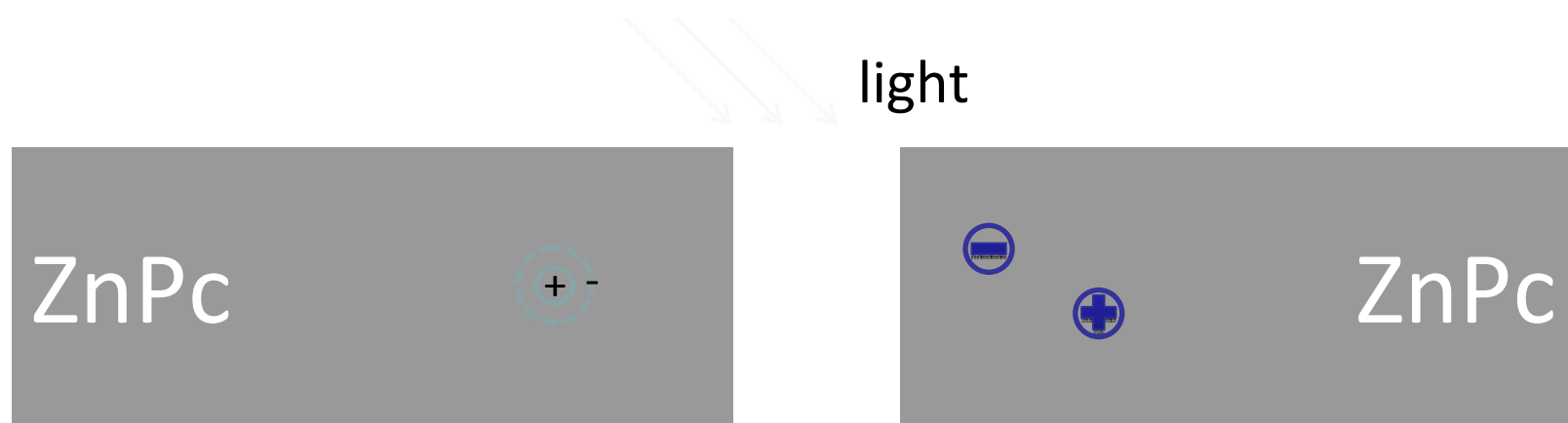
要求非接触测量

光学测量

# 科学

---

有机小分子晶体中是否存在本征载流子?



# Drude 光

---

$$\alpha(\omega) \propto \operatorname{Re}(\sigma(\omega)) = \operatorname{Re}\left(\frac{ne^2}{m} \frac{\tau}{1 - i\omega\tau}\right) = \frac{ne^2}{m} \frac{\tau}{1 + (\omega\tau)^2}$$

$$\alpha(\lambda) \propto \frac{ne^2}{m} \frac{\tau}{1 + (\omega\tau)^2} \propto \frac{\tau\lambda^2}{\lambda^2 + (c\tau)^2}$$

$$\alpha(\lambda) \propto \frac{ne^2}{m} \frac{\tau}{1 + (\omega\tau)^2} \propto \frac{\tau\lambda^2}{\lambda^2 + (c\tau)^2}$$

$$c\tau \gg \lambda$$

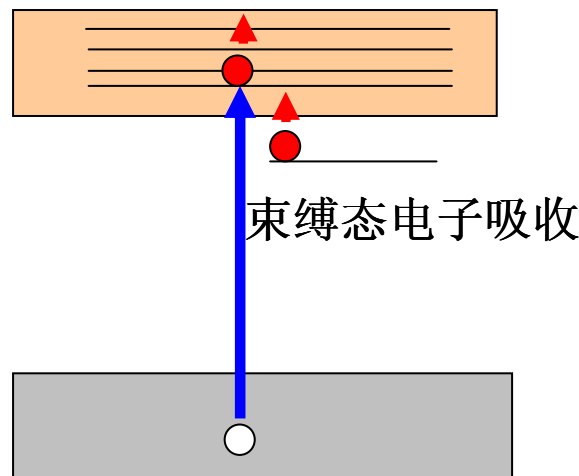
$$\alpha(\lambda) \propto \lambda^p = \lambda^2; \quad p = 2$$

光 理

Beard, et al., *Phys. Rev. B* **2000**, 62, 15764–15777

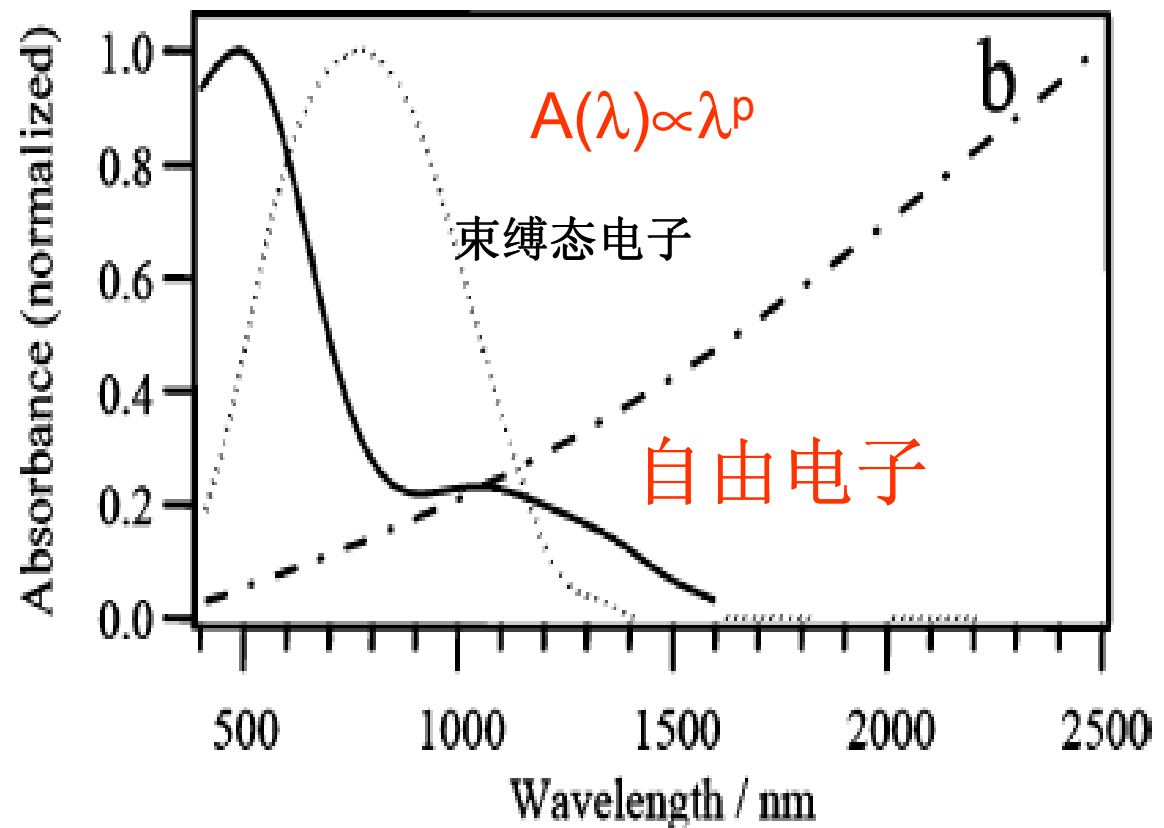
# 光生导带及束缚态电子的红外光谱表征

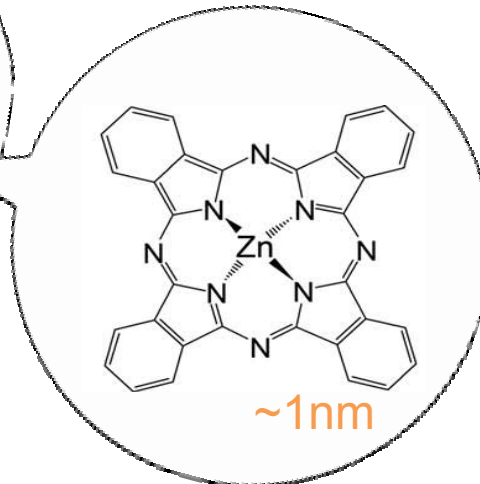
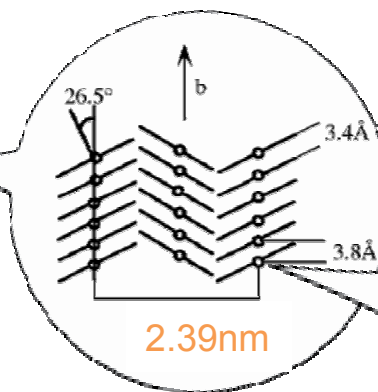
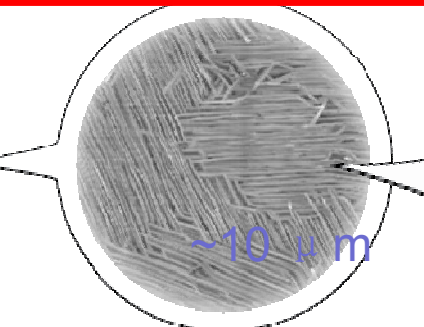
导带自由吸收光谱线型:  
 $A(\lambda) \propto \lambda^P$



$P=1.5$  conduction band electron

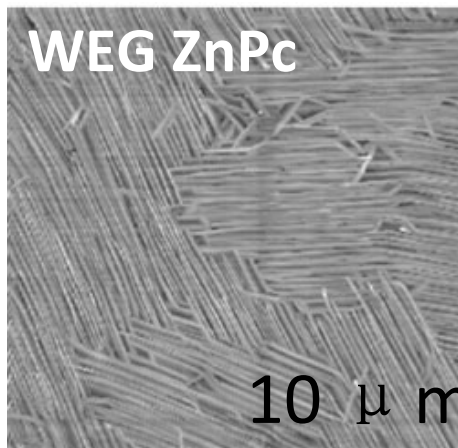
$P=2.5$  trapped electron





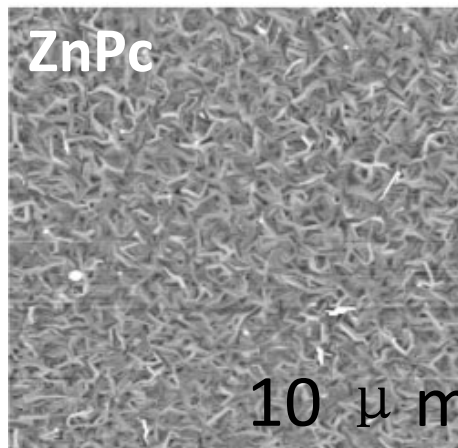
真空蒸镀法生长

WEG ZnPc



10 μm

ZnPc



10 μm

AFM形貌图

Wang, H., Zhu, F., Yang, J., Geng, Y., & Yan, D. (2007). Weak Epitaxy Growth Affording High-Mobility Thin Films of Disk-Like Organic Semiconductors. *Advanced Materials*, 19(16), 2168–2171.

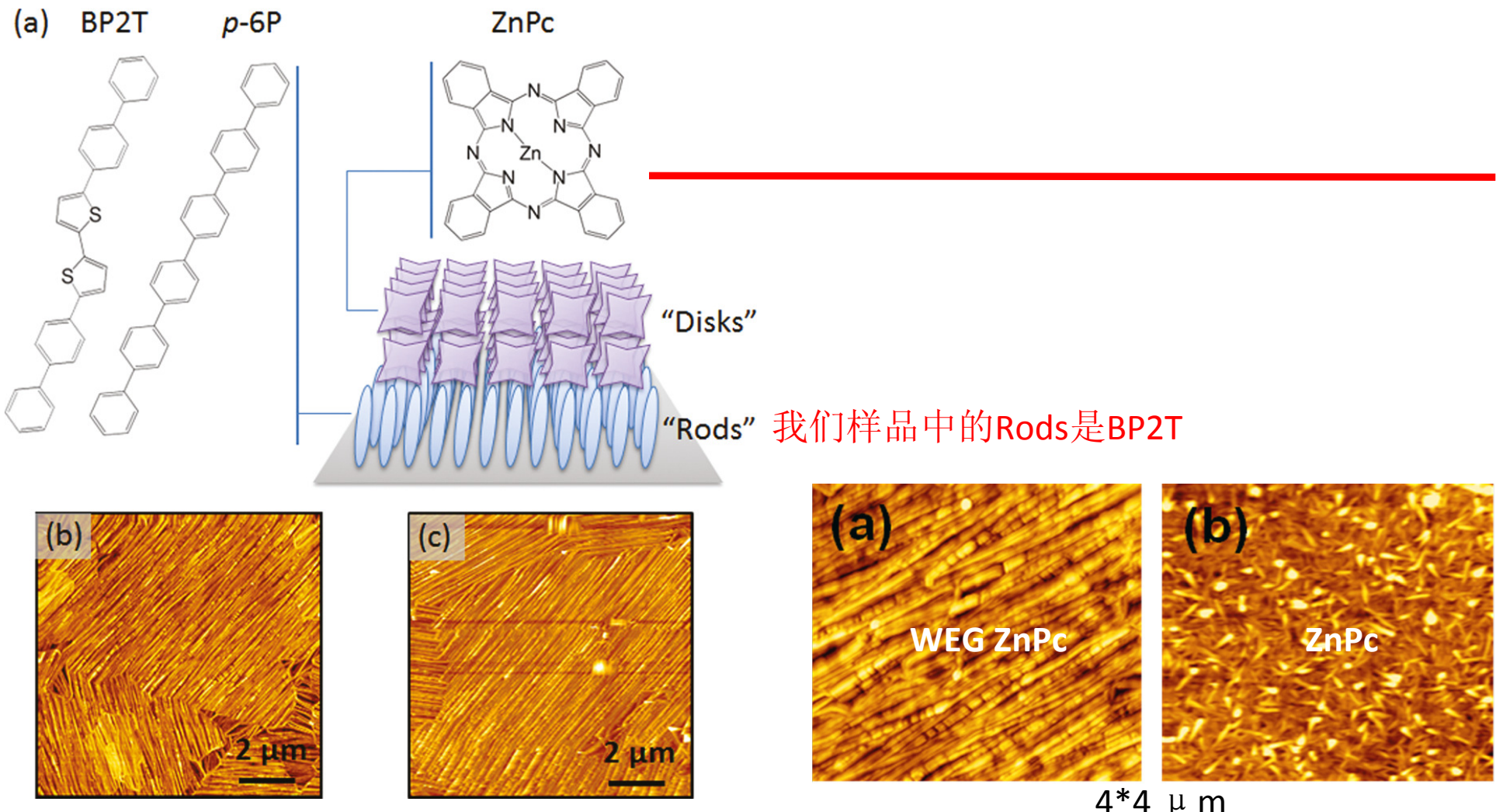


Figure 1. (a) Molecular structure of ZnPc, BP2T, and *p*-6P.

Schematic

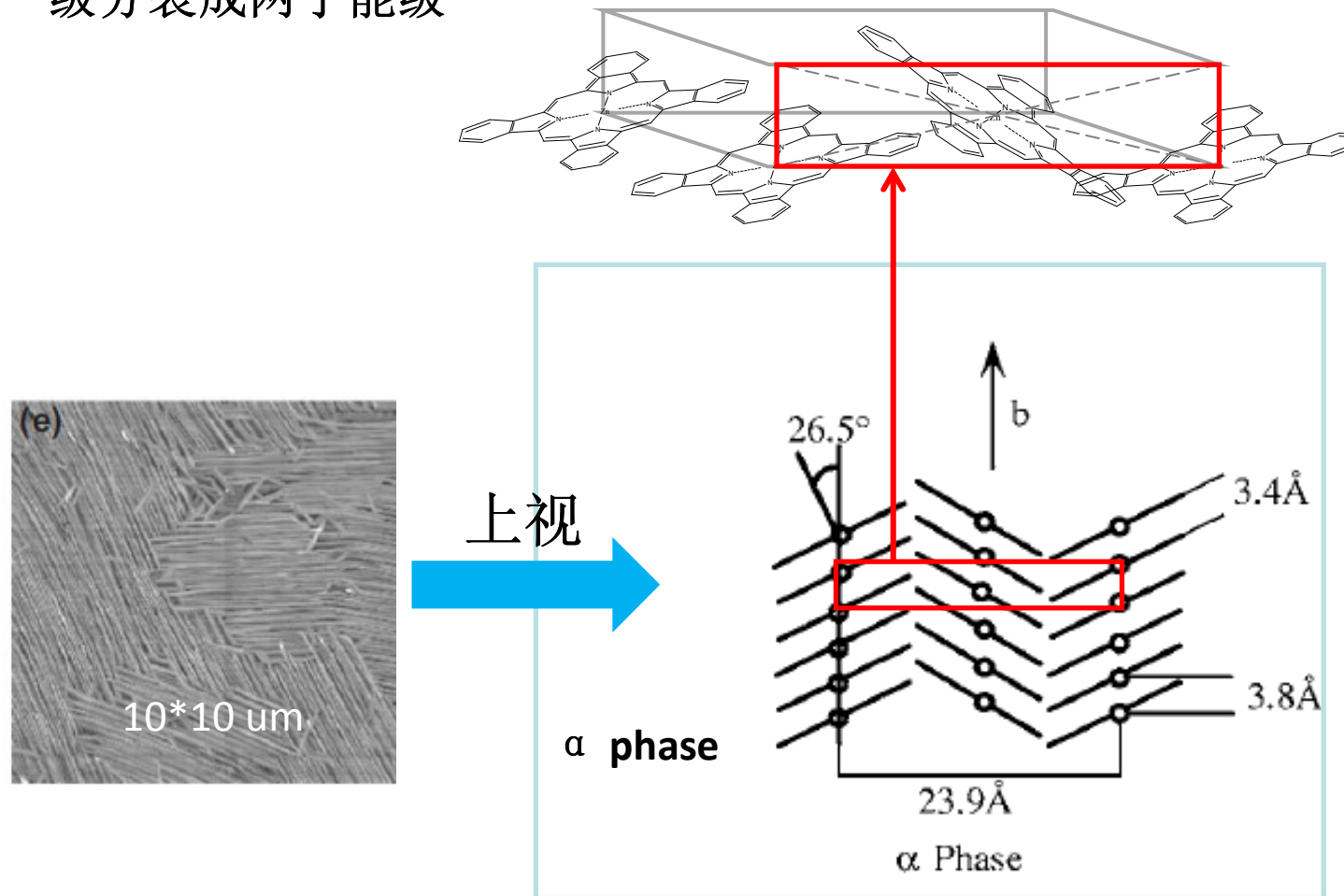
diagram of weak epitaxy growth of disklike molecules on rodlike molecules. (b, c) AFM image of ZnPc/BP2T and ZnPc/*p*-6P, respectively.

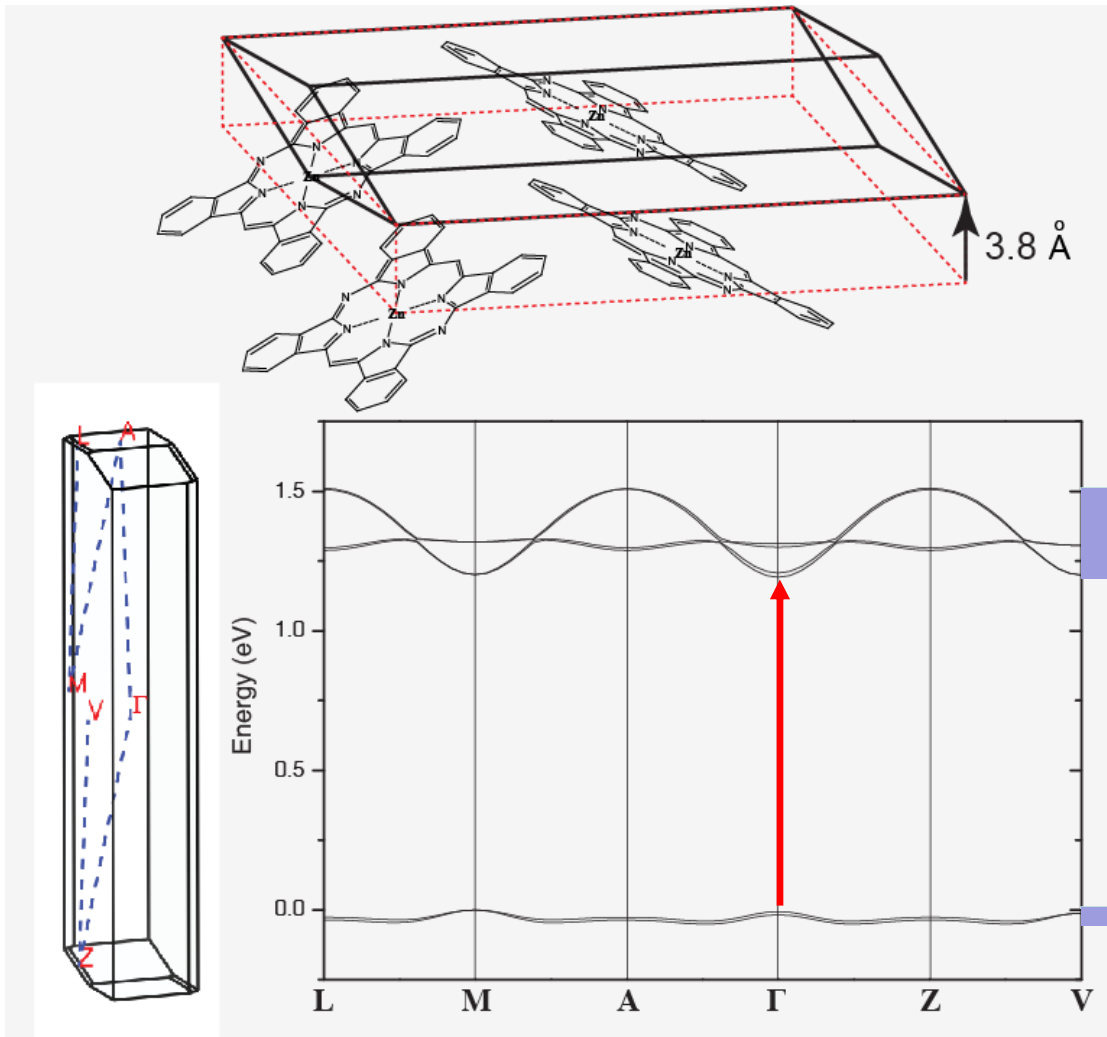
Zhu, F., Grobosch, M., & Treske, U. (2011). Hole Transparent and Hole Blocking Transport in Single-Crystal-Like Organic Heterojunction: When Rods Hold up Disks. *ACS Applied Materials & Interfaces*, 3, 2195–2199. Retrieved from <http://pubs.acs.org/doi/abs/10.1021/am200512d>

Yang, J., Zhu, F., Yu, B., Wang, H., & Yan, D. (2012). Simultaneous enhancement of charge transport and exciton diffusion in single-crystal-like organic semiconductors. *Applied Physics Letters*, 100(10), 103305. doi:10.1063/1.3692106

## 晶胞中大致的构型

一个单胞中有两个不同的平移对称分子，导致光谱中的每个能级分裂成两子能级





DFT in Dmol3  
GGA  
BLYP

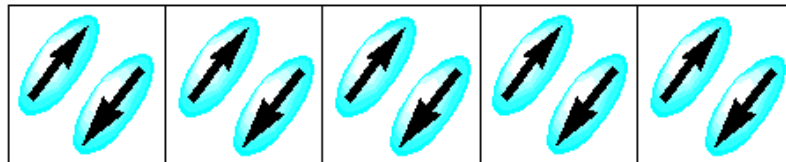
直接帶隙

0.318 eV

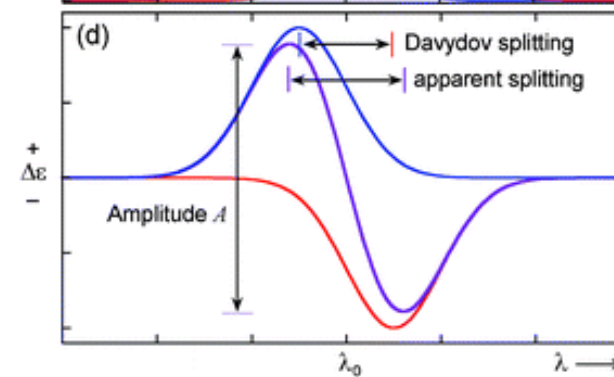
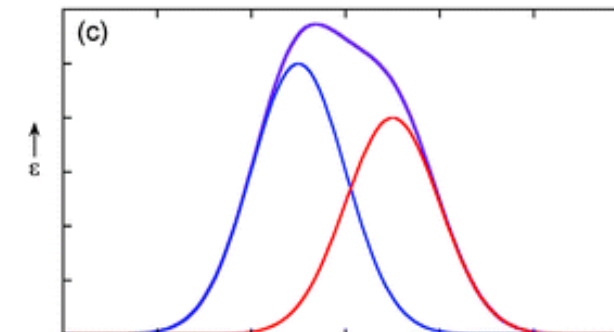
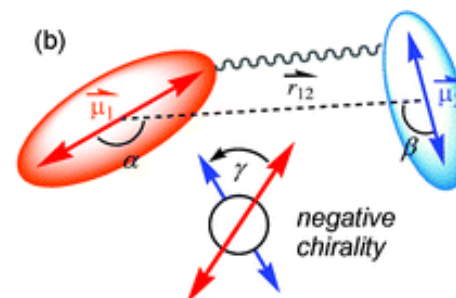
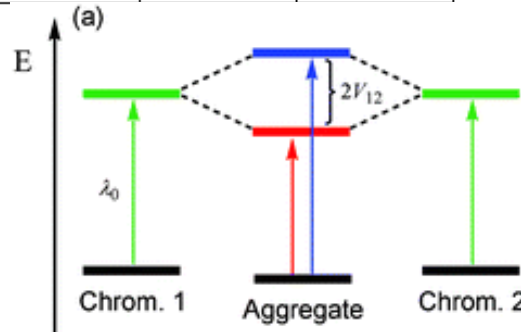
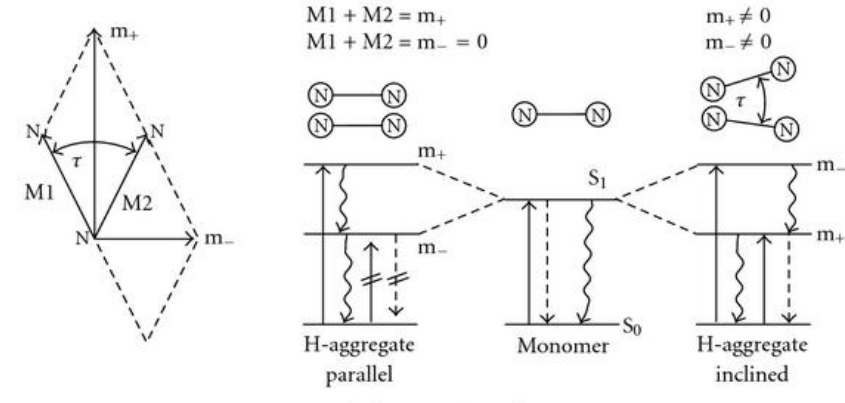
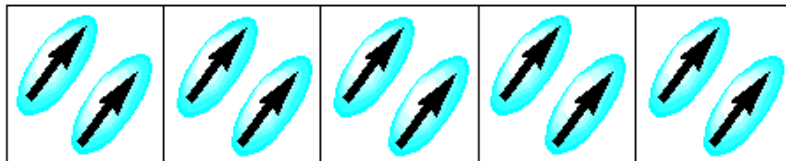
0.057 eV

# Davydov Splitting in Molecular Aggregates

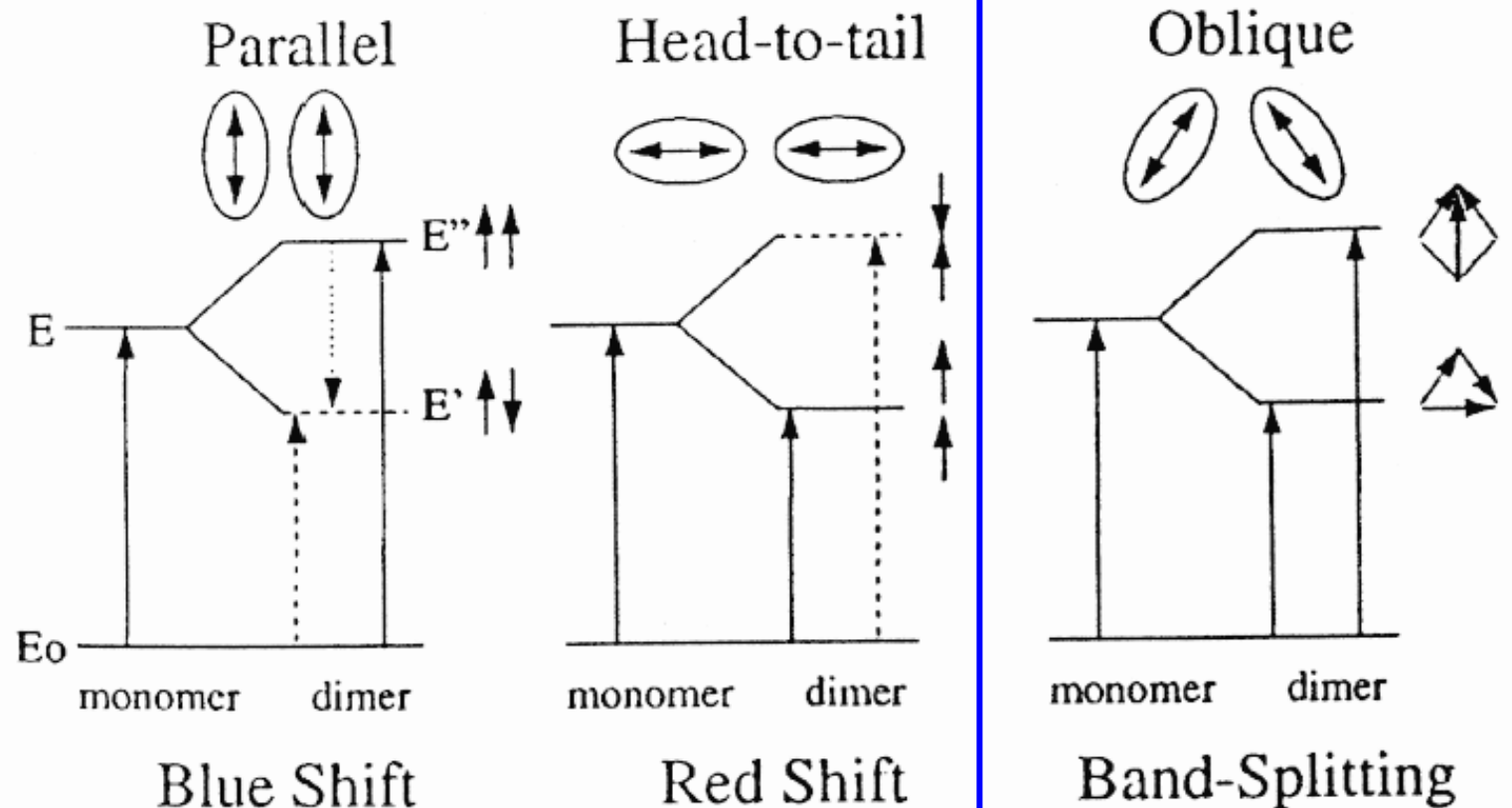
Davidov Splitting: low energy transition



Davidov Splitting: high energy transition

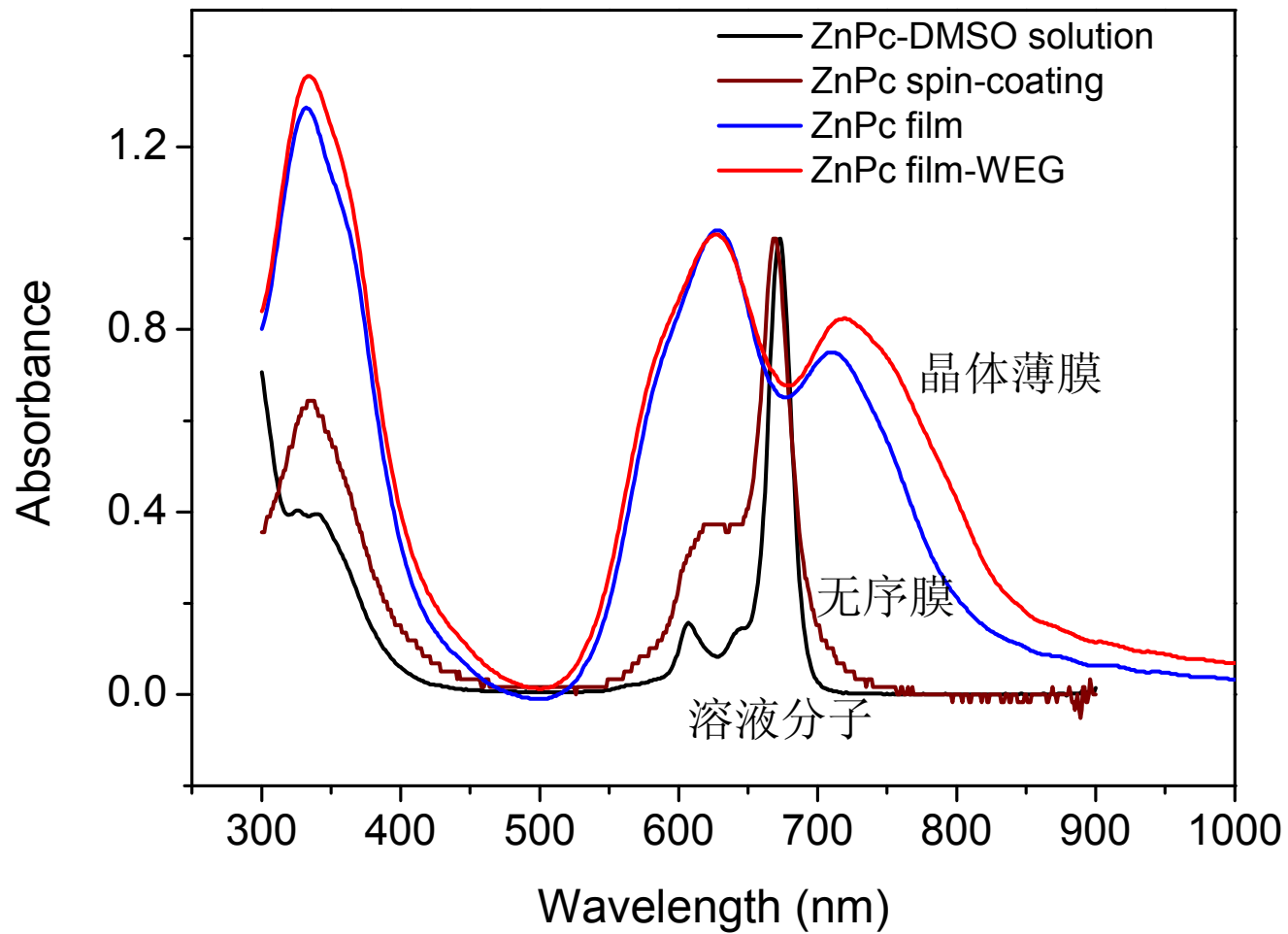


# 二聚体分子能级的Davydov Splitting



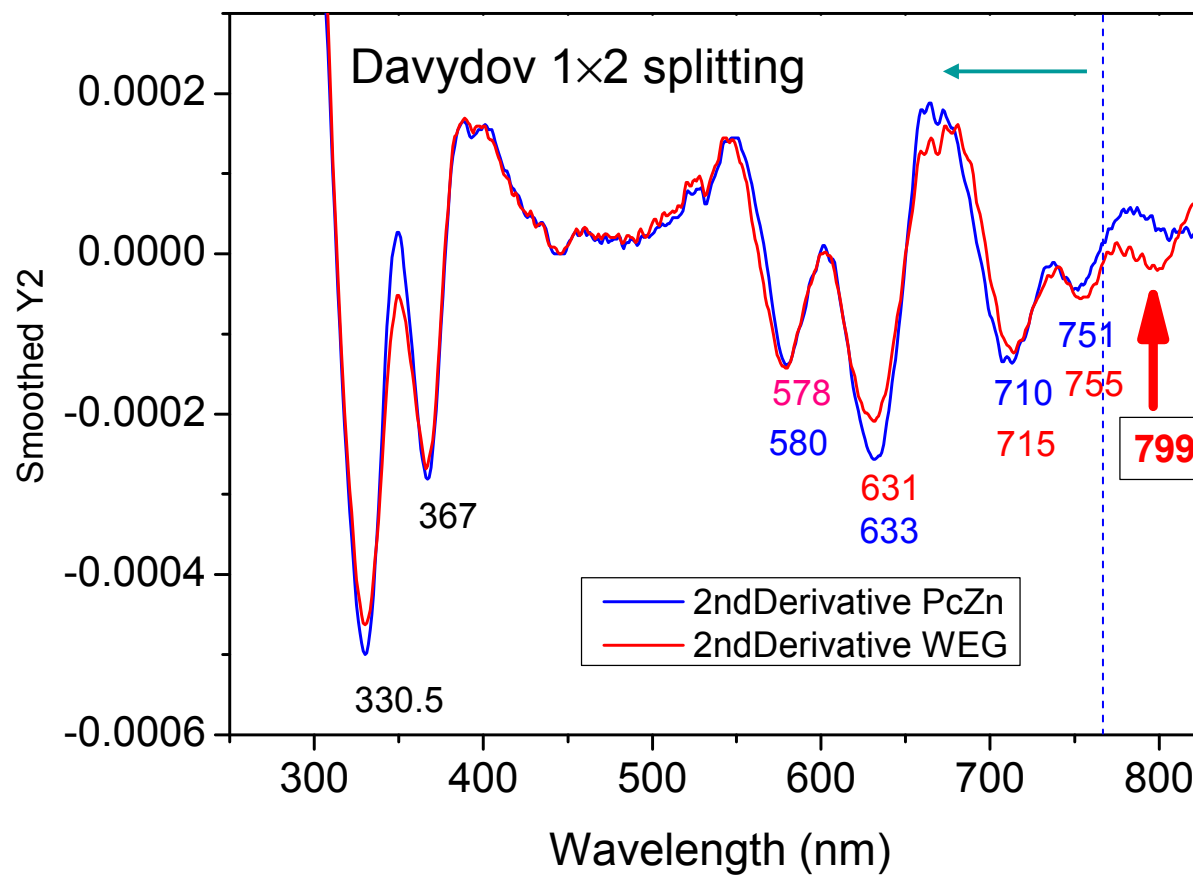
# 吸收光谱出现的Davydov 剪裂

---

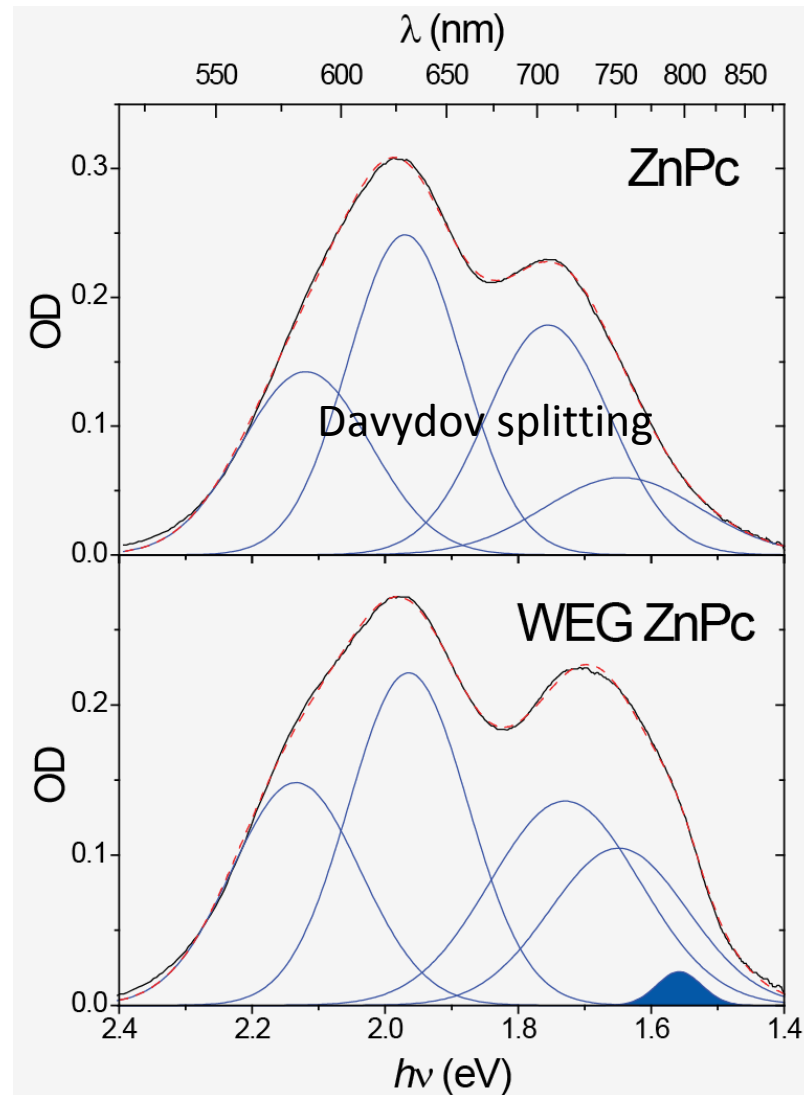
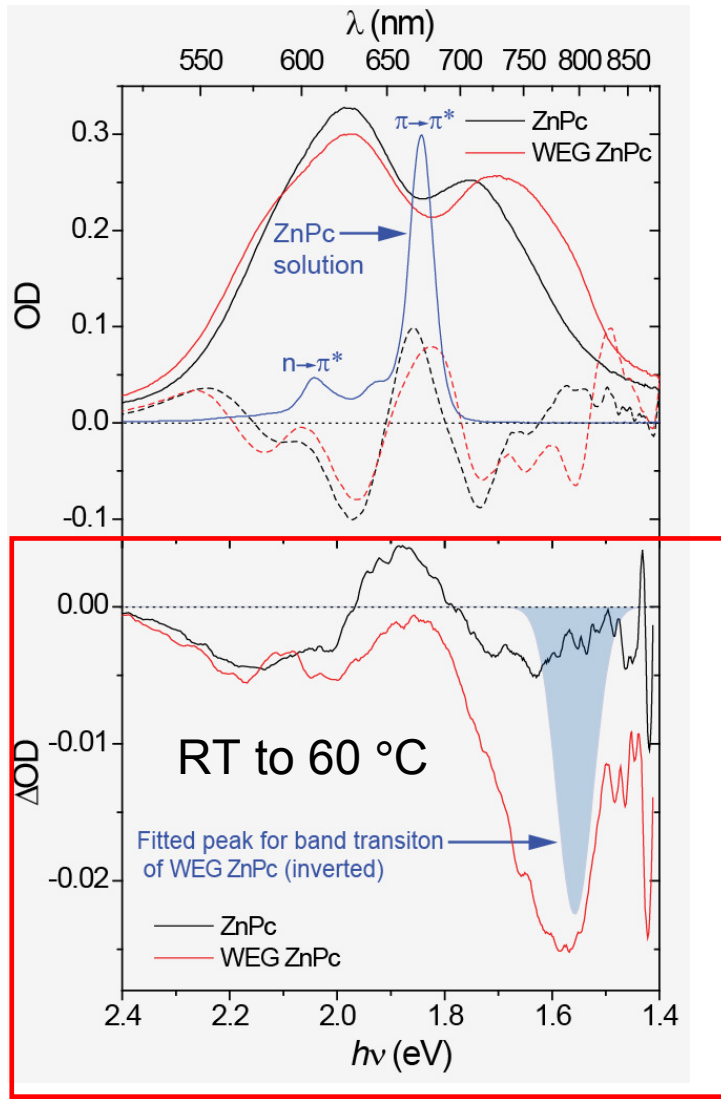


# ZnPc和ZnPc WEG二阶导数峰位比较：带隙跃迁峰的发现

ZnPc WEG 在799 nm处多出一峰！

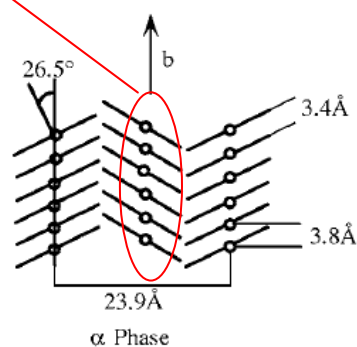
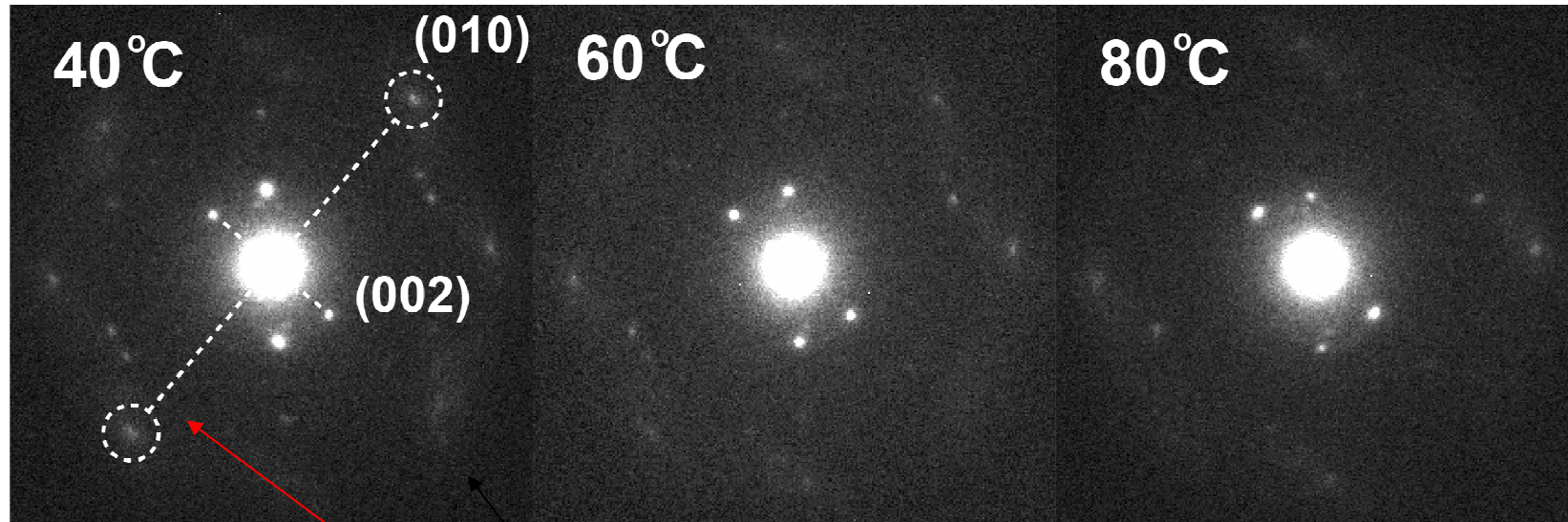


# 光 中



变温选区电子衍射证明升温导致晶格长程有序度变差，导致能带结构被破坏

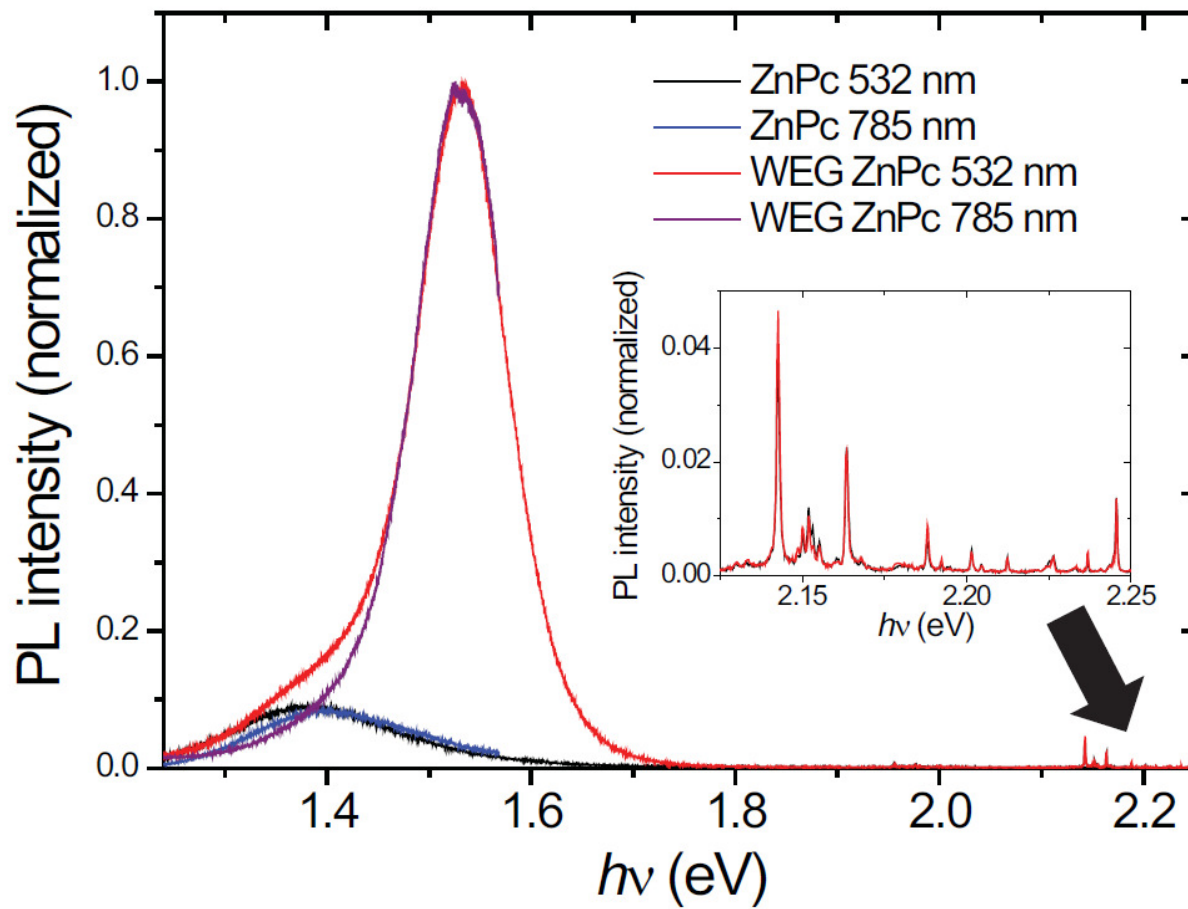
---



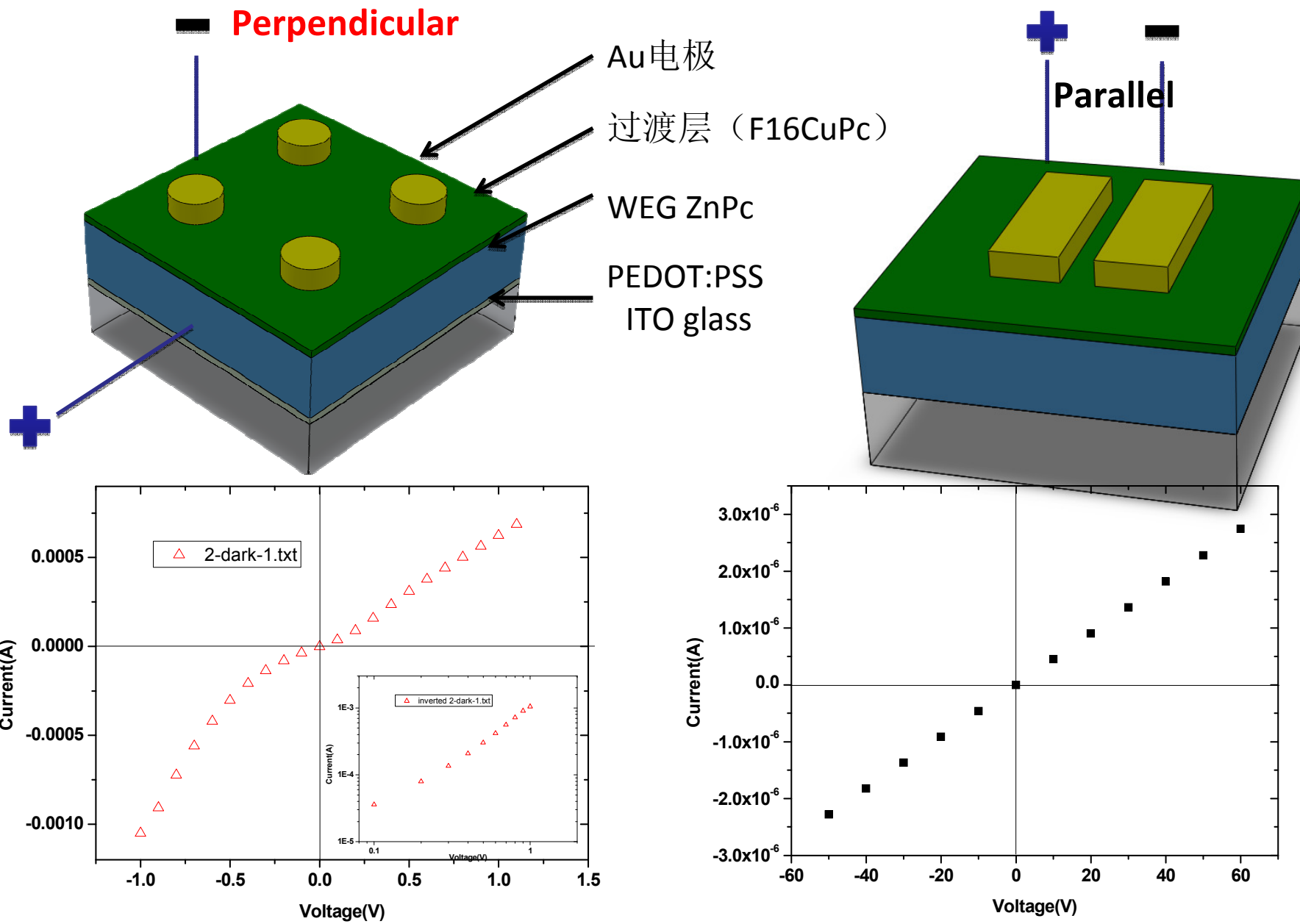
光

光

光

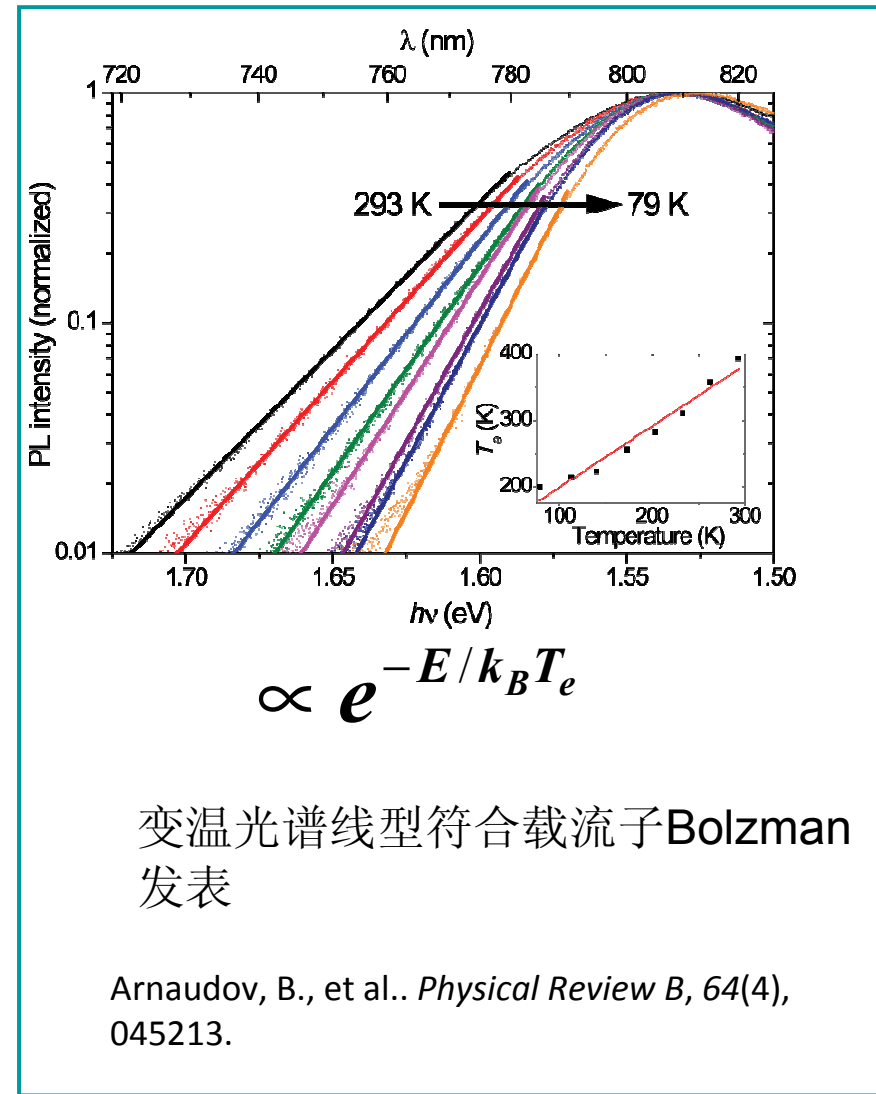
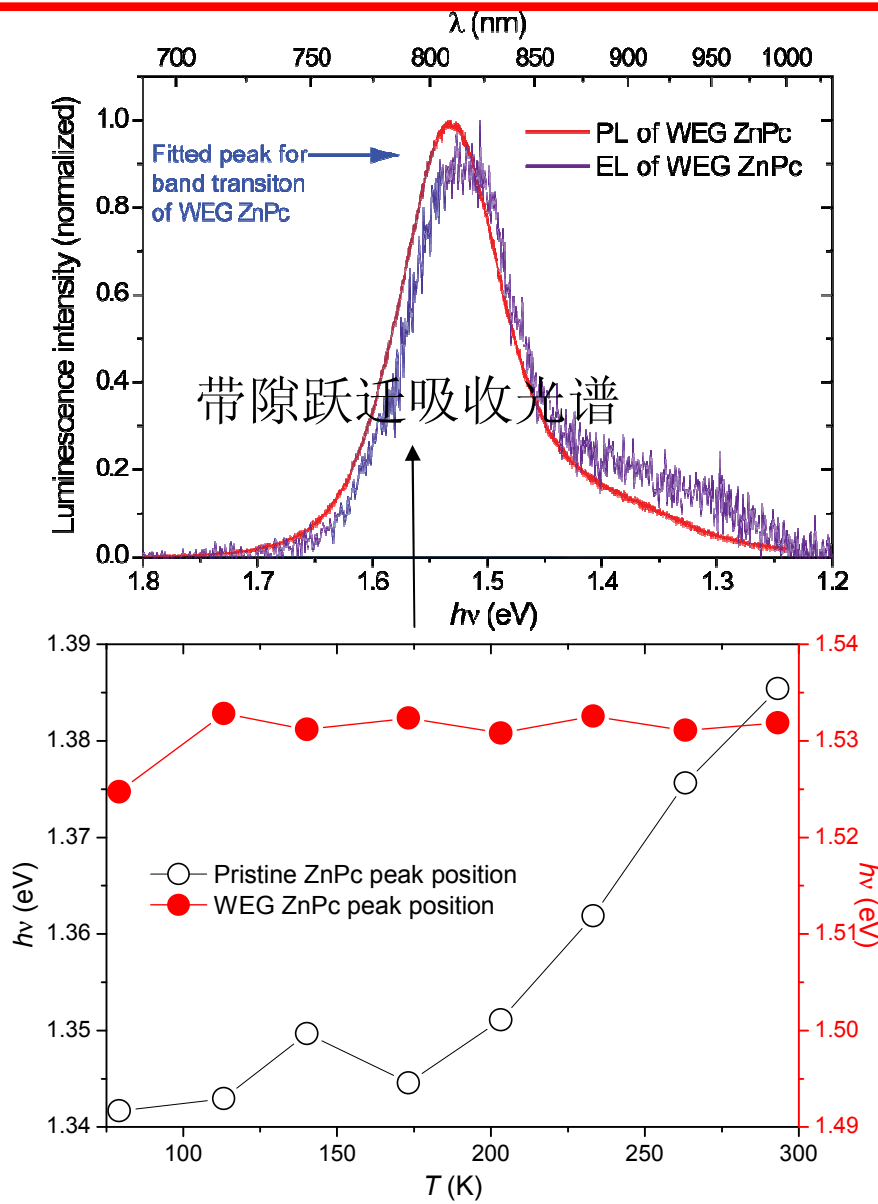


光



光

光光



Arnaudov, B., et al.. *Physical Review B*, 64(4),  
045213.

时间      光

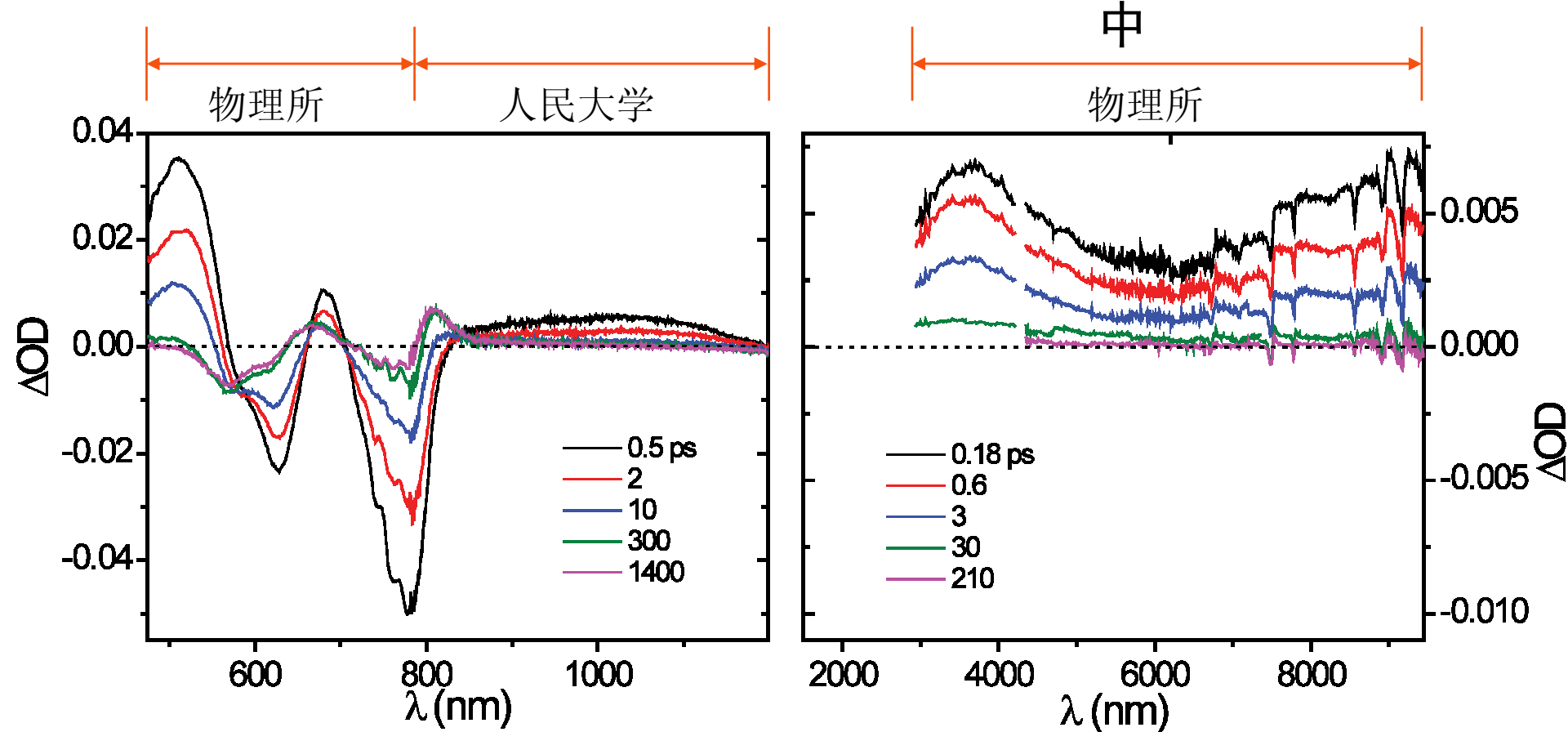
---

ZnPc

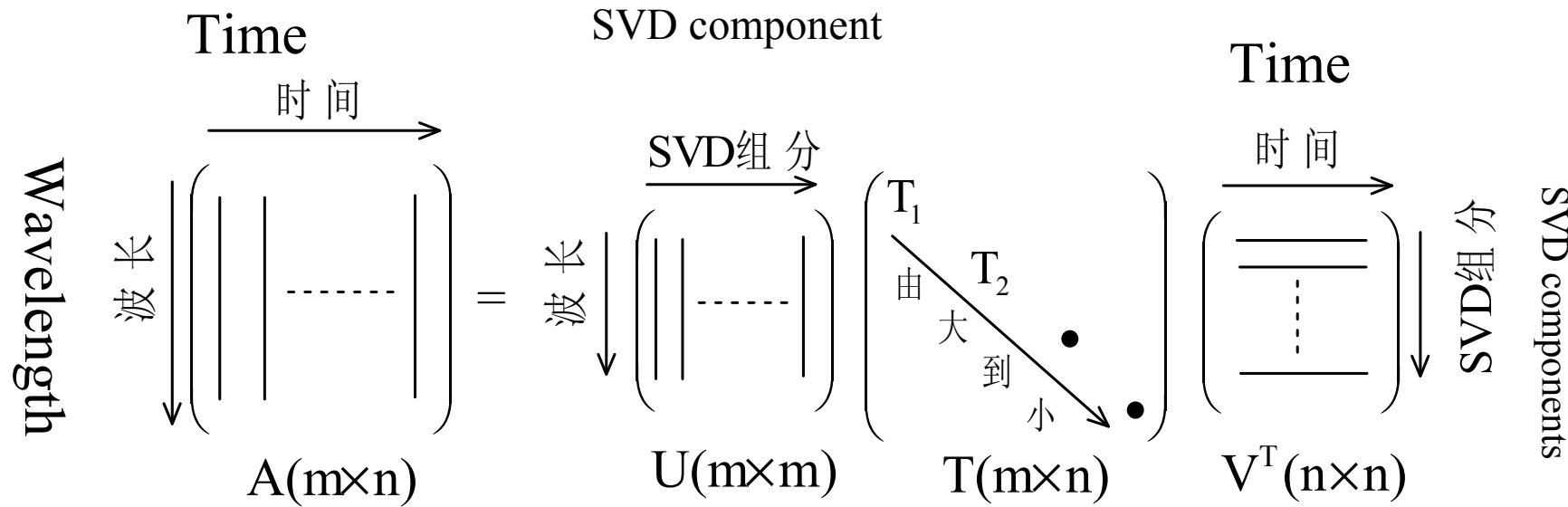
ZnPc

飞秒时间

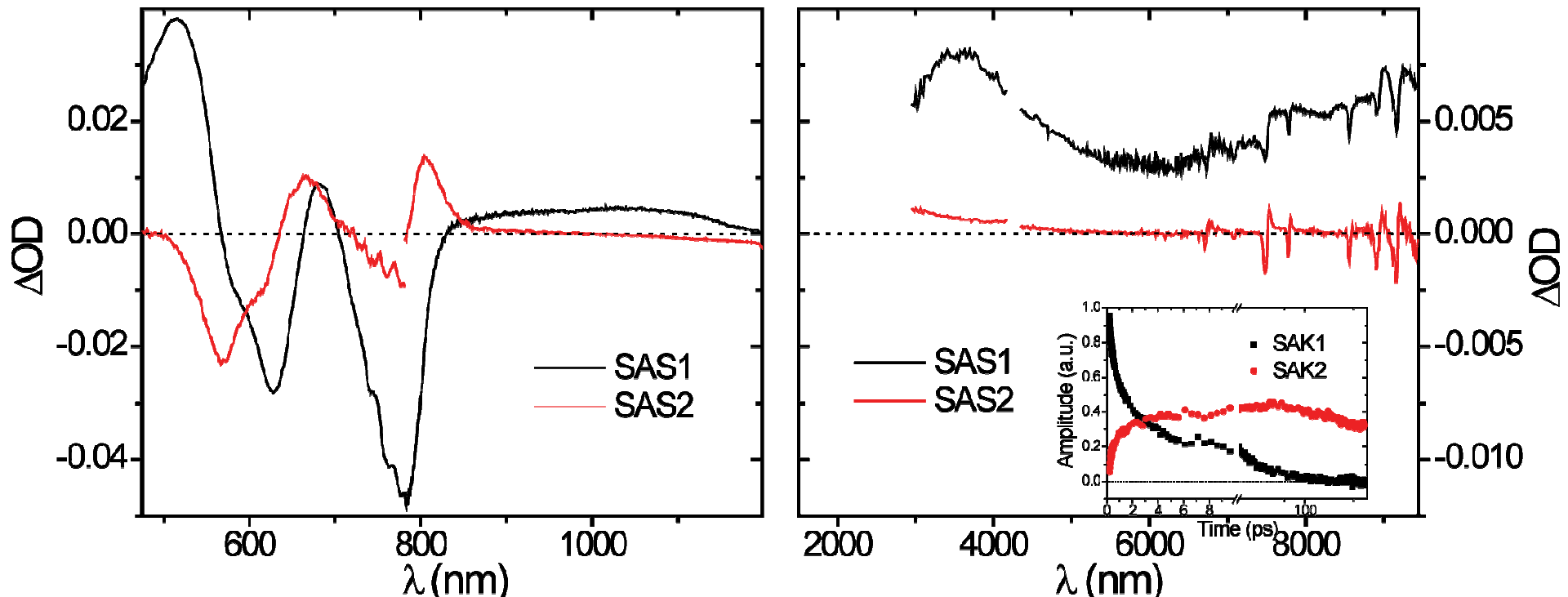
中



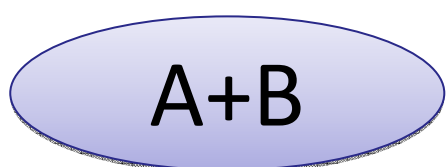
# Singular Value Decomposition (SVD)-global fitting analysis



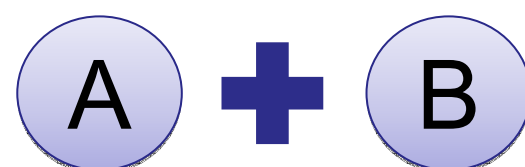
光



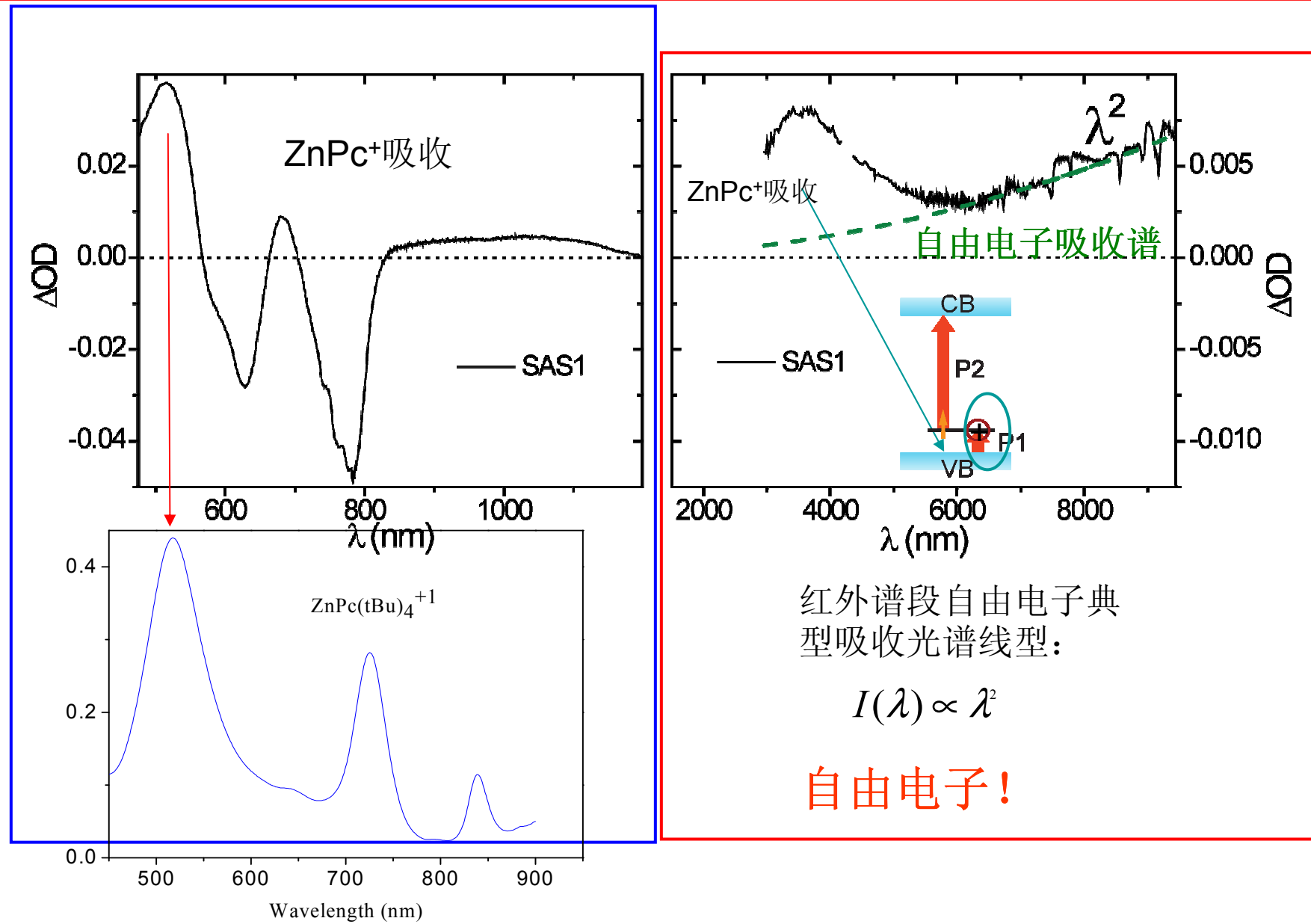
可见+近红外



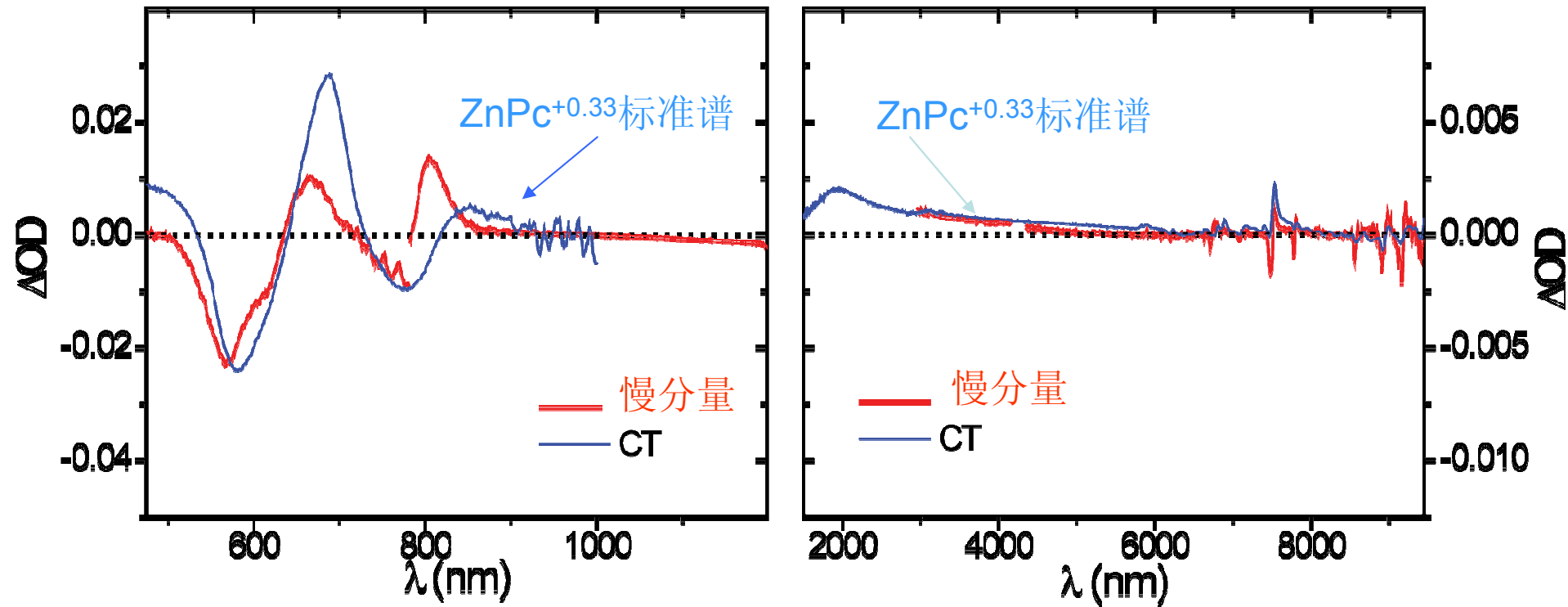
中红外



# 光生空穴和自由电子光谱指认（快分量）



# ZnPc<sup>+0.33</sup>光

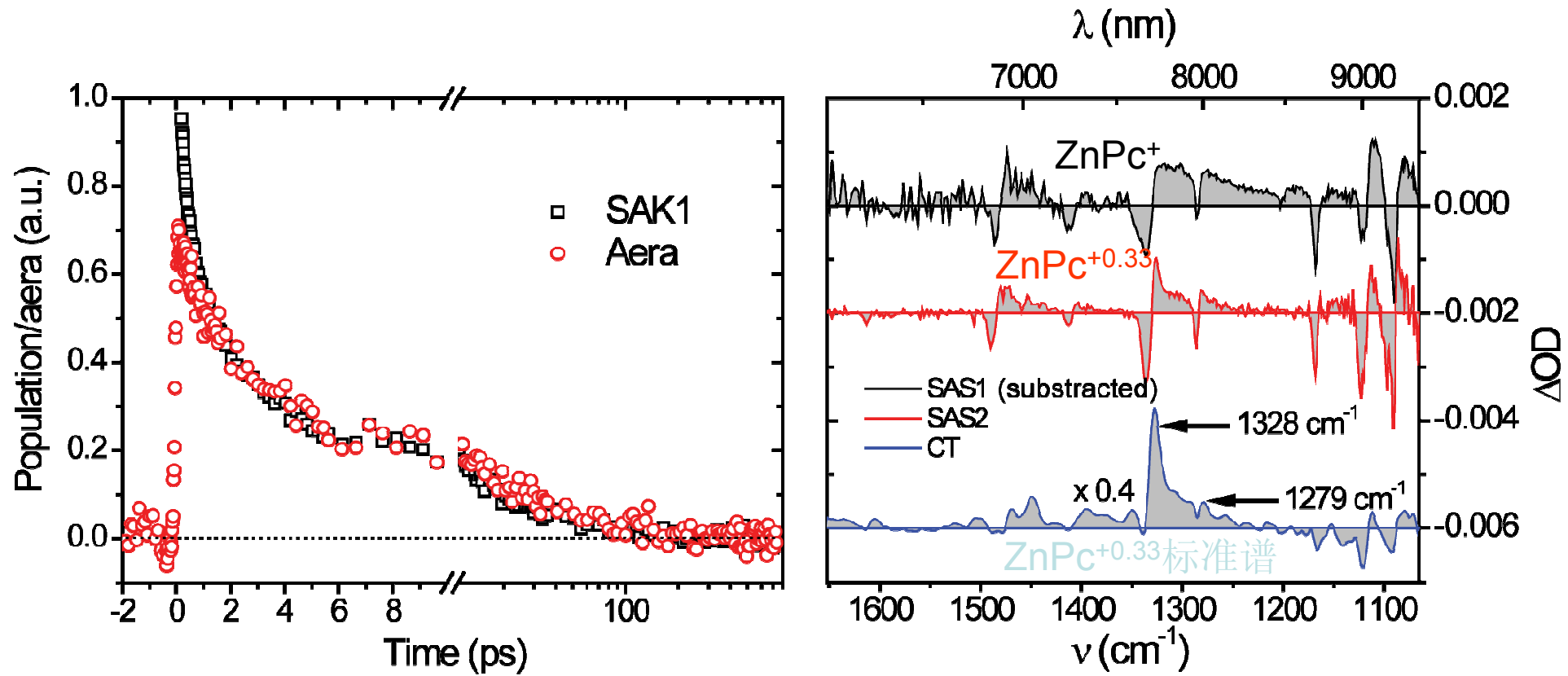


Vinogradskii, A. (1990). Degree of solid-phase oxidation of nickel and cobalt phthalocyanines by halogens. *Theoretical and Experimental Chemistry*, 25(5), 488–493.

ZnPc<sup>+0.33</sup> CT exciton

# 离域的ZnPc<sup>+</sup>

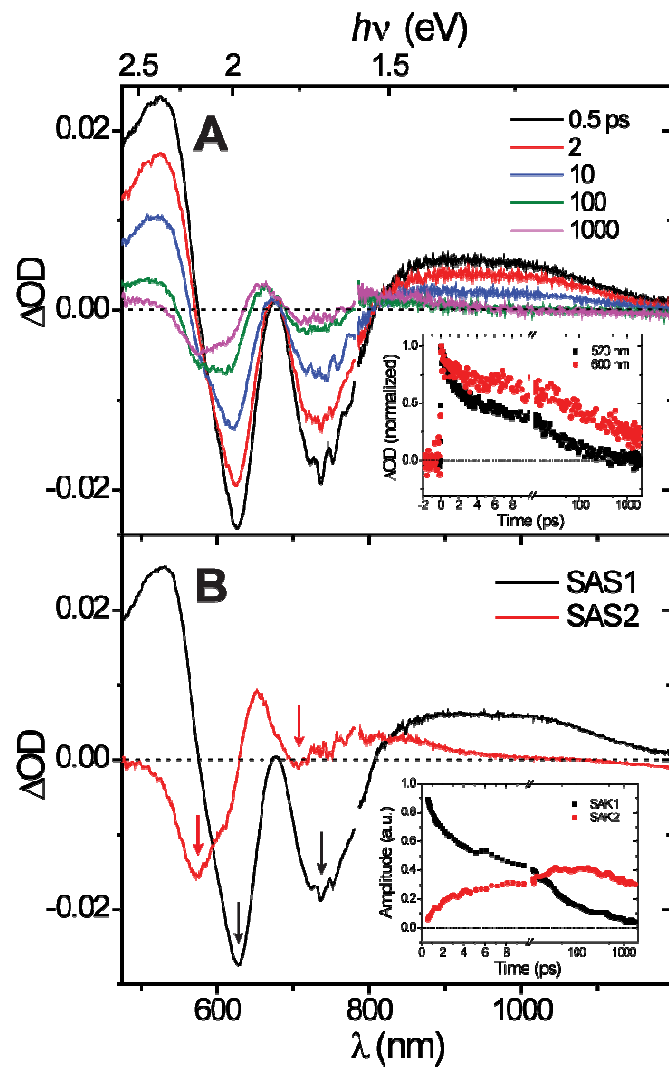
时间 光

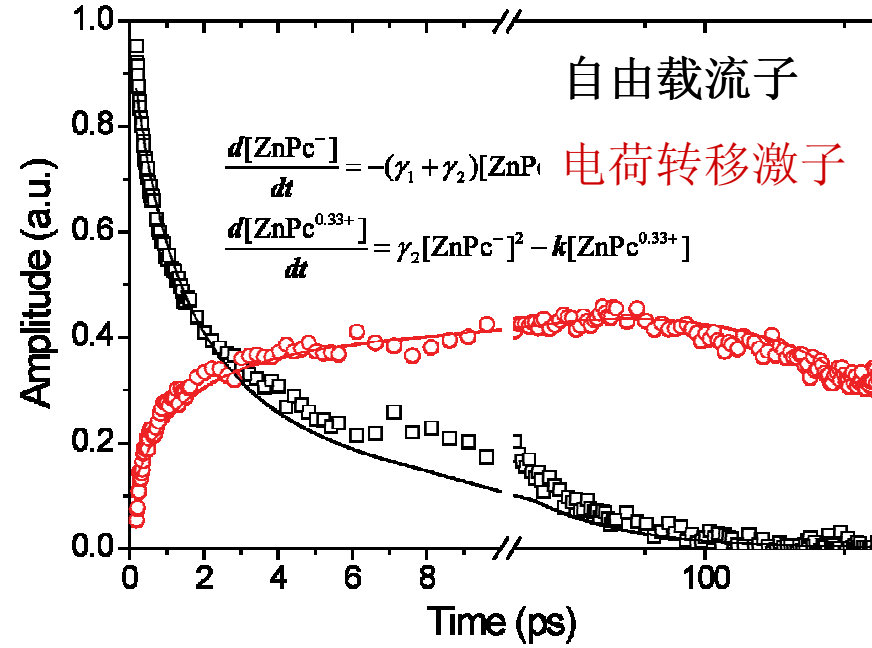
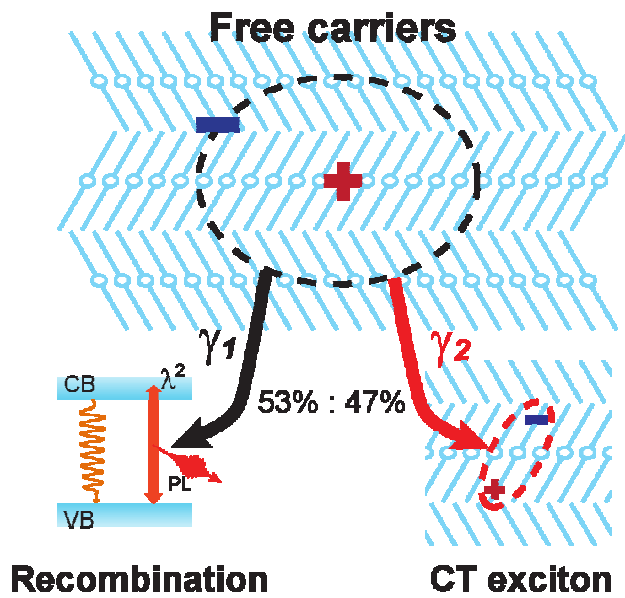


振动峰面积弛豫动力学和自由电子复合动力一致，说明来自于离域的ZnPc<sup>+</sup>

# 合飞秒时间光

# Davydov splitting





光

实 中

# 总结

---

1. 在**10**皮秒时间尺度观测到了自由电子和离域的空穴
2. 空穴的离域尺度大于**11**个分子
3. 自由载流子寿命约**6.8**皮秒
4. 自由载流子复合后形成部分电荷转移的电荷转移态激子  
**ZnPc<sup>+0.33</sup>**, 寿命大于**1**纳秒
5. **ZnPc<sup>+0.33</sup>**的激子束缚能为**0.28eV**

# 展望

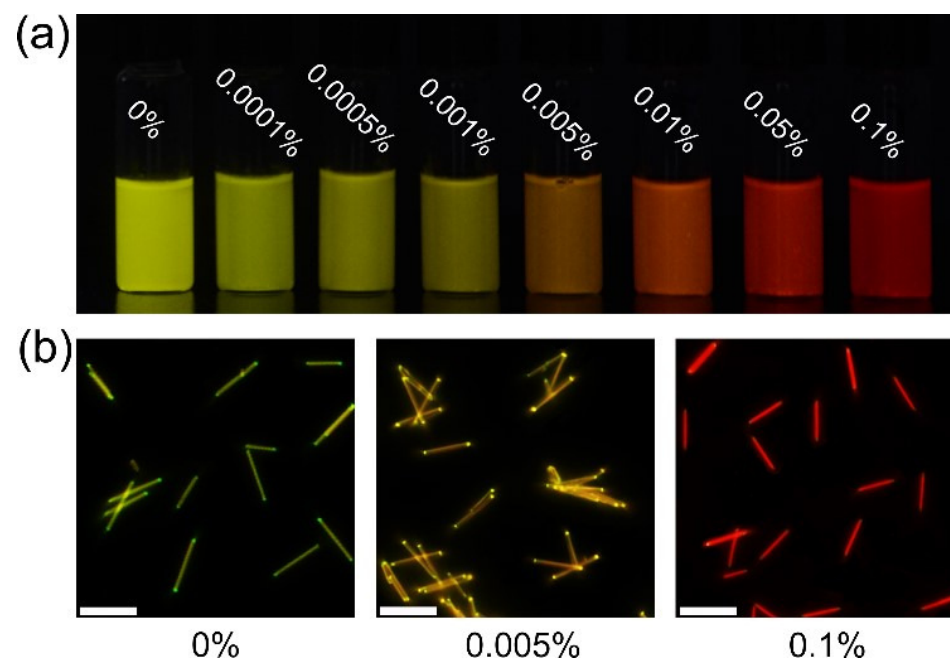
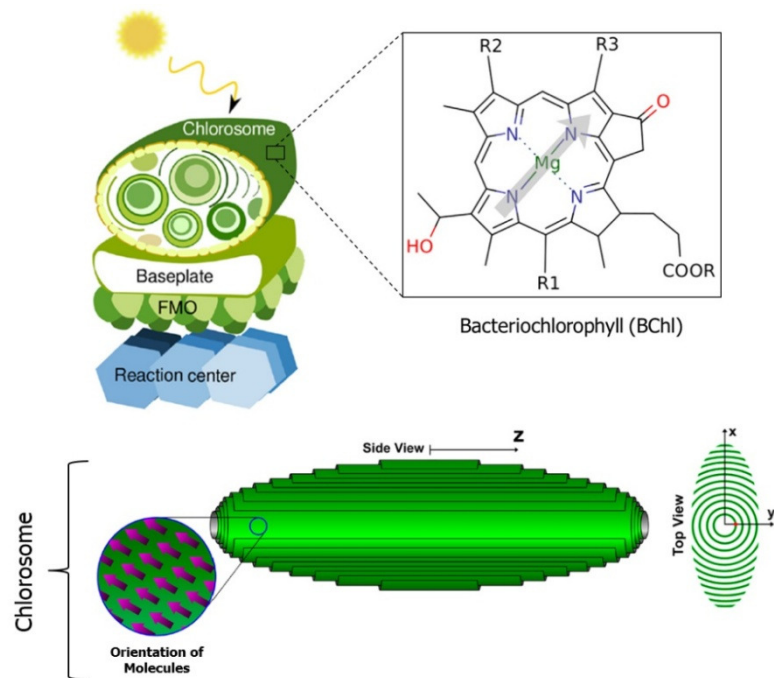
---

飞秒时间分辨二维可见电子态光谱仪研究离  
域相干态传能

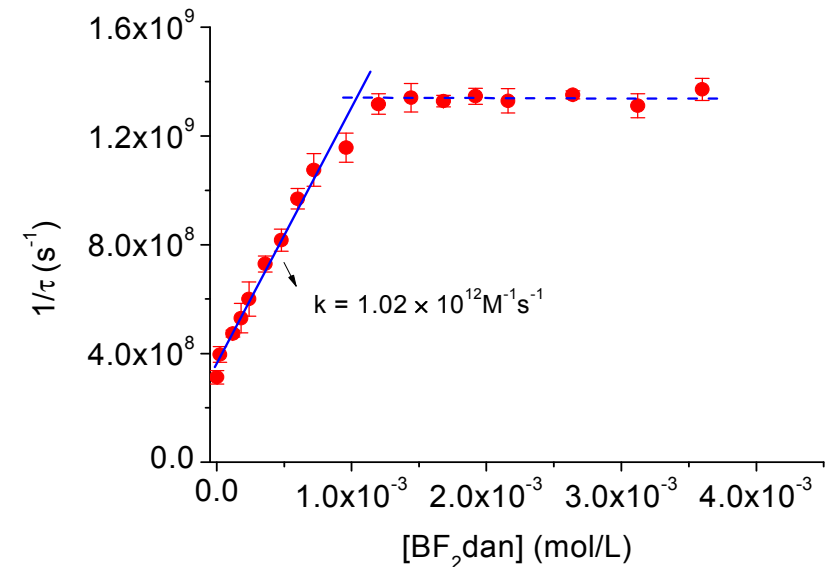
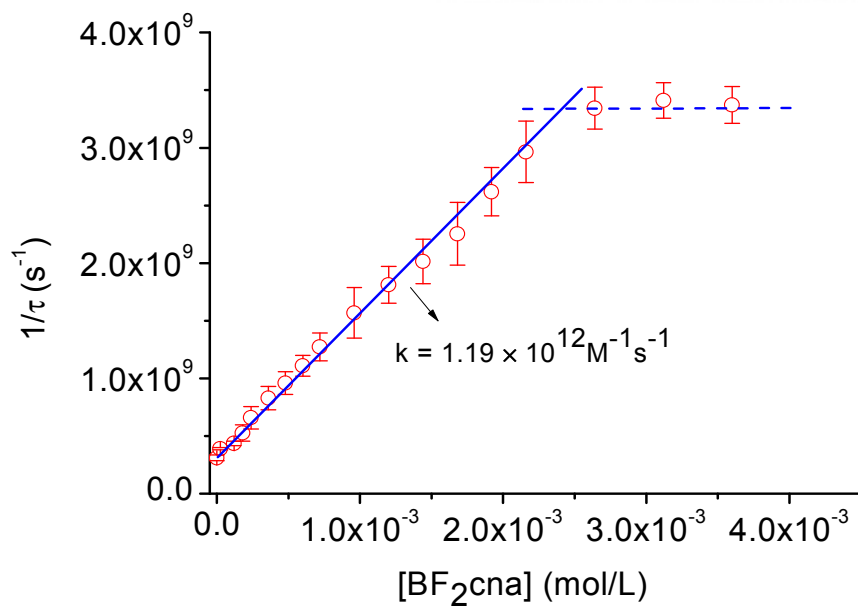
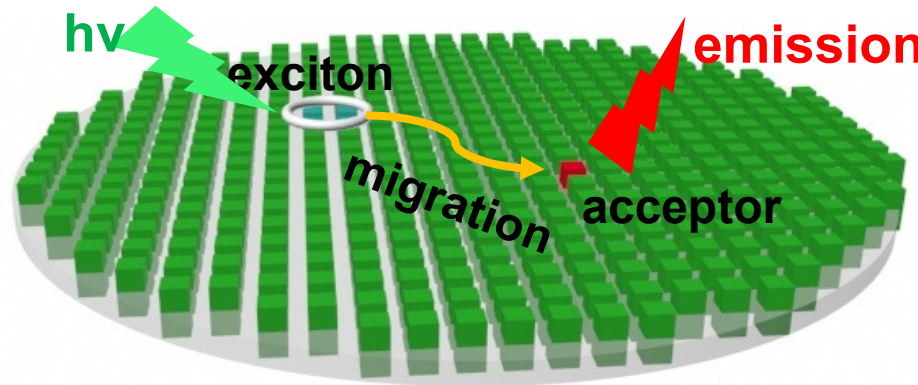
# 光合光

Angew. Chem. Int. Ed. 2016, 55, 2759–2763

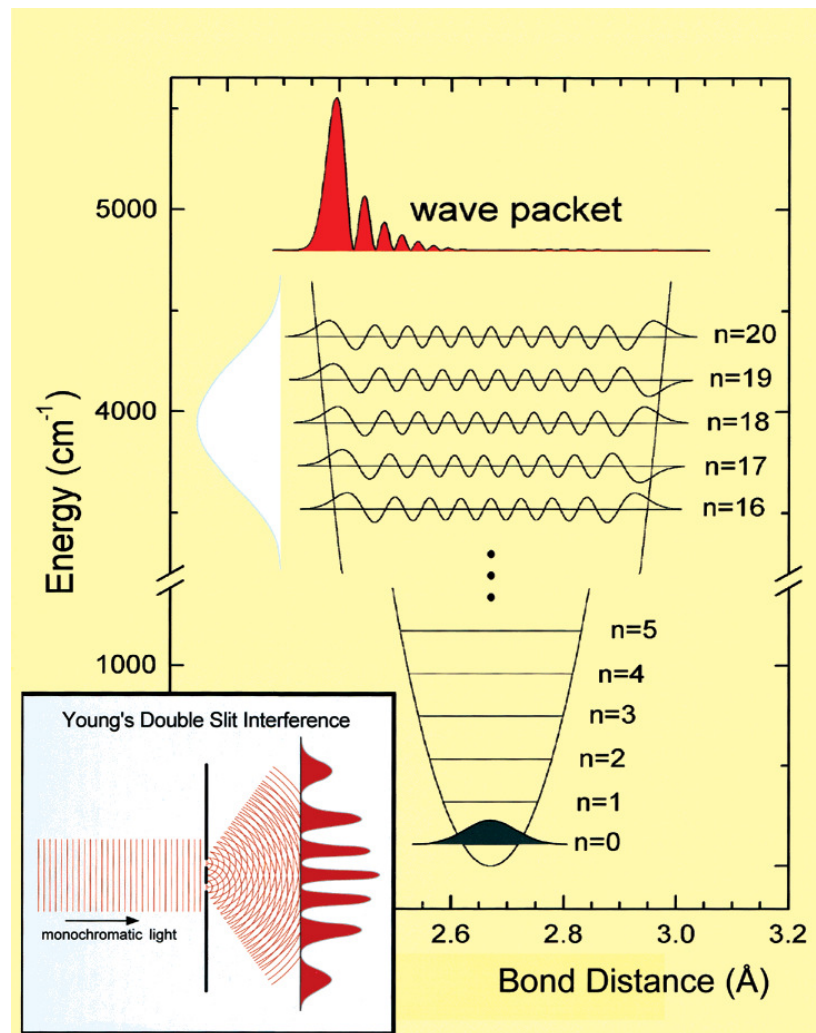
北京师范大学杨清正教授组合作



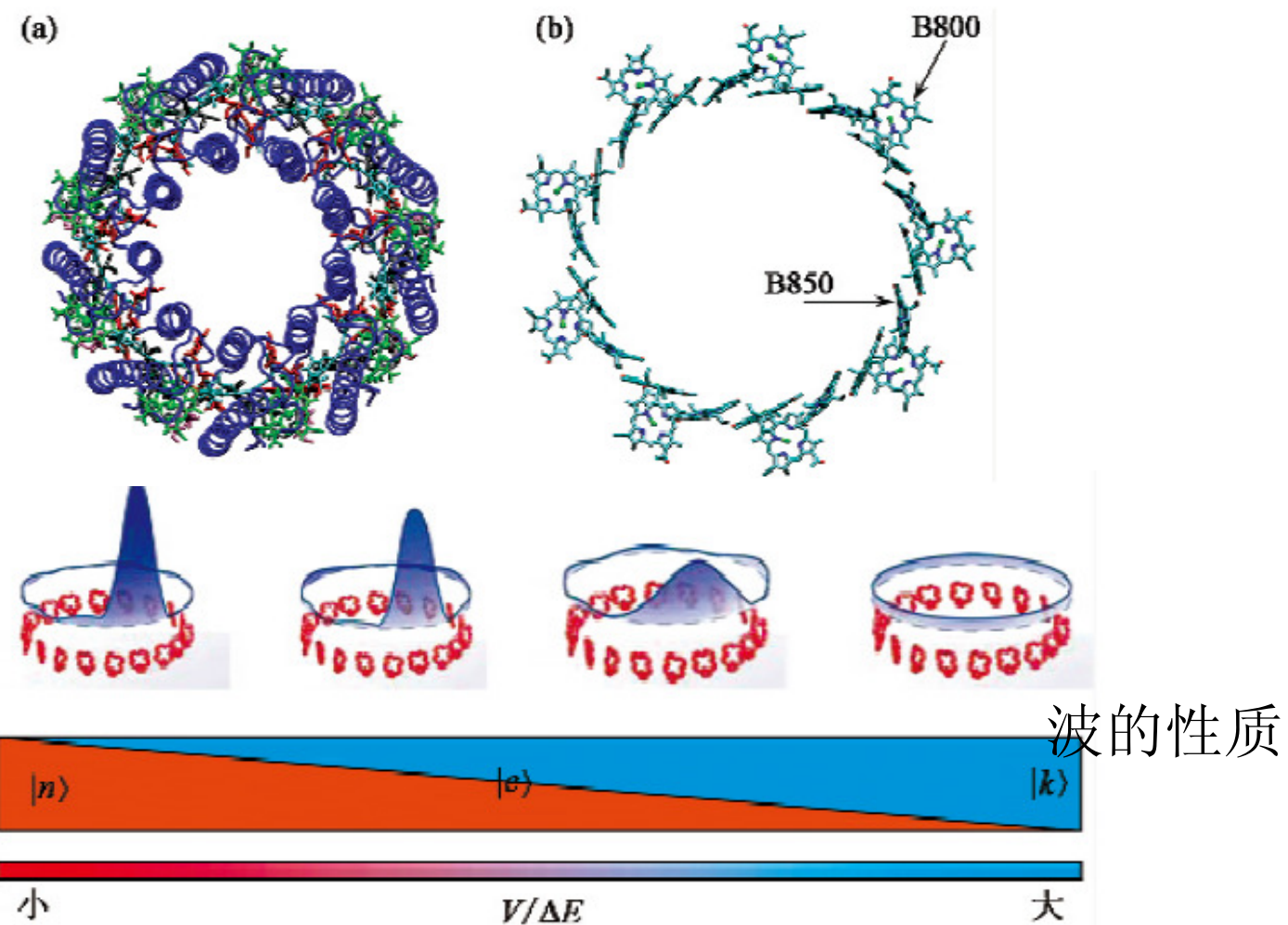
# 给受体有机纳米共晶中能量传递的相干激子态迁移机制及两种不同受体分子对给体荧光的浓度淬灭关系

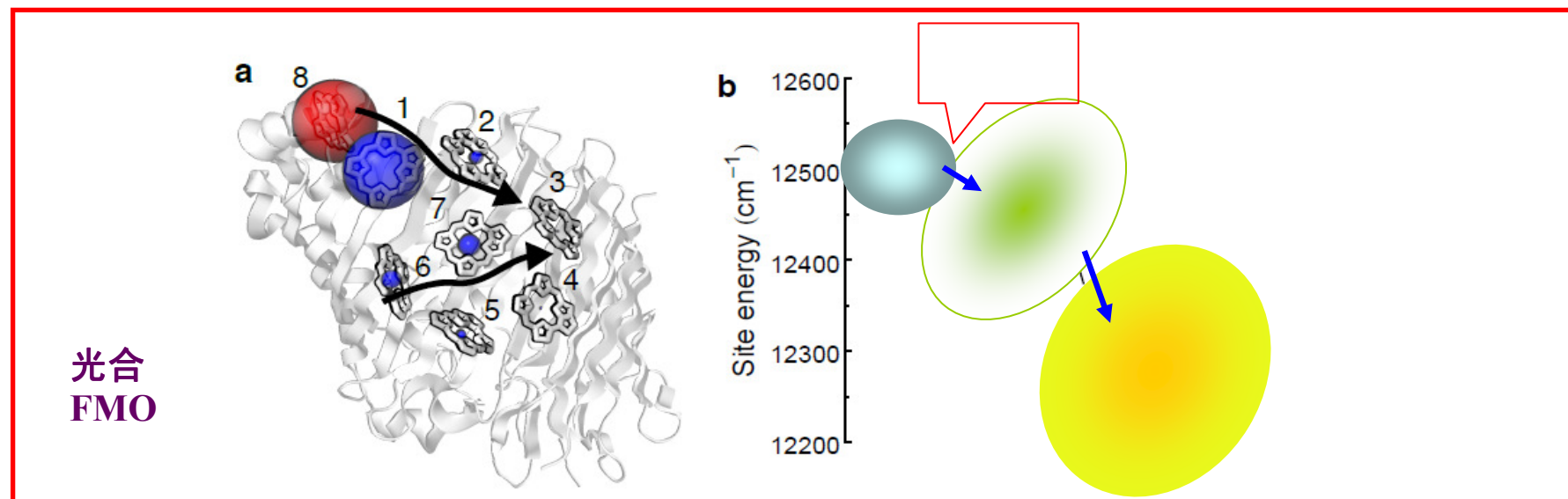
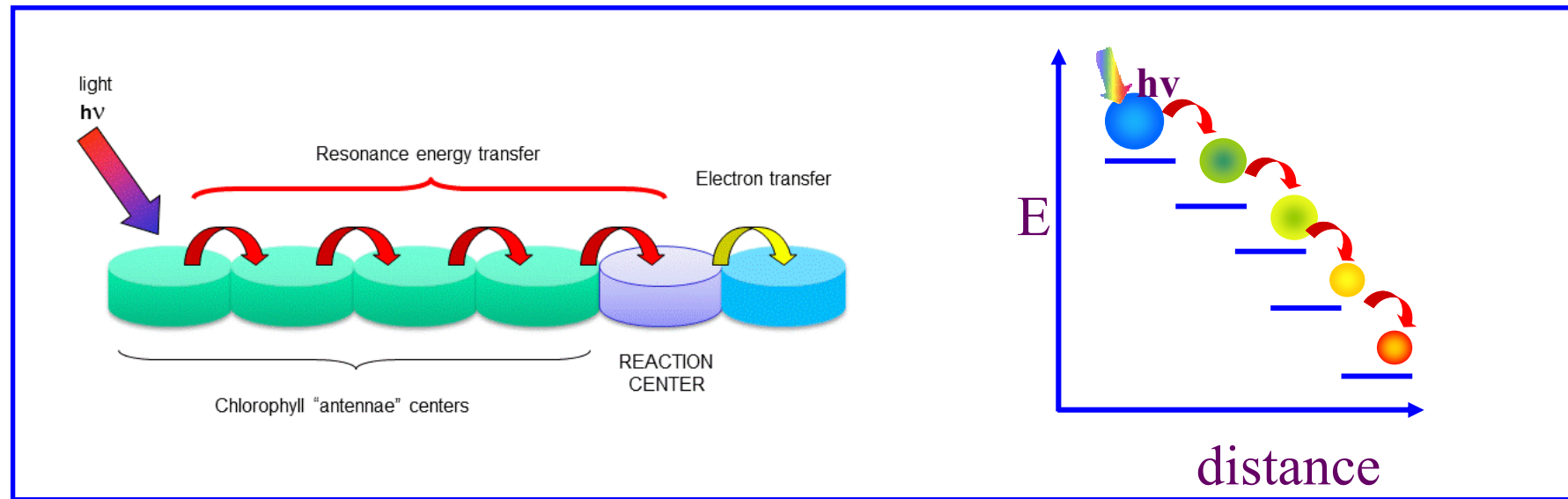


# 何谓相干态？



# 光合细菌外周天线LH2的相干态



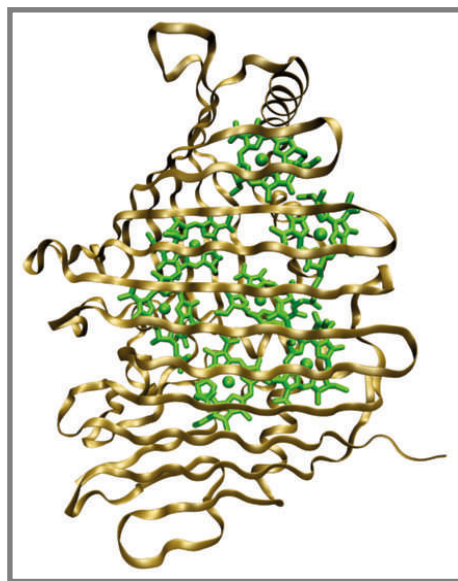


# 光合室实验

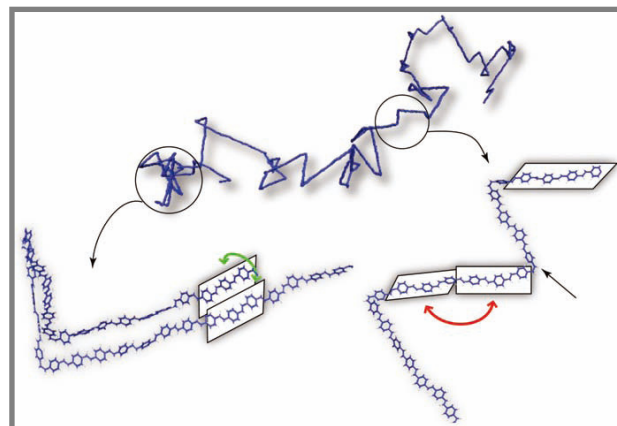
Graham R. Fleming, Nature 2007

(FMO) 77K

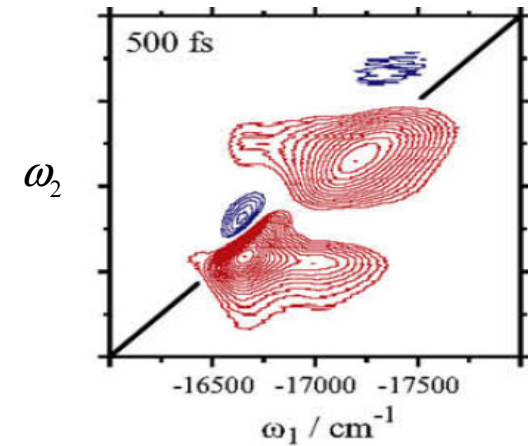
660飞秒



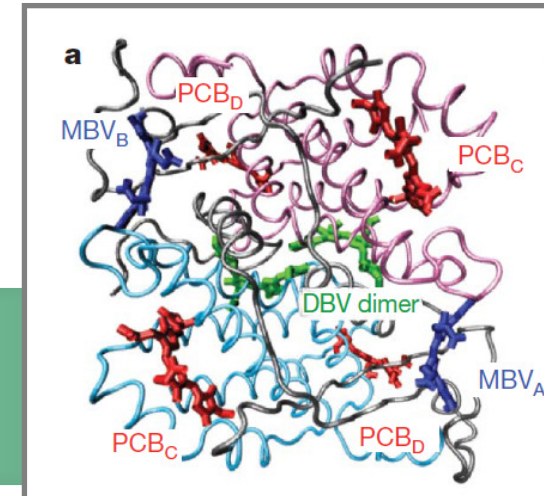
Gregory D. Scholes , Science 2009  
(MEH-PPV)



2009  
250飞秒



Gregory D. Scholes, Nature 2010  
(PC645) 660飞秒

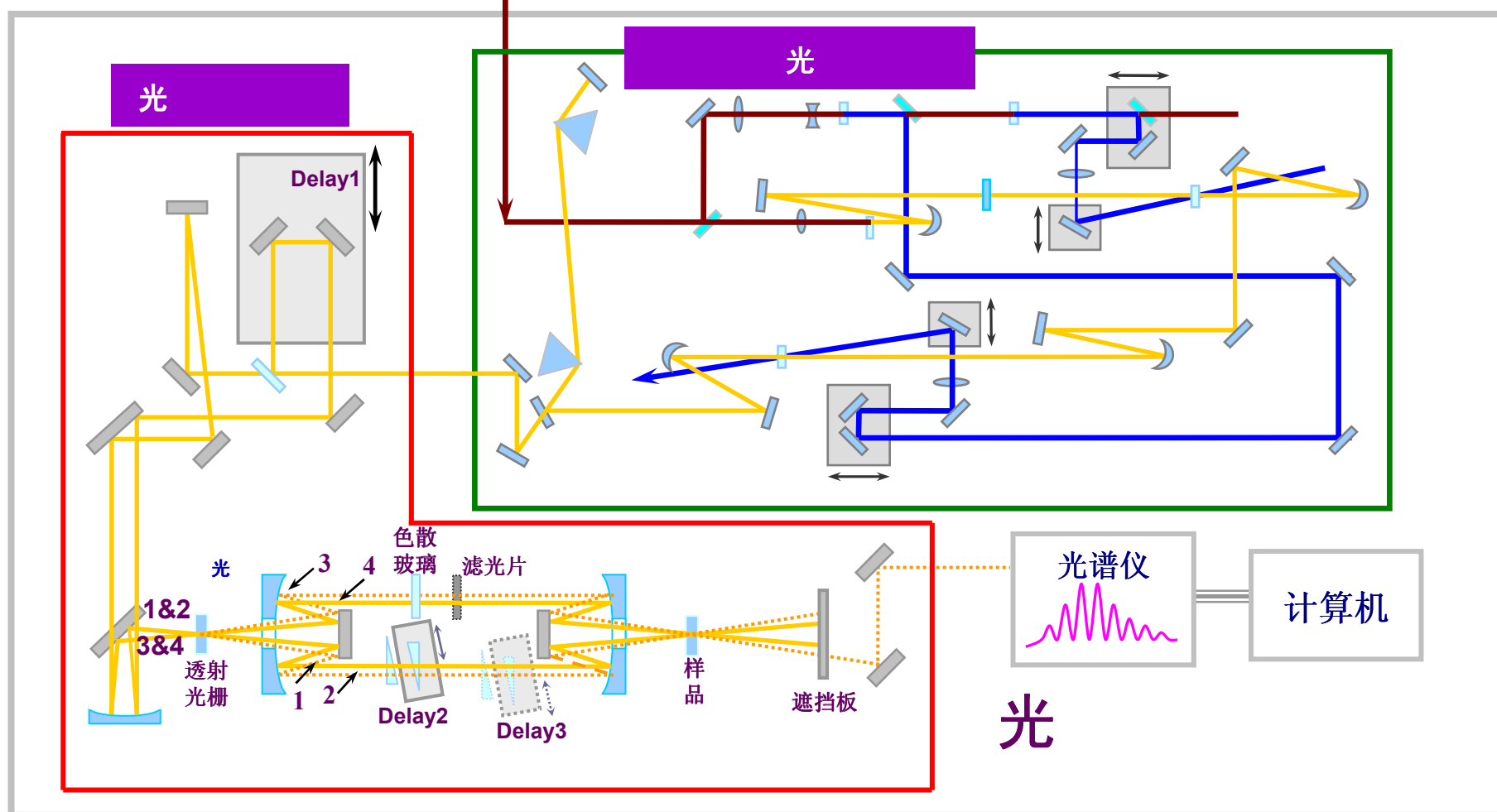


实验光

# 光

飞秒

(800nm, 150fs, 0.3mJ, 1kHz)



时

光

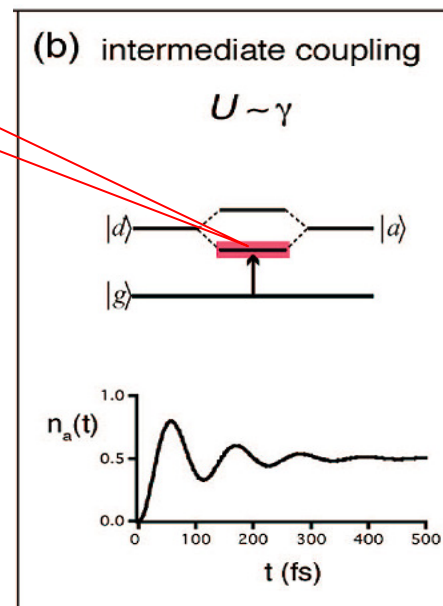
$I(\omega)$

$E(\omega)$

$$I = E^2$$

$$I(\omega) = \text{FFT}(I(t)), \quad E(\omega) = \text{FFT}(E(t))$$

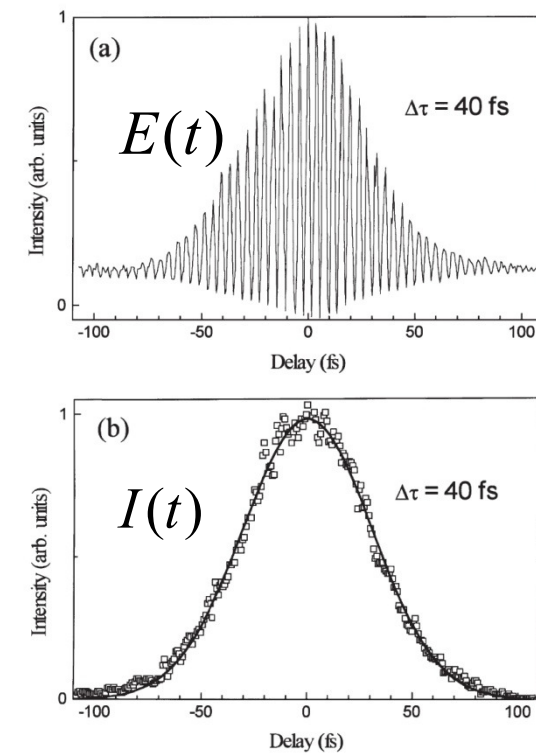
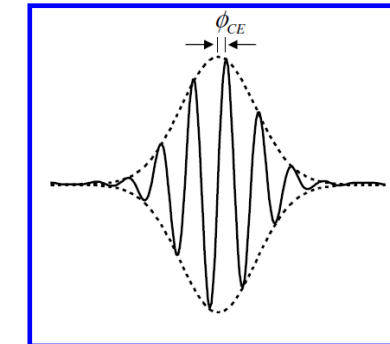
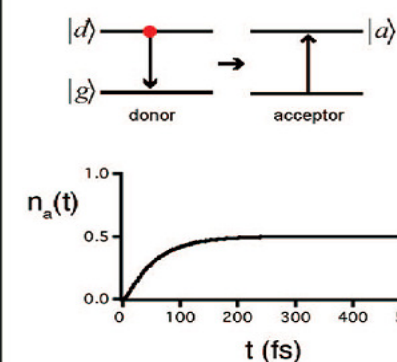
$\Delta E$



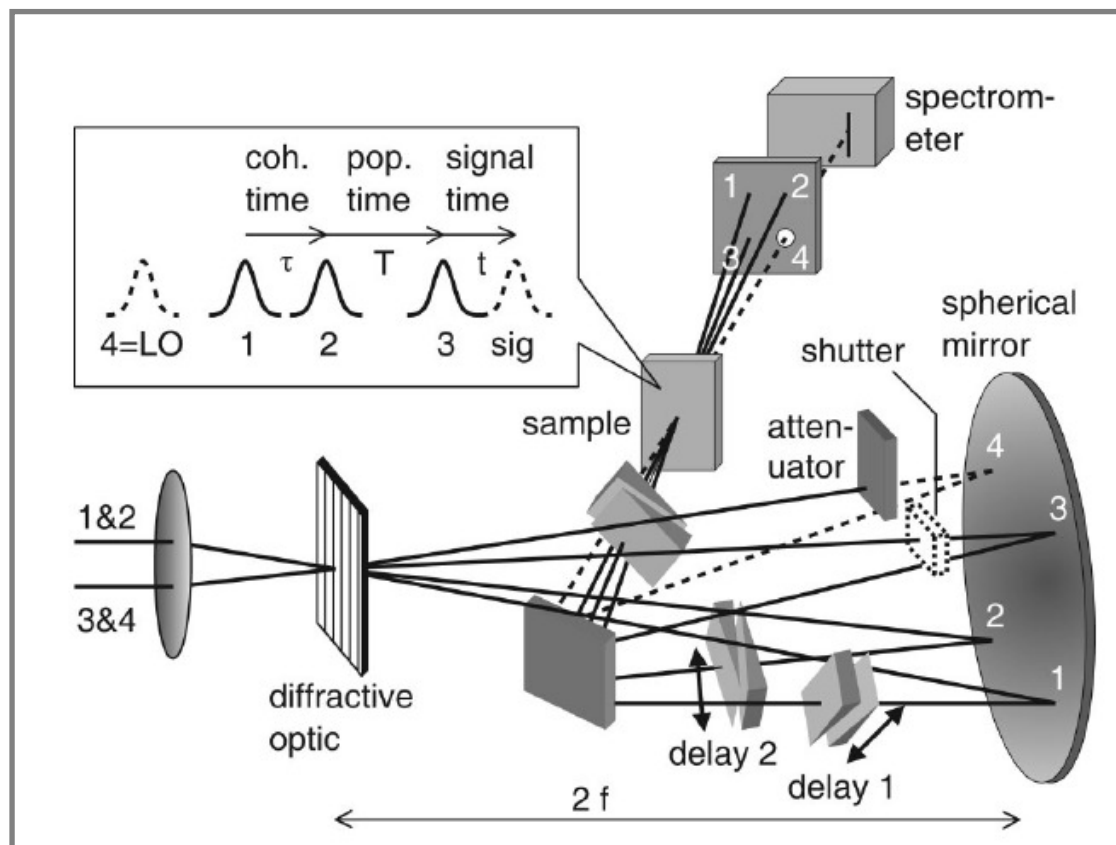
(c) weak coupling

$U \ll \gamma$

site representation



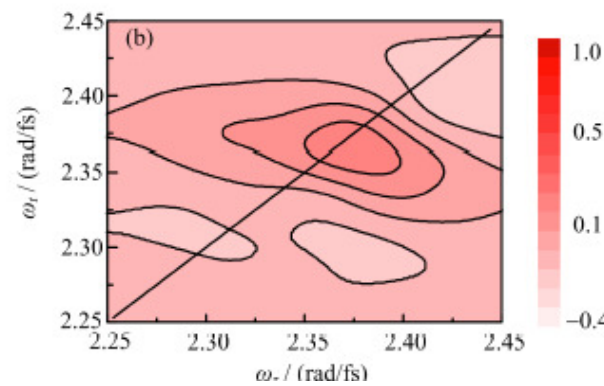
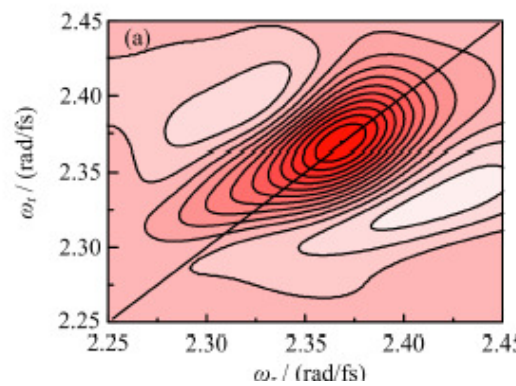
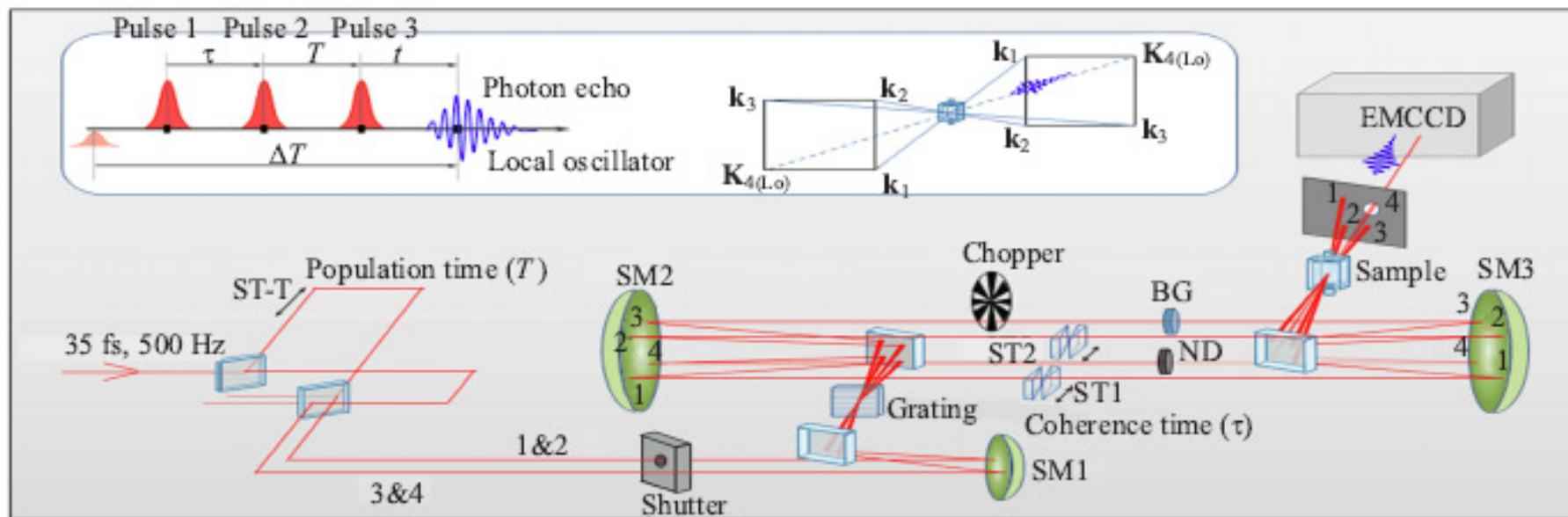
# 发展飞秒时间分辨二维可见光谱研究相干态传能



50l/mm 透射式光栅  
石英光楔

2 inch 直径凹面银镜  
精密电控平移台

光



Phase stability:  $1/90\lambda$



谢谢！

